



การผลิตใบโอชาร์ด้วยกระบวนการไฟโรไลซิสจากเศษวัสดุเกษตร



วิทยานิพนธ์เป็นส่วนหนึ่งของความสมบูรณ์ของการศึกษาตามหลักสูตร

ปริญญาวิศวกรรมศาสตรมหาบัณฑิต

สาขาวิชาวิศวกรรมเกษตร

สำนักบริหารและพัฒนาวิชาการ มหาวิทยาลัยแม่โจ้

พ.ศ. 2564

ลิขสิทธิ์ของมหาวิทยาลัยแม่โจ้



MJU iThesis 6103309007 thesis / recv: 04062564 14:21:20 / seq: 11  
3337906250

การผลิตใบโอชาร์ด้วยกระบวนการไฟโรไลซิสจากเศษวัสดุเกษตร

วรรัญญา สมภา

วิทยานิพนธ์นี้ได้รับการพิจารณาอนุมัติให้เป็นส่วนหนึ่งของความสมบูรณ์ของการศึกษา  
ตามหลักสูตรปริญญาวิศวกรรมศาสตรมหาบัณฑิต  
สาขาวิชาวิศวกรรมเกษตร

พิจารณาเห็นชอบโดย

อาจารย์ที่ปรึกษาหลัก

อาจารย์ที่ปรึกษา

(ผู้ช่วยศาสตราจารย์ ดร.อนศิริ วงศ์ศิริอำนวย)

วันที่ ๗ เดือน มกราคม พ.ศ. ๒๕๖๔

อาจารย์ที่ปรึกษาร่วม

(ผู้ช่วยศาสตราจารย์ ดร.นำพ ปัญโภชัย)

วันที่ ๗ เดือน มกราคม พ.ศ. ๒๕๖๔

อาจารย์ที่ปรึกษาร่วม

(ผู้ช่วยศาสตราจารย์ ดร.tipaphorn คำแแดง)

วันที่ ๘ เดือน มกราคม พ.ศ. ๒๕๖๔

ประธานอาจารย์ผู้รับผิดชอบหลักสูตร

(รองศาสตราจารย์ ดร.สุนทร สีบค้า)

วันที่ ๘ เดือน มกราคม พ.ศ. ๒๕๖๔

สำนักบริหารและพัฒนาวิชาการรับรองแล้ว

(รองศาสตราจารย์ ดร.กุณัน พ้อนาบงกช)

รองอธิการบดี ปฏิบัติการแทน

อธิการบดี มหาวิทยาลัยแม่โจ้

วันที่ ๘ เดือน มกราคม พ.ศ. ๒๕๖๔



ชื่อเรื่อง

การผลิตไบโอดาร์ด้วยกระบวนการไฟโรไลซิสจากเศษวัสดุเกษตร

ชื่อผู้เขียน

นางสาวรัณญา สมภาร

ชื่อปริญญา

วิศวกรรมศาสตรมหาบัณฑิต สาขาวิชาวิศวกรรมเกษตร

อาจารย์ที่ปรึกษาหลัก

ผู้ช่วยศาสตราจารย์ ดร.อนศิษฐ์ วงศ์ศิริอำนวย

## บทคัดย่อ

ในเขตภาคเหนือของประเทศไทยมีปริมาณผลผลิตหลังการเก็บเกี่ยวปริมาณมากและเศษวัสดุที่เหลือมักถูกกำจัดด้วยวิธีการเผา ทำให้ส่งผลกระทบต่อโครงสร้างดินสำหรับการเพาะปลูกและสิ่งมีชีวิตบริเวณโดยรอบ และก่อให้เกิดปัญหาฝุ่นควัน แนวทางหนึ่งในการจัดการเศษวัสดุเกษตรที่ได้ประโยชน์ใน เมื่อนำมาผลิตเป็นไบโอดาร์ด้วยกระบวนการไฟโรไลซสแบบช้า ซึ่งไบโอดาร์เป็นอินทรีย์ตถุที่มีการยอมรับกันอย่างกว้างขวาง ในเรื่องประสิทธิภาพของการกักเก็บคาร์บอน ปริมาณสารอาหาร และเพิ่มความหลากหลายทางชีวภาพในดิน โดยงานวิจัยนี้มีวัตถุประสงค์ เพื่อศึกษาปัจจัยในการผลิต คุณสมบัติของไบโอดาร์ที่ผลิตได้ เปรียบเทียบคุณสมบัติไบโอดาร์ของผลงานวิจัยกับบทความวิจัยอื่น ๆ และไบโอดาร์ที่มีขายในห้องตลาด ด้วยกระบวนการไฟโรไลซสแบบช้า อุณหภูมิในกระบวนการผลิตในช่วง 300-700 องศาเซลเซียส การรักษาอุณหภูมิ 1 ชั่วโมง และ 2 ชั่วโมง ภายใต้สภาวะในเตอร์เรน ที่ 100 ml/min ใช้เศษวัสดุเกษตรจำนวน 5 ชนิด ได้แก่ แกลบ ซังข้าวโพด เปเลือก ลำไย เม็ดลำไย และกะลากาแฟ จากผลการทดสอบ พบว่า การเพิ่มขั้นของอุณหภูมิและการรักษาอุณหภูมิ ในกระบวนการไฟโรไลซสแบบช้า ส่งผลให้ปริมาณไบโอดาร์ ปริมาณสารระเหย มีค่าลดลง ส่วนค่าความเป็นกรดด่าง ค่าการนำไฟฟ้า ค่าพลังงานความร้อน พื้นที่ผิวและปริมาตรรูพุ่น ความสามารถในการดูดซับน้ำ ปริมาณแก๊ส รวมถึงองค์ประกอบแร่ธาตุหลัก ที่มีประโยชน์ต่อการเจริญเติบโตของพืช มีปริมาณเพิ่มขึ้น โดยค่าความชุ่มในการแลกเปลี่ยนประจุบวก จะมีปริมาณลดลง ในช่วงอุณหภูมิ 300-500 องศาเซลเซียส และจะมีค่าเพิ่มขึ้น เมื่ออุณหภูมิ 700 องศาเซลเซียส ซึ่งเมื่อทำการเปรียบเทียบผลการทดสอบคุณสมบัติต่าง ๆ กับบทความวิจัยอื่น ๆ และไบโอดาร์ในห้องตลาด พบว่า มีค่าคุณสมบัติที่แตกต่างกัน ขึ้นอยู่กับชนิดของชีมวลที่นำมาใช้ในการผลิต อีกทั้งอุณหภูมิและเวลาการรักษาอุณหภูมิ ยังส่งต่อการการเปลี่ยนแปลงค่าคุณสมบัติในไบโอดาร์ ถ้าหากจะนำไปไบโอดาร์ที่ได้ในการผลิตไปใช้ในการปรับปรุงดิน ควรเลือกใช้สภาวะในการผลิตที่เหมาะสมกับดิน

คำสำคัญ : ไบโอดาร์, ไฟโรไลซส, เศษวัสดุเกษตร



3337906250

MJU\_iThesis 6103309007 thesis / recv: 04062564 14:21:20 / seq: 11

Title	BIOCHAR PRODUCTION WITH PYROLYSIS PROCESS FROM AGRICUTURAL RESIDUE
Author	Miss Waranya Somparn
Degree	Master of Engineering in Agricultural Engineering
Advisory Committee Chairperson	Assistant Professor Dr. Thanasit Wongsiriamnuay

### ABSTRACT

In northern Thailand, there are a great amount of agricultural residues generated after the harvest, most of which are burned as a means of disposal, affecting the soil for agriculture, wild animals, as well as causing air pollution. One of the solutions that may be beneficial in terms of carbon credit is to turn these agricultural residues into biochar using slow pyrolysis. Biochar is widely accepted biologically derived matter with the ability to contain carbon, large amount of nutrients, adding biodiversity in soils. The attribute of biochar is varied depending on its production process. This research aims to study biochar production conditions, possible attributes with slow pyrolysis process and compare biochar properties other research articles and markets. Under 100 ml/min nitrogen condition. At the process temperature of 300-700 °C, at hold time temperature 1-2 hour were used, 5 types of agricultural residues including rice husk, corn cob, longan peel. Longan seed and coffee husk. The test results, it was found that the temperature and hold time temperature In the slow pyrolysis process. Resulting in the yield of biochar, the volatile matter decreased. While the pH value was reduced, electrical conductivity (EC), surface area and pore volume, water holding capacity, gas content and micro nutrient useful for plant growth has increased in quantity. By the value of the cation exchange capacity (CEC) the amount will decrease in the temperature range 300-500 degrees Celsius and will increase. When the temperature was 700 degrees Celsius, when comparing the results of the qualification test with other research articles and the biochar in the market, it was found that there were different properties values.



This depends on the type of biomass used in the production. As well as temperature and temperature treatment time Also forward changes in biochar properties If the biochar produced in the production is to be used for soil improvement. Choose suitable production conditions. For quality soil and perfect plant growth

Keywords : Biochar, Pyrolysis, Agricultural residue



MJU iThesis 6103309007 thesis / recv: 04062564 14:21:20 / seq: 11  
3337906250

## กิตติกรรมประกาศ

รายงานโครงการฉบับนี้สำเร็จลุล่วงไปได้ด้วยดี ผู้จัดทำงานวิจัยขอกราบขอบพระคุณบุคลาและกลุ่มบุคคลต่างๆ ที่ได้กรุณาให้คำปรึกษา แนะนำ ช่วยเหลืออย่างดียิ่ง ทั้งในด้านวิชาการและด้านการดำเนินงาน อาทิ

ศาสตราจารย์ ดร.นนท พิพิธวงศ์ ที่ได้ให้เกียรติเป็นประธานกรรมการสอบวิทยานิพนธ์ ตลอดจนให้คำแนะนำ และปรับปรุงแก้ไขวิทยานิพนธ์

ผู้ช่วยศาสตราจารย์สุเนตร สืบค้า ประธานหลักสูตรวิศวกรรมศาสตร์ มหาบัณฑิต สาขาวิศวกรรมเกษตร ที่ช่วยให้คำปรึกษาเกี่ยวกับหัวข้อความวิชาการ และสนับสนุนเครื่องมือในห้องปฏิบัติการ แลป เพื่อใช้ในการศึกษาคุณสมบัติของใบโอชาร์

ผู้ช่วยศาสตราจารย์ ดร.อนศิษฐ์ วงศิริอำนวย อาจารย์ที่ปรึกษางานวิจัยวิศวกรรม ที่ได้กรุณาสละเวลาให้ความรู้ คำแนะนำ คำปรึกษา และค่อยช่วยเหลือต่างๆ เป็นอย่างดี ตลอดจนดูแล เอกาจิสอย่างสม่ำเสมอ ซึ่งช่วยตรวจสอบและแก้ไขงานวิจัยฉบับนี้

ผู้ช่วยศาสตราจารย์ ดร.นัมพร ปัญโญใหญ่ และผู้ช่วยศาสตราจารย์ ดร.ทิพาพร คำเดง คณะกรรมการร่วมประเมินผลงานวิจัย ที่กรุณาให้คำปรึกษาด้านวิชาการ ช่วยตรวจสอบงานวิจัย รวมถึง ให้คำแนะนำเกี่ยวกับการเขียนเล่มวิทยานิพนธ์

ผู้ช่วยศาสตราจารย์ ดร. จีราภรณ์ อินทสาร อาจารย์ภาควิชาเกษตรศาสตร์และทรัพยากรธรรมชาติ ช่วยให้คำปรึกษาเกี่ยวกับการนำไปใช้ในการปรับปรุงดิน และสนับสนุน เศษวัสดุเกษตรจากกาแฟ เพื่อใช้ในการผลิตและศึกษาคุณสมบัติใบโอชาร์

บริษัท ยิลล์คอฟฟ์ จำกัด สนับสนุนวัสดุเหลือใช้จากการผลิตกาแฟ เพื่อใช้ในการนำมาผลิตใบโอชาร์และศึกษาคุณสมบัติใบโอชาร์

บัณฑิตวิทยาลัย มหาวิทยาลัยแม่โจ้ ที่ได้สนับสนุนทุนกันกู้ภัย ประจำปีการศึกษา 2561 อำนวย ความสะดวกในด้านให้คำปรึกษา การแนะนำ และช่วยในการตรวจสอบแก้ไขเอกสารต่างๆ ตลอดเวลา ในการเข้าศึกษาในระดับมหาบัณฑิต

ขอขอบพระคุณบิดา มารดา พี่ๆ เพื่อนๆ ที่ช่วยเหลือและค่อยเป็นกำลังใจให้โครงงานนี้สำเร็จ ลุล่วงไปได้ด้วยดี

วรรณา สมภาร

## สารบัญ

หน้า

บทคัดย่อภาษาไทย.....	๑
บทคัดย่อภาษาอังกฤษ.....	๑
กิตติกรรมประกาศ.....	๑
สารบัญ.....	๗
สารบัญตาราง.....	๗
สารบัญภาพ.....	๗
บทที่ ๑ บทนำ .....	๑
1.1 ความสำคัญและที่มาของปัจุหานาชาติ .....	๑
1.2 วัตถุประสงค์ของการวิจัย .....	๓
1.3 ประโยชน์ที่คาดว่าจะได้รับ .....	๓
1.4 ขอบเขตของงานวิจัย .....	๔
บทที่ ๒ ทฤษฎีและการตรวจสอบ.....	๕
2.1 แนวคิดและทฤษฎีของไบโอดีเชอร์ (Biochar) .....	๕
2.2 แนวคิดทฤษฎีการไฟโรไลซิส (Pyrolysis) .....	๗
2.3 ปัจจัยที่มีผลต่อการผลิตไบโอดีเชอร์ในกระบวนการไฟโรไลซิส .....	๑๐
2.4 คุณสมบัติต่างๆ ที่มีผลต่อการนำไปใช้ปรับปรุงดิน .....	๑๓
2.5 งานวิจัยที่เกี่ยวข้อง.....	๒๕
บทที่ ๓ วิธีการวิจัย .....	๒๗
3.1 แผนดำเนินงานวิจัย .....	๒๗
3.2 การกำหนดตัวแปรศึกษา.....	๒๘
3.3 การผลิตไบโอดีเชอร์ในระดับห้องปฏิบัติการ .....	๒๙



3.4 การวิเคราะห์คุณสมบัติต่าง ๆ ของไบโอดาร์ .....	31
บทที่ 4 ผลการวิจัยและวิจารณ์ .....	41
4.1 ผลการศึกษาคุณสมบัติของชีวมวล .....	41
4.2 ผลปริมาณไบโอดาร์ที่ได้จากการผลิตในระดับห้องปฏิบัติการ (Yield biochar) .....	43
4.3 ผลคุณสมบัติขององค์ประกอบเบื้องต้น (Ultimate) และปริมาณกลุ่มสาร (Proximate) ของไบโอดาร์ .....	46
4.4 ผลคุณสมบัติความเป็นกรดด่าง (pH) ของไบโอดาร์ .....	49
4.5 ผลคุณสมบัติการนำไฟฟ้า (Electrical conductivity: EC) ของไบโอดาร์ .....	52
4.6 ผลคุณสมบัติพลังงานความร้อน (Thermal Energy) ของไบโอดาร์ .....	53
4.7 ผลคุณสมบัติความสามารถในการแลกเปลี่ยนประจุบวก (Cation Exchange Capacity: CEC) ของไบโอดาร์ .....	55
4.8 ผลคุณสมบัติของพื้นที่ผิว (Surface area) และปริมาตรรูพรุน (Pore volume) ของไบโอดาร์ .....	57
4.9 ผลคุณสมบัติขององค์ประกอบเบื้องหลัก (Micro nutrients) ของไบโอดาร์ .....	60
4.10 ผลคุณสมบัติองค์ประกอบเบื้องหลักโลหะหนัก (Heavy metal) ของไบโอดาร์ .....	61
4.11 ผลความสามารถในการดูดซับน้ำ (Water Holding Capacity: WHC) .....	65
4.12 ผลคุณสมบัติความหนาแน่น (Bulk density) ของไบโอดาร์ .....	66
4.13 ผลปริมาณแก๊ส (Gas volume) และองค์ประกอบแก๊ส (Gas composition) ที่ได้จากการผลิตไบโอดาร์ .....	68
4.14 ผลขององค์ประกอบที่ได้จากน้ำมันดิน (Tar) .....	70
4.15 การวิเคราะห์ไบโอดาร์ที่มีจำหน่ายในห้องทดลอง .....	73
4.16 การนำไปไบโอดาร์ไปใช้ประโยชน์ .....	82
บทที่ 5 สรุปและข้อเสนอแนะ .....	84
5.1 สรุปผลวิจัย .....	84
5.2 ข้อเสนอแนะ .....	85

5.3 ปัญหาที่พบในการศึกษา.....	86
ภาคผนวก.....	87
บรรณานุกรม.....	100
ประวัติผู้จัด.....	107



## สารบัญตาราง

หน้า

ตารางที่ 1 บทบาทและหน้าที่ขององค์ประกอบแร่ธาตุหลัก .....	18
ตารางที่ 2 บทบาทและหน้าที่ขององค์ประกอบแร่ธาตุโลหะหนักที่มีประโยชน์ .....	19
ตารางที่ 3 บทบาทและหน้าที่ขององค์ประกอบแร่ธาตุโลหะหนักที่ไม่มีประโยชน์ .....	20
ตารางที่ 4 ปริมาณโลหะหนักของไปโوخาร์ ตามมาตรฐาน IBI และ EBC .....	22
ตารางที่ 5 ตัวแปรศึกษาในการผลิตไปโوخาร์ .....	28
ตารางที่ 6 องค์ประกอบแร่ธาตุโลหะหนัก .....	37
ตารางที่ 7 การตั้งค่าอุณหภูมิในโปรแกรมการย่อยด้วยเครื่อง Topwave ของชีมวล .....	38
ตารางที่ 8 การตั้งค่าอุณหภูมิในโปรแกรมการย่อยด้วยเครื่อง Topwave ของไปโوخาร์ .....	38
ตารางที่ 9 การกำหนดค่าพลาสม่าในการวิเคราะห์แร่ธาตุโลหะหนักด้วยเครื่อง ICP-OES .....	39
ตารางที่ 10 คุณสมบัติต่าง ๆ ในเศษสุดุเกษตร ที่ใช้ในการผลิตไปโوخาร์ .....	41
ตารางที่ 12 องค์ประกอบแร่ธาตุของชีมวลและไปโوخาร์ด้วยการไฟโรไลซิสแบบช้า .....	47
ตารางที่ 13 ลักษณะสัณฐานวิทยาของไปโوخาร์ด้วยกระบวนการไฟโรไลซิสแบบช้า .....	57
ตารางที่ 14 ผลการทดสอบปริมาณแร่ธาตุโลหะหนัก (Heavy metal) ในไปโوخาร์ .....	62
ตารางที่ 15 องค์ประกอบทางเคมีของไปโوخาร์จากชั้งข้าวโพด ที่อุณหภูมิ 300 องศาเซลเซียส .....	71
ตารางที่ 16 องค์ประกอบทางเคมีของไปโوخาร์จากชั้งข้าวโพด ที่อุณหภูมิ 500 องศาเซลเซียส .....	72
ตารางที่ 17 องค์ประกอบทางเคมีของไปโوخาร์จากชั้งข้าว ที่อุณหภูมิ 700 องศาเซลเซียส .....	72
ตารางที่ 18 รายละเอียดของชือร้านค้าในท้องตลาด .....	73
ตารางที่ 19 การเปรียบเทียบปริมาณกลุ่มสารไปโوخาร์ในท้องตลาด .....	74
ตารางที่ 20 การเปรียบเทียบองค์ประกอบธาตุไปโوخาร์ในท้องตลาด .....	74
ตารางที่ 21 การเปรียบเทียบองค์ประกอบแร่ธาตุหลักของไปโوخาร์ในท้องตลาด .....	77
ตารางที่ 22 การเปรียบเทียบแร่ธาตุโลหะหนักของถ่านชีวภาพในท้องตลาด .....	78
ตารางที่ 23 คุณสมบัติของไปโوخาร์ที่เป็นประโยชน์ในการปรับปรุงดิน .....	82



## สารบัญภาพ

### หน้า

ภาพที่ 1 กลไกการผลิตไบโอดีไซร์ .....	9
ภาพที่ 2 แผนภาพแสดงกระบวนการไฟฟ์โอลิซิสของเครื่องปฏิกรณ์แบบเบดนิ่ง .....	12
ภาพที่ 3 ความสัมพันธ์ระหว่าง ค่า pH กับ การละลายตัวของธาตุอาหารในดิน .....	13
ภาพที่ 4 ลักษณะของพื้นที่ผิวและรูพรุนที่เกิดในไบโอดีไซร์ .....	16
ภาพที่ 5 ความสัมพันธ์ของค่าความร้อนและความชื้นของชีวมวล .....	23
ภาพที่ 6 โครงสร้างภายใน Bomb calorimeter .....	23
ภาพที่ 7 การสมดุลมวลสาร .....	24
ภาพที่ 8 แผนการดำเนินงานวิจัย .....	27
ภาพที่ 9 กระบวนการผลิตไบโอดีไซร์ด้วยเครื่องปฏิกรณ์แบบเบดนิ่ง .....	29
ภาพที่ 10 การทดสอบความหนาแน่น .....	40
ภาพที่ 11 การเปรียบเทียบปริมาณไบโอดีไซร์ที่ได้จากการไฟฟ์โอลิซแบบช้า .....	44
ภาพที่ 12 การเปรียบเทียบปริมาณไบโอดีไซร์ที่การรักษาอุณหภูมิ 2 ชั่วโมง .....	45
ภาพที่ 13 การเปรียบเทียบปริมาณไบโอดีไซร์ของงานวิจัยและบทความวิจัยอื่นๆ .....	45
ภาพที่ 14 การเปรียบเทียบปริมาณความชื้นและสารระเหยในไบโอดีไซร์ ที่การรักษาอุณหภูมิ 1 ชั่วโมง .....	46
ภาพที่ 15 การเปรียบเทียบปริมาณคาร์บอนคงที่และเหล้าไบโอดีไซร์ ที่การรักษาอุณหภูมิ 1 ชั่วโมง	47
ภาพที่ 16 การเปรียบเทียบอัตราส่วนแร่ธาตุในไบโอดีไซร์ ที่การรักษาอุณหภูมิ 1 ชั่วโมง .....	49
ภาพที่ 17 การเปรียบเทียบค่าความเป็นกรด-ด่าง (pH) ของไบโอดีไซร์ ที่การรักษาอุณหภูมิ 1 ชั่วโมง .....	50
ภาพที่ 18 การเปรียบเทียบค่าความเป็นกรด-ด่าง (pH) ของไบโอดีไซร์ ที่การรักษาอุณหภูมิ 2 ชั่วโมง .....	51
ภาพที่ 19 การเปรียบเทียบความเป็นกรดด่าง (pH) ของงานวิจัยและบทความวิจัยอื่นๆ .....	51
ภาพที่ 20 การเปรียบเทียบการนำไฟฟ้า (EC) ของไบโอดีไซร์ ที่การรักษาอุณหภูมิทดสอบ 1 ชั่วโมง	52

## สารบัญภาพ (ต่อ)

### หน้า

ภาพที่ 21 การเปรียบเทียบการนำไฟฟ้า (EC) ของใบอโขาร์ ที่การรักษาอุณหภูมิทดสอบ 2 ชั่วโมง.	53
ภาพที่ 22 การเปรียบเทียบค่าการนำไฟฟ้าของงานวิจัยและบทความวิจัยอื่น ๆ .....	53
ภาพที่ 23 การเปรียบเทียบพลังงานความร้อนของใบอโขาร์ การรักษาอุณหภูมิ 1 ชั่วโมง .....	54
ภาพที่ 24 การเปรียบเทียบพลังงานความร้อนของงานวิจัย และบทความวิจัยอื่นๆ.....	54
ภาพที่ 25 การเปรียบเทียบความจุในการแลกเปลี่ยนประจุบวก (CEC) ของใบอโขาร์ ที่การรักษาอุณหภูมิ 1 ชั่วโมง.....	56
ภาพที่ 26 การเปรียบเทียบความจุในการแลกเปลี่ยนประจุบวก (CEC) ของใบอโขาร์.....	56
ภาพที่ 27 การเปรียบเทียบความจุในการแลกเปลี่ยนประจุบวกของงานวิจัยและบทความวิจัยอื่นๆ.	57
ภาพที่ 28 การเปรียบเทียบพื้นที่ผิว (Surface area) ของใบอโขาร์ .....	59
ภาพที่ 29 การเปรียบเทียบปริมาตรรูพรุน (Pore volume) ของใบอโขาร์ .....	59
ภาพที่ 30 การเปรียบเทียบพื้นที่ผิวใบอโขาร์จากแกลบของงานวิจัยและบทความวิจัยอื่นๆ .....	60
ภาพที่ 31 การเปรียบเทียบองค์ประกอบแร่ธาตุหลัก ที่การรักษาอุณหภูมิ 1 ชั่วโมง.....	61
ภาพที่ 32 การเปรียบเทียบความสามารถในการอุ้มน้ำ WHC ของใบอโขาร์ ที่การรักษาอุณหภูมิ 1 ชั่วโมง.....	65
ภาพที่ 33 การเปรียบเทียบความสามารถในการอุ้มน้ำ WHC ของใบอโขาร์ ที่การรักษาอุณหภูมิ 2 ชั่วโมง.....	66
ภาพที่ 34 การเปรียบเทียบความหนาแน่น (Bulk density) ใบอโขาร์ การรักษาอุณหภูมิ 1 ชั่วโมง.	67
ภาพที่ 35 การเปรียบเทียบความหนาแน่น (Bulk density) ใบอโขาร์ การรักษาอุณหภูมิ 2 ชั่วโมง.	67
ภาพที่ 36 การเปรียบเทียบความหนาแน่นของงานวิจัยและบทความวิจัยอื่นๆ .....	68
ภาพที่ 37 การเปรียบเทียบปริมาณแก๊สของใบอโขาร์ ที่การรักษาอุณหภูมิ 1 ชั่วโมง.....	69
ภาพที่ 38 การเปรียบเทียบปริมาณแก๊สของใบอโขาร์ ที่การรักษาอุณหภูมิ 2 ชั่วโมง.....	69
ภาพที่ 39 การเปรียบเทียบปริมาตรแก๊สคาร์บอนมอนอกไซด์ (CO) ของใบอโขาร์ .....	70
ภาพที่ 40 การเปรียบเทียบปริมาตรแก๊สคาร์บอนไดออกไซด์ (CO <sub>2</sub> ) ของใบอโขาร์ .....	70

ภาพที่ 41 ค่าความเป็นกรด-ด่าง (pH) ของใบโ้อชาร์ จำนวน 11 ร้านค้าในห้องตลาด .....	75
ภาพที่ 42 ค่าการนำไฟฟ้าของใบโ้อชาร์ จำนวน 11 ร้านค้าในห้องตลาด.....	76
ภาพที่ 43 ค่าพลังงานความร้อนใบโ้อชาร์ในห้องตลาด .....	79
ภาพที่ 44 ค่าความจุในการแลกเปลี่ยนประจุบวกใบโ้อชาร์ในห้องตลาด .....	79
ภาพที่ 45 ค่าพื้นที่ผิวและปริมาตรรูพรุนใบโ้อชาร์ในห้องตลาด .....	80
ภาพที่ 46 ค่าความสามารถการดูดซับน้ำของใบโ้อชาร์ในห้องตลาด .....	81
ภาพที่ 47 ค่าความหนาแน่นของใบโ้อชาร์ในห้องตลาด .....	81





ถ่านไม้ทั่วไป โดยจากการศึกษาการผลิตไบโอดาร์ด้วยกระบวนการไฟโรไลซิสแบบช้า ในช่วงอุณหภูมิ 300-700 องศาเซลเซียส (Lee Park et al, 2013), (Jung Kim et al, 2016) ที่อัตราการให้ความร้อน 5-25 องศาเซลเซียสต่อนาที และมีการรักษาอุณหภูมิ 1-8 ชั่งโมง ภายใต้สภาวะการจำกัดอากาศ หรือแก๊สไนโตรเจน ( $N_2$ ) (Luo Xu et al, 2015) ส่งผลให้ไบโอดาร์ได้การเปลี่ยนแปลงคุณสมบัติทางฟิสิกส์และเคมี อาทิ โครงสร้างไมเลกุล ส่วนประกอบและคุณสมบัติเปลี่ยนแปลงไปจากชีวมวล ซึ่งเกิดจากการสลายตัวของกลุ่มเซลลูลอลิสและเยมิเซลลูลอลิส ในช่วงอุณหภูมิ 300-400 องศาเซลเซียส ส่วนอุณหภูมิที่มากกว่า 400 องศาเซลเซียส เป็นการสลายตัวในกลุ่มลิกนิก ส่งผลให้ผลิตที่ได้มีปริมาณลดลง (Jung Kim et al, 2016) รวมถึงคาร์บอน (Chen Yu et al, 2016) ความเป็นกรดด่าง (Budai, Wang et al. 2014) และความสามารถในการแลกเปลี่ยนประจุบวกมีค่าเพิ่มขึ้น อีกทั้งยังส่งผลให้พื้นที่ผิวและรูพรุนมีขนาดใหญ่ (Yuan Xu et al, 2011), (Wang Hu et al, 2013) โดยกล้องจุลทรรศน์แบบส่องกล้อง ด้วยวิธีการ Scanning electron microscopy (SEM) และ Brunauer, Emmett and Teller (BET) อีกทั้งยังส่งผลต่อการเปลี่ยนแปลงองค์ประกอบแร่ธาตุด้วยวิธีการย่อยด้วยคลื่นแม่โครเวฟและศึกษาเชิงปริมาณด้วยเครื่อง ICP ซึ่งพื้นที่ผิวและรูพรุนที่เกิดขึ้นช่วยในการดูดซับน้ำ แร่ธาตุอาหารที่พืชต้องการ รวมถึงเป็นแหล่งที่อยู่อาศัยของจุลินทรีย์ในดิน โดยจากการศึกษาเหล่านี้เผยแพร่ให้เห็นว่าคุณสมบัติต่างๆ ยังขึ้นอยู่กับชนิดของชีวมวล และปัจจัยของกระบวนการผลิตไบโอดาร์อีกด้วย เนื่องจากชีวมวลแต่ละชนิดมีการเปลี่ยนแปลงคุณสมบัติทางฟิสิกส์และเคมีที่แตกต่างกัน เมื่อได้รับความร้อนในเวลาไม่เท่ากัน เช่น ซังข้าวโพด ไม้ไผ่ แ甘บ และฟางข้าว เป็นต้น (Budai Wang et al, 2014), (Jindo Mizumoto et al, 2014), (Sun Gao et al, 2014)

การผลิตไบโอดาร์ สามารถผลิตได้จากเตาปฏิกรณ์หลากหลายประเภท เช่น พิกซ์เบด ฟลูว์ไดซ์เบด และไมโครเวฟ เป็นต้น โดยแต่ละประเภทมีลักษณะการทำงานที่แตกต่างกัน อย่างไรก็ตาม เตาปฏิกรณ์ประเภทพิกซ์เบด ยังคงเป็นที่ยอมรับและง่ายต่อการนำไปใช้งานในกระบวนการไฟโรไลซิสแบบช้า ซึ่งแตกต่างจากปฏิกรณ์ประเภทอื่น ๆ ที่มักนำไปใช้งานในกระบวนการไฟโรไลซิสแบบเร็ว (Wang Brown et al, 2013), (Chen Zhou et al, 2014), (Li Dai et al, 2016)

จากการศึกษางานวิจัยข้างต้น จึงมีแนวทางในการแก้ปัญหาการกำจัดเศษวัสดุเกษตรด้วยการนำเทคโนโลยีจากกระบวนการไฟโรไลซิสมาประยุกต์ใช้ โดยมีวัตถุประสงค์เพื่อศึกษาปัจจัยของการผลิตและคุณสมบัติของไบโอดาร์จากเศษวัสดุเกษตรในระดับปฏิบัติการ ด้วยกระบวนการไฟโรไลซิสแบบช้า

## 1.2 วัตถุประสงค์ของการวิจัย

1.2.1 เพื่อศึกษาปัจจัยของการผลิตไปโอลาร์ ได้แก่ อุณหภูมิในการให้ความร้อน ชนิดของเศษวัสดุเกษตรและการรักษาอุณหภูมิสุดท้ายในการให้ความร้อน ที่มีผลต่อปริมาณผลผลิตไปโอลาร์ และคุณสมบัติต่างๆทางพิสิกส์และเคมี และหาสภาวะที่เหมาะสมในการผลิตถ่านชีวภาพจากเศษวัสดุทางการเกษตร

1.2.2 เพื่อศึกษาคุณสมบัติของไปโอลาร์ เช่น ทางพิสิกส์และทางเคมี เป็นต้น สำหรับนำไปโอลาร์ที่มีคุณภาพเหมาะสมไปใช้ในการปรับปรุงดิน

1.2.3 การศึกษาเปรียบเทียบคุณสมบัติของผลิตภัณฑ์ไปโอลาร์ที่ได้จากการวิจัยกับผลิตภัณฑ์ที่มีการศึกษาวิจัยมาแล้ว รวมถึงผลิตภัณฑ์ที่มีการจำหน่ายแล้วในห้องทดลอง

## 1.3 ประโยชน์ที่คาดว่าจะได้รับ

จากการศึกษาได้ทราบถึงสภาวะที่เหมาะสมสำหรับการผลิตไปโอลาร์จากเศษวัสดุเกษตร เช่น ซังข้าวโพด แกลบ เม็ดลำไย เปเลือกลำไย เป็นต้น ด้วยกระบวนการไฟโรไลซิสแบบช้าในระดับห้องปฏิบัติการ ซึ่งปัจจัยในการผลิตมีผลต่อคุณสมบัติทางโครงสร้างพิสิกส์และเคมี ได้แก่ ชนิดของเตาปฏิกรณ์ อุณหภูมิการให้ความร้อน อัตราการให้ความร้อน และการรักษาอุณหภูมิสุดท้าย ที่มีผลต่อคุณสมบัติของไปโอลาร์ที่แตกต่างกัน เพื่อสามารถนำไปอุปกรณ์มาใช้ให้เกิดประโยชน์ในการปรับปรุงดิน

1.3.1 องค์ประกอบแร่ธาตุ เป็นส่วนสำคัญในการเจริญเติบโตของพืช

1.3.2 ความเป็นกรด-ด่าง เพื่อใช้ในการปรับปรุงดินให้มีสถานะเป็นกลาง และช่วยในการดึงดูดแร่ธาตุอาหาร เนื่องจากการผลิตไปโอลาร์มีสถานะเป็นกรด-เบส

1.3.3 การนำไฟฟ้าและความสามารถในการแลกเปลี่ยนประจุบวก ซึ่งการนำไปฟื้นฟูบวกค่าปริมาณเกลือที่มีในไปโอลาร์ ซึ่งผลของปริมาณเกลือมีมาก จะทำให้พืชขาดน้ำ และการแลกเปลี่ยนประจุไฟฟ้าของไอออนบวกที่เกิดขึ้นในไปโอลาร์ ช่วยในการแลกเปลี่ยนประจุของสารต่างๆที่เป็นประโยชน์ต่อการเจริญเติบโตของพืชในดินได้ดี

1.3.4 พื้นที่ผิว ปริมาตรรูพรุน และความสามารถในการดูดซับน้ำ ซึ่งคุณสมบัติเหล่านี้จะช่วยในการอุ่มน้ำและแร่ธาตุในดิน เป็นที่อยู่อาศัยของจุลินทรีย์ อีกทั้งลดการชะล้างสารอาหารในดิน ที่เป็นประโยชน์ต่อการเจริญเติบโตของพืช

#### 1.4 ขอบเขตของงานวิจัย

1.4.1 การศึกษาการผลิตไบโอดาร์ในกระบวนการไฟโรไลซิสแบบช้าจากเศษวัสดุเกษตร ด้วย เทาปฏิกรณ์แบบเบดนิง ในระดับห้องปฏิบัติการ

1.4.2 ชนิดของชีวมวล เช่น ซังข้าวโพด แกลบ เม็ดลำไย เปลือกลำไย และกะลากาแฟ เป็นต้น ที่ความแตกต่างของอุณหภูมิ 300-700 องศาเซลเซียส ในการรักษาอุณหภูมิสุดท้าย 1-2 ชั่วโมง ภายใต้สภาวะในต่อเรจน โดยให้อัตราการให้ความร้อน 10 องศาเซลเซียสต่อนาที และอัตราการให้เล ของแก๊ส 100 มิลลิตรต่อนาที

1.4.3 ในการศึกษาคุณสมบัติของไบโอดาร์ จะวิเคราะห์ด้วยวิธีการตามมาตรฐาน EBC และ IBI ของไบโอดาร์



## บทที่ 2

### ทฤษฎีและการตรวจเอกสาร

#### 2.1 แนวคิดและทฤษฎีของใบโอชาร์ (Biochar)

“...ถ่านชีวภาพ หรือเรียกอีกชื่อหนึ่งว่า ใบโอชาร์ คือ วัสดุที่อุดมด้วยคาร์บอน ผลิตจากการให้ความร้อนมวลชีวภาพ (Biomass) โดยไม่ใช้ออกซิเจนหรือใช้น้ำยามาก เรียกกระบวนการนี้ว่า กระบวนการด้วยความร้อน (Pyrolysis) ซึ่งมีสองวิธีหลัก ๆ ในการผลิตใบโอชาร์ คือ การแยกสลายอย่างเร็วและอย่างช้า การผลิตใบโอชาร์ด้วยวิธีแยกสลายอย่างช้าที่อุณหภูมิ 500 องศาเซลเซียส จะได้ผลผลิตใบโอชาร์มากกว่า 50 % ใช้เวลาเป็นชั่วโมง ซึ่งต่างจากวิธีการแยกสลายอย่างเร็วที่อุณหภูมิ 700 องศาเซลเซียส ใช้เวลาเป็นวินาที ผลผลิตที่ได้จะเป็นน้ำมันชีวภาพ (Bio-oil) 60% แก๊สสังเคราะห์ (Syngas) 20% ได้แก่  $H_2$ ,  $CO$  และ  $CO_2$  และถ่านชีวภาพ (Biochar) 20%...” (อรสา, 2554)

##### 2.1.1 ชีมวลที่นำมาใช้ในการผลิตใบโอชาร์

ชีมวลเป็นวัสดุหรือสารที่ได้จากการเผาชีมวลที่เหลือใช้หลังการเก็บเกี่ยวจากการเกษตร เช่น ข้าว ข้าวโพด มันสำปะหลัง ยางพารา และน้ำมันปาล์ม เป็นต้น ซึ่งเกษตรกรจะกำจัดเศษวัสดุเกษตรอย่างผิดวิธี เช่น การเผาและไถกลบในดิน เป็นต้น ส่งเสียต่อโครงสร้างในดิน เป็นมลพิษทางอากาศ และสร้างผลกระทบให้กับสิ่งแวดล้อมในบริเวณโดยรอบ จึงมีวิธีการแก้ไขโดยการนำมาใช้เป็นชีมวล เนื่องจากมีคุณสมบัติในการเป็นเชื้อเพลิงและให้ค่าพลังงาน ความร้อนในระดับที่สามารถนำไปใช้ประโยชน์ในด้านพลังงานทดแทน โดยแบ่งชีมวลได้ 6 ประเภท จากแหล่งกำเนิดของชีมวล (กรมพัฒนาพลังงานทดแทนและอนุรักษ์พลังงานกระทรวงพลังงาน, 2554) ดังนี้

- 1) ชีมวลที่เกิดจากการเผาปลูก มีการปลูกขึ้นมาแล้วเหลือจากใช้ในจุดประสงค์หลักของการปลูก เช่น ปลูกเพื่อเป็นอาหารแก่คนหรือสัตว์หรือปลูกขึ้นมา เป็นต้น เพื่อใช้เป็นเชื้อเพลิง ชีมวลโดยตรง ชีมวลประเภทนี้ เช่น ปาล์มน้ำมัน ข้าวโพด ถั่วเหลือง และมันสำปะหลัง เป็นต้น

- 2) ชีมวลที่เกิดขึ้นหลังการเกิดไฟไหม้ป่า เกิดขึ้นหลังมีการเกิดไฟไหม้ป่าที่เกิดขึ้นเองตามธรรมชาติเป็นประจำ โดยชีมวลประเภทนี้ส่วนใหญ่เป็นเศษกิ่งไม้ และลำต้นของต้นไม้ที่หลงเหลือจากไฟไหม้ป่า

- 3) ชีมวลที่เกิดขึ้นจากของเสียทางการเกษตร จะเกิดขึ้นระหว่างการเก็บเกี่ยวและ การแปรรูปซึ่งผลทางการเกษตร เช่น กลบ พังข้าว และกะลาปาล์ม เป็นต้น

4) ชีวมวลที่เกิดขึ้นในป่าและอุตสาหกรรมป่าไม้ สามารถหาได้ในป่า เช่น เศษใบไม้ กิ่งไม้ที่หักจากต้นไม้ ต้นไม้ที่ตายไปแล้วหรือแม้กระทั้งของเสียที่เกิดจากอุตสาหกรรมการแปรรูปไม้ เช่น ขี้เลือย และปีกไม้ เป็นต้น

5) ชีวมวลจากมูลสัตว์ เป็นสิ่งปฏิกูลที่เกิดจากการขับถ่ายของสัตว์ เช่น มูลวัว มูลแพะ มูลไก่ เป็นต้น ซึ่งชีวมวลเหล่านี้จะมีความชื้นที่สูงมาก

6) ชีวมวลจากขยะชนวน คือ ขยะที่ถูกทิ้งในการใช้ชีวิตประจำวัน ซึ่งสามารถเรียก อีกชื่อหนึ่งว่า ขยะชุมชน (Municipal Solid Waste)

### 2.1.2 ประโยชน์ของใบโอชา (อรสา, 2554) แสดงข้อมูลดังนี้

1) “...ช่วยบรรเทาการเปลี่ยนแปลงภูมิอากาศ เนื่องจากถ่านชีวภาพ สามารถลดคาร์บอนไดออกไซด์ในชั้นบรรยากาศในระยะยาวได้ด้วยการกักเก็บคาร์บอนในดิน

2) ช่วยปรับปรุงดินและผลผลิตทางการเกษตร เนื่องจากเมื่อนำใบโอชาลงดิน ลักษณะความเป็นรูพรุนของถ่านชีวภาพจะช่วยกักเก็บน้ำและอาหารในดิน และเป็นที่อยู่ให้กับจุลินทรีย์สำหรับทำกิจกรรมเพื่อสร้างอาหารให้ดิน เมื่อ din อดทนสมบูรณ์จะส่งผลให้ผลผลิตทางการเกษตรเพิ่มขึ้น

3) ช่วยผลิตพลังงานทดแทน เนื่องจากกระบวนการผลิตใบโอชาจากมวลชีวภาพด้วยการแยกสลายด้วยความร้อนจะให้พลังงานชีวภาพที่สามารถใช้เป็นพลังงานทดแทนเพื่อการขนส่งและในระบบอุตสาหกรรมได้

4) ช่วยในกระบวนการจัดการของเสียประเภทหินทรายวัตถุได้ เนื่องจากเทคโนโลยีใบโอชาร์มีศักยภาพในการกำจัดของเสียที่ทำให้สิ่งแวดล้อมเป็นมิตรได้...”

### 2.1.3 คุณสมบัติที่เหมาะสมในการนำไปใช้งาน

#### 2.1.3.1 การนำไปใช้งานด้านการปรับปรุงดิน

ใบโอชาเป็นวัสดุที่มีปริมาณคาร์บอนสูง สามารถใช้เป็นแหล่งสารสมควร์บอนและช่วยเพิ่มคาร์บอนไดออกไซด์ให้กับดิน เมื่อนำไปใช้ในการปรับปรุงดินเพื่อให้พืชได้เกิดการสังเคราะห์แสงได้ดีขึ้น ทำให้ผลผลิตมีคุณภาพดี เช่น ทำให้พืชผลลดความผada แต่เพิ่มความหวาน เป็นต้น (กันยาและสิทธิบูรณ์, 2558)

ใบโอชา มีความพรุนสูง สามารถช่วยดูดซับน้ำ สารอาหาร และเป็นแหล่งอาศัยของจุลินทรีย์ที่สำคัญในดิน เช่น เชื้ออโซโตแบตเตอร์ (Azotobacter) เป็นจุลินทรีย์ที่ผลิตอาหาร หรือเชื้อรากไม้คอร์iza (Vehicular Arbuscular Mycorrhiza) ช่วยในการย่อยฟอสฟอรัส ทำให้ประจุไฟฟ้า

ของดินต้องเป็นกรดฟอสฟอริก (Phosphoric Acid) ธาตุโปแทสเซียม (K) และธาตุอื่นๆ เป็นต้น (แก้ว เพชร, 2560)

#### 2.1.3.2 การนำไปใช้งานด้านแก๊สเชื้อเพลิง

ใบโอชา ให้ค่าความร้อนสูง สามารถนำไปใช้ในรูปแบบเชื้อเพลิงด้านพลังงาน ทดแทนในกลุ่มเชื้อเพลิงแข็ง อีกทั้งมีคุณลักษณะช่วยในการลดปริมาณแก๊สในกลุ่มที่ก่อให้เกิดสภาพอากาศเรือนกระจก เช่น แก๊สมีเทน ( $\text{CH}_4$ ) และไนโตรออกไซด์ ( $\text{N}_2\text{O}$ ) เป็นต้น โดยส่วนใหญ่สาเหตุเกิดจากกระบวนการทางด้านการเกษตร (จิระพงษ์, 2552)

### 2.2 แนวคิดทฤษฎีการไฟโรไลซิส (Pyrolysis)

การไฟโรไลซิสเป็นกระบวนการทางเคมีความร้อนที่เปลี่ยนรูปของชีวมวล พลาสติก รวมถึงวัสดุชนิดอื่น ๆ เป็นเชื้อเพลิงที่มีค่าความร้อนสูง ได้แก่ ถ่าน (Charcoal) น้ำมัน (Bio-oil) และแก๊สเมล์กลันตัว (Non-condensable Gas) โดยให้ความร้อนที่อุณหภูมิปานกลาง 500-800 องศาเซลเซียส ในสภาพที่ไม่มีออกซิเจน โดยสัดส่วนของผลิตภัณฑ์จากการไฟโรไลซิสขึ้นอยู่กับปัจจัยหลายประการ ได้แก่ สภาวะในการทำปฏิกิริยา ลักษณะของวัตถุดิบที่ใช้เป็นสารตั้งต้น ชนิดของเครื่องปฏิกรณ์ เป็นต้น ซึ่งกระบวนการไฟโรไลซิส (อมรชัยและกุลนันท์, 2558) แบ่งออก 3 ประเภท คือ ไฟโรไลซิสแบบช้า (Slow Pyrolysis) ไฟโรไลซิสแบบเร็ว (Fast Pyrolysis) ไฟโรไลซิสแบบเกิดขึ้นโดยเร็ว (Flash Pyrolysis)

#### 2.2.1 กระบวนการไฟโรไลซิสแบบช้า (Slow Pyrolysis)

กระบวนการที่มีการทำปฏิกิริยาในอุณหภูมิระหว่าง 400-600 องศาเซลเซียส มีอัตราการให้ความร้อนต่ำ (น้อยกว่า 10 องศาเซลเซียสต่อนาที) ขนาดเส้นผ่านศูนย์กลางของวัตถุดิบที่ใช้ในการทำปฏิกิริยามีขนาดใหญ่กว่า 2 มิลลิเมตร ผลิตภัณฑ์จากการไฟโรไลซิสแบบช้ามีสัดส่วนเป็นของเหลว 30-50 เปอร์เซ็นต์ และถ่าน 25-35 เปอร์เซ็นต์ ซึ่งการไฟโรไลซิสแบบช้าสามารถแบ่งออกเป็น 2 กระบวนการย่อย ได้แก่

1) การไฟโรไลซิสแบบคาร์บอนไนเซชัน (Carbonization Pyrolysis) เป็นกระบวนการที่ความร้อนเป็นระยะเวลานาน โดยใช้เวลาประมาณหนึ่งวัน ได้ผลิตภัณฑ์เป็นถ่านสำหรับเป็นเชื้อเพลิงในการทำอาหาร ส่วนผลิตภัณฑ์ในสถานที่จะถูกปลดปล่อยออกสู่บรรยากาศ

2) การไฟโรไลซิสแบบดังเดิม เป็นกระบวนการที่ใช้เวลาให้ความร้อนน้อย กว่าแบบการไนเซชัน คือ 15-30 นาที ได้ผลิตภัณฑ์ครบถ้วน 3 สถานะ คือ ถ่าน น้ำมัน และก๊าซเมกัลันตัว เนื่องจากการไฟโรไลซิสแบบช้าได้ผลิตภัณฑ์ในส่วนของน้ำมันในปริมาณน้อย ดังนั้น น้ำมันส่วนใหญ่ จึงถูกใช้เป็นเชื้อเพลิงในการกระบวนการเผาไหม้ ซึ่งสามารถแยกสารเคมีบางชนิดออก

จากส่วนมีข้าวหรือส่วนที่ละลายน้ำของน้ำมันได้ โดยสารเคมีที่สามารถสกัดได้จากน้ำมัน ได้แก่ อะซิโตน คีโตน เมทานอล กรดฟอร์มิก และกรดอะซิติก เป็นต้น

### 2.2.2 กลไกการเกิดการไฟโรไรซิส

ได้ศึกษาพัฒนาขององค์ประกอบแต่ละชนิดในกระบวนการไฟโรไรซิสพบว่า องค์ประกอบที่มีอยู่ภายใน ได้แก่ พอลิเมอร์ของเซลลูโลส เอมิเซลลูโลส และลิกนิน ซึ่งแต่ละชนิดมีโครงสร้าง และองค์ประกอบทางเคมีแตกต่างกัน อีกทั้งศึกษาจนผลศาสตร์ของการเกิดปฏิกิริยา พบว่าประกอบด้วย 2 ช่วง (กันยาและสิทธิบูรณ์, 2558) ดังนี้

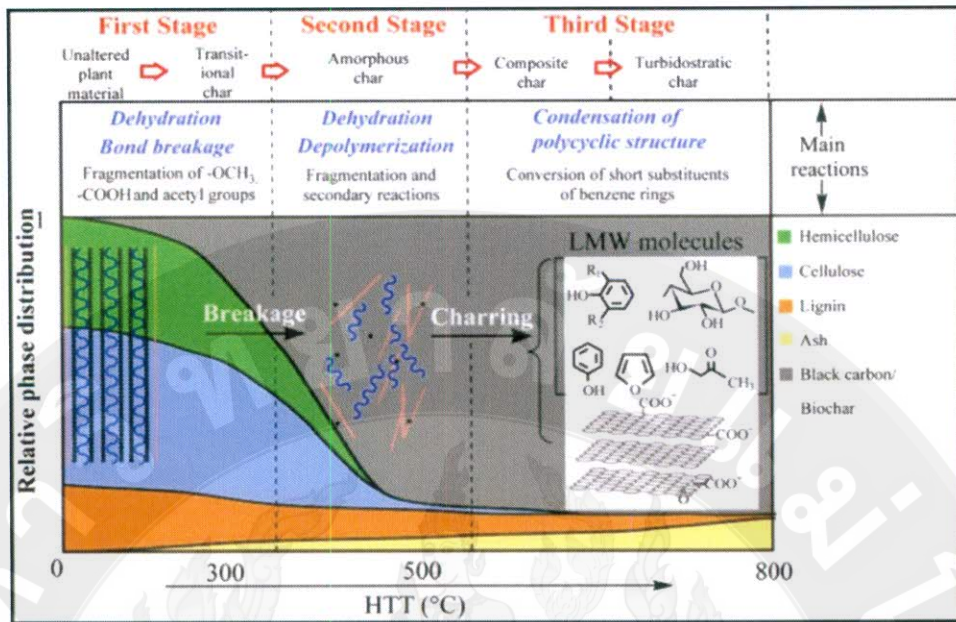
1) ช่วงพรีไฟโรไรซิส (Pre-pyrolysis) อุณหภูมิการเผาไหม้อยู่ในช่วง 120-200 องศาเซลเซียส ช่วงนี้จะมีการจัดองค์ประกอบ เกิดการทำลายพันธะของวัตถุดิบบางส่วนและเริ่มนีอนุมูลอิสระ (Free Radical) เกิดขึ้น รวมทั้งมีการเกิดหมู่คาร์บอนิล (Carbonyl Group) และมีกลุ่มไฮโดร Peroxide (Hydro Peroxide) ขึ้นเมื่อชีวมวลได้รับความร้อนที่อุณหภูมิต่ำ (น้อยกว่า 200 องศาเซลเซียส) เป็นเวลานาน ทำให้โครงสร้างภายในของชีวมวลมีการเปลี่ยนแปลง ผลิตภัณฑ์ที่ได้ต่างจากการไฟโรไรซิส วัตถุดิบชนิดเดียวกันแต่ไม่มีช่วงพรีไฟโรไรซิส

2) ช่วงการสลายส่วนที่เป็นของแข็ง เป็นขั้นตอนหลักของการกระบวนการเกิดไฟโรไรซิส จะมีอัตราการเกิดที่เร็วมากและทำให้เกิดผลิตภัณฑ์ของกระบวนการไฟโรไรซิส โดยที่ อุณหภูมิที่เหมาะสมอยู่ในช่วง 300-600 องศาเซลเซียส ในการเปลี่ยนแปลงทางเคมีนี้ โมเลกุลที่มีขนาดใหญ่หรือเป็นสายโซ่ยาวจะเกิดการแตกตัวของพันธะ เช่น C-C, C-S และ C-O เป็นต้น พร้อมกับ การเกิดการผลิตผลระหว่างปฏิกิริยา (Intermediate) สารผลิตผลนี้จะดึงไนโตรเจนจากสารอื่นและ กลั่นตัว เกิดปฏิกิริยาพอลิเมอไรเซชัน (Polymerization) ได้ถ่านโคკ ใบขนะที่ถ่านโคកมักจะไม่ เกิดปฏิกิริยา และจะเปลี่ยนเป็นถ่านชีวภาพ อีกทั้งเมื่ออุณหภูมิสูงขึ้น น้ำมันดินจะผ่านกระบวนการแตกตัว (Cracking) และถูกทำให้เป็นก๊าซ (Gasified) ซึ่งทำให้เกิดผลิตภัณฑ์มีเทน (Methane) ไฮโดรเจน (Hydrogen) และคาร์บอนมอนอกไซด์ (Carbon Monoxide)

### 2.2.3 กลไกการผลิตและการนำไปใช้ประโยชน์

การไฟโรไรซิสของชีวมวลจากเศษวัสดุเกษตรที่เหลือใช้หลังการเก็บเกี่ยวหรือการ แปรรูป เมื่อผ่านกระบวนการไฟโรไรซิสจะได้ผลิตภัณฑ์ต่างๆ ได้แก่ ถ่าน น้ำมันดิน และแก๊สไม่กլั่นตัว ซึ่งสามารถนำไปใช้ประโยชน์ได้หลากหลาย (อมรชัยและกุลนันท์, 2558) ดังนี้





ภาพที่ 1 กลไกการผลิตไบโอดีเซล  
ที่มา: Odinga Emmanuel Stephen et al (2020)

1) ถ่าน ถ่าน ถูกใช้เป็นเชื้อเพลิงในกระบวนการเผาไหม้สำหรับผลิตความร้อนไอน้ำ และไฟฟ้า หรือใช้ผลิตไบโอดีเซล โดยค่าความร้อนของถ่านมีค่า 15-30 เมกะจูลต่อกิโลกรัม เถ้าที่ได้เกิดจากเผาไหม้ สามารถนำไปใช้ประโยชน์ได้ด้วยการนำไปใช้ในกระบวนการผลิตซีเมนต์ นอกจากนี้ ไบโอดีเซลยังมีคุณสมบัติที่ดีกว่ากับการปรับปรุงคุณสมบัติของดิน ดังนั้น จึงมีการพัฒนาไบโอดีเซลจากการกระบวนการไฟฟ้าและเชื้อเพลิงเพื่อใช้ปรับปรุงดินสำหรับการเกษตร

2) น้ำมัน จากกระบวนการไฟฟ้าและเชื้อเพลิง มีคุณสมบัติที่สำคัญหลายประการ มีความหนาแน่น 1.2 กิโลกรัมต่อลิตร มีความหนืดสูง มีความเป็นกรดทำให้มีคุณสมบัติกัดกร่อน อุณหภูมิจุดติดสูง มีค่าความร้อน 15-18 เมกะจูลต่อกิโลกรัม มีคุณสมบัติไม่รวมเป็นเนื้อเดียวกันกับน้ำมันปิโตรเลียม นอกจากนี้หากเติมน้ำลงไปในน้ำจะแยกออกเป็น 2 ส่วน คือ ส่วนที่ละลายน้ำ (Aqueous Phase) และส่วนที่ไม่ละลายน้ำหรือละลายในสารอินทรีย์ (Organic Phase) น้ำมันสามารถนำไปใช้ประโยชน์ได้หลากหลาย วิธีการที่ง่ายที่สุด คือ ใช้เป็นเชื้อเพลิงในหม้อต้มไอน้ำ (Boiler) หรือกังหันแก๊ส (Gas Turbine) สำหรับเผาไหม้ เพื่อผลิตความร้อนและไฟฟ้า นอกจากนี้ยังสามารถใช้เป็นเชื้อเพลิงให้กับเครื่องยนต์ ซึ่งการใช้น้ำมันที่ได้จากการกระบวนการไฟฟ้าและเชื้อเพลิง ไม่ผ่านการปรับปรุงคุณภาพ จะทำให้เกิดปัญหาหลายประการ เช่น ปัญหาการกัดกร่อน เนื่องจากคุณสมบัติด้านความเป็นกรด การจุดติดยาก เนื่องจากปริมาณน้ำที่มีมากเกินไป อีกทั้งยังมีปริมาณถ้าสูง ทำให้เกิดการอุดตันในเครื่องยนต์ เป็นต้น อีกทั้งสามารถนำไปผลิตสารเคมีต่าง ๆ โดยผ่าน

กระบวนการแยก เช่น เกลือแคลเซียม เพื่อใช้ดักจับซัลเฟอร์ออกไซด์ (SO<sub>x</sub>) ปุ่ยจากการทำปฏิกิริยา ระหว่างคาร์บอนิลกับแอมโมเนีย ผลิตแอลดีไฮต์ เรชินและพลาสติก รวมถึงเมทานอล กรดอะซิติก และอะซิโตน เป็นต้น

3) แก๊สไม่เกล็นตัว ส่วนใหญ่ประกอบด้วย CH<sub>4</sub> CO<sub>2</sub> CO และ H<sub>2</sub> โดยทั่วไปจะนำกลับมาเผาใหม่ เพื่อให้ความร้อนภายในการหรือส่งไปยังกระบวนการอื่น เพื่อผลิตความร้อนและไฟฟ้า

### 2.3 ปัจจัยที่มีผลต่อการผลิตไบโอดาร์ในกระบวนการไฟโรไลซิส

ปัจจัยที่มีผลต่อปริมาณและองค์ประกอบต่างๆ ในผลิตภัณฑ์จากการไฟโรไลซิส ได้แก่ ตัวแปรทางกายภาพพื้นฐาน เช่น อุณหภูมิ อัตราการให้ความร้อน ชนิดของเครื่องปฏิกรณ์ เป็นต้น เพื่อหาสภาวะที่เหมาะสมสำหรับการไฟโรไลซิส และได้ปริมาณของผลิตภัณฑ์ที่ต้องการ ตัวแปรที่สำคัญทางเคมี เช่น องค์ประกอบของสารอินทรีย์และอนินทรีย์ที่อยู่ในชีวมวล ซึ่งส่งผลต่อชนิดของสารองค์ประกอบในผลิตภัณฑ์เหลว ดังนั้น ตัวแปรที่ส่งผลต่อผลิตภัณฑ์ในการการไฟโรไลซิส สามารถอธิบายได้โดย (จิราพร, 2554) ประกอบด้วยรายละเอียด 4 ส่วน ดังนี้

#### 2.3.1 ส่วนประกอบของชีวมวล (Composition of Material)

ชีวมวลที่ใช้ในการผลิตไบโอดาร์ เป็นสิ่งสำคัญในการกำหนดผลิตภัณฑ์ของพอกสาร ระยะ การไฟโรไลซิสของชีวมวลโดยทั่วไปจะประกอบด้วยสารระเหยประมาณ 60-80 เปอร์เซ็นต์ ของน้ำหนักเริ่มต้นในลำพวกถ่านหิน สามารถคำนวณปริมาณสารระเหยได้ (VM) ซึ่งสังเกตได้จากอัตราไฮโดรเจน (H) ต่อคาร์บอน (C) จะเพิ่มเป็นปริมาณแปรผันโดยตรง ซึ่งสมการที่ใช้ในการคำนวณค่าสารระเหย ด้วยการมีนาออกซิเจนคำนวณ ดังสมการที่ ... (1)

$$VM (\% \text{ mass}) = 97.3 (H/C) - 40.4 \quad \dots (1)$$

#### 2.3.2 ขนาดของชีวมวล (Particle Size)

โดยทั่วไปวัสดุที่มีขนาดเล็กกว่าจะมีพื้นที่ผิวมากกว่า จึงมีปฏิกิริยาเคมีเกิดขึ้นได้มาก ขนาดวัสดุจึงมีผลต่อกระบวนการไฟโรไลซิส ซึ่งวัสดุที่มีขนาดใหญ่ การให้ความร้อนจะซักกว่าขนาดเล็ก ดังนั้น การกระจายอุณหภูมิก็จะไม่เป็นไปอย่างสม่ำเสมอและปริมาณสารระเหยจะได้น้อยอีกด้วย

### 2.3.3 องค์ประกอบทางเคมีของชีวมวล

ชีวมวลแต่ละชนิดมีองค์ประกอบที่แตกต่างกัน เช่น ปริมาณของเซลลูโลส เอ็นไซลูโลส ลิกนิน และสารอินทรีย์ เป็นต้น โดยชีวมวลที่มีปริมาณของเซลลูโลสมาก เมื่อเกิดการไฟโรไลซิสที่อุณหภูมิสูง จะมีชีวมวลที่มีปริมาณลิกนิกสูงจะมีการไฟโรไลซิสที่อุณหภูมิต่ำ อีกทั้งผลิตภัณฑ์ที่ได้จากการไฟโรไลซิสจะมีองค์ประกอบทางเคมี และลักษณะทางกายภาพแตกต่างกัน เช่น ปริมาณราก ความเป็นกรด และความหนืดที่แตกต่างกัน เป็นต้น

1) ความชื้น (Moisture Content) มีผลต่อกระบวนการแปลงชีวมวลเป็นพลังงานสำคัญ โดยเฉพาะกระบวนการแปลงพลังงานโดยใช้ความร้อน (Thermal Conversion Processing) เมื่อชีวมวลมีค่าความชื้นมากทำให้ค่าความร้อนต่ำ (Low Heating Value) ของชีวมวลนั้น ๆ ลดลง ซึ่งส่งผลให้ประสิทธิภาพในการใช้ความร้อนลดลง

2) สารระเหย (Volatile Matter) ส่วนที่ลูกเพาใหม่ได้ง่าย เมื่อปริมาณสารระเหยในชีวมวลมีปริมาณมากจะทำให้ติดไฟได้ง่าย แต่ก็ขึ้นอยู่กับชีวมวลแต่ละชนิด

3) คาร์บอนคงที่ (Fixed Carbon) เป็นส่วนที่เสียร่องโครงสร้างโมเลกุลของชีวมวล ชีวมวลที่มีเปอร์เซ็นต์คาร์บอนต่ำหรือน้อยจะเกิดการสันดาปได้ไม่ดี เนื่องจากอุณหภูมิจุดติดไฟต่ำ ความรวดเร็วในการติดไฟชาและมีความชื้นมาก

4) เถ้า (Ash) เป็นส่วนประกอบอินทรีย์ที่มีอยู่เดิมในชีวมวลที่ถูกอกอุดไอส์สมบูรณ์ ชีวมวลส่วนใหญ่จะมีเข้าถึงประมาณ 1-3 เปอร์เซ็นต์ ยกเว้นชีวมวลที่มีความหนาแน่นต่ำ เช่น แกลบฟางข้าว เป็นต้น จะมีสัดส่วนถ้าประมาณ 10-20 เปอร์เซ็นต์ ซึ่งอาจมีปัญหาในการเผาไหม้ได้

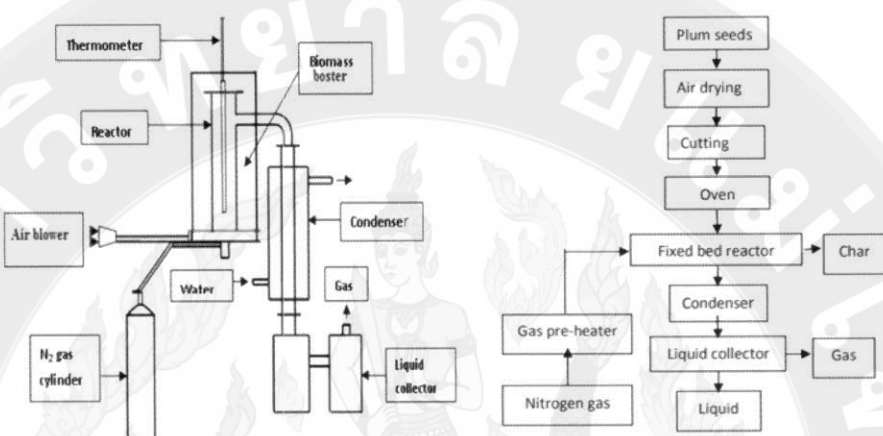
### 2.3.4 อุณหภูมิ (Temperature)

อุณหภูมิในการไฟโรไลซิสส่งผลต่อปริมาณของไออกซิเจนและองค์ประกอบของไออกซิเจน ซึ่งในช่วงอุณหภูมิต่ำ 300-500 องศาเซลเซียส จะมีการปลดปล่อยสารระเหยได้ปริมาณเล็กน้อย น้ำ และแก๊สคาร์บอนไดออกไซด์ เมื่อเพิ่มอุณหภูมิสูงขึ้นจะเกิดการปลดปล่อยของสารระเหยได้ในปริมาณมาก ทำให้ได้ผลิตภัณฑ์ส่วนที่เป็นของน้ำมันชีวภาพหรือไบโอดีเซล และเมื่อการไฟโรไลซิสที่อุณหภูมิสูง ในช่วง 600-800 องศาเซลเซียส จะทำให้เกิดการเปลี่ยนแปลงของถ่านและมีการแตกตัวทางความร้อนของสารโมเลกุลเล็ก ทำให้เกิดเป็นแก๊สโมเลกุลเล็ก ซึ่งไม่สามารถควบแนนได้ เช่น มีเทน และไฮโดรเจน เป็นต้น

### 2.3.5 เครื่องปฏิกรณ์ (Reactor)

การผลิตไบโอดีเซลด้วยกระบวนการไฟโรไลซิสแบบช้า เพื่อศึกษาปัจจัยของการผลิตไบโอดีเซลและคุณสมบัติต่างๆทางพิสิกส์และทางเคมี เครื่องปฏิกรณ์ถือเป็นปัจจัยหนึ่งที่สำคัญ

ในการศึกษา โดยเครื่องปฏิกรณ์สำหรับใช้ในการไฟโรไลซิส ถูกออกแบบเป็นทรงกระบอก โดยใช้เหล็กกล้าไร้สนิมตามมาตรฐาน AISI 304 มีเส้นผ่านศูนย์กลาง 5.08 เซนติเมตร ปริมาตรทรงกระบอกภายใน 600 ลูกบาศก์เซนติเมตร และมีความสูง 30 เซนติเมตร (Uddin Joardder et al, 2012) ซึ่งประกอบด้วยส่วนต่าง ๆ ดังนี้



ภาพที่ 2 แผนภาพแสดงกระบวนการไฟโรไลซิสของเครื่องปฏิกรณ์แบบเบดนิ่ง

ที่มา: Uddin Joardder et al. (2012)

1) เครื่องควบแน่น (Condenser) ชนิดระบายความร้อนด้วยน้ำ ใช้ในการลดอุณหภูมิไออกซิเจนของการไฟโรไลซิสที่จะส่งผลต่อผลิตภัณฑ์ในการทดสอบ

2) เครื่องวัดอัตราการไหลของแก๊ส (Gas flow meter) การไฟโรไลซิสเป็นกระบวนการภายใต้สภาวะแก๊สในไตรเจนหรือภายใต้สภาวะไออกซิเจน การติดตั้งเครื่องวัดอัตราการไหลของแก๊สจะต้องมีชุดควบคุมความดันแบบปรับได้ เพื่อสะท้อนต่อการป้อนแก๊สเข้าสู่ระบบและป้องกันอุบัติเหตุจากแก๊สที่มีความดันสูง

3) เครื่องมือวัดอุณหภูมิ (Thermocouple) ใช้ในการวัดอุณหภูมิ ขณะให้ความร้อนภายในเครื่องปฏิกรณ์ โดยจะติดตั้งเครื่องมือแทรกในห้องเผาไหม้ตั้งแต่ส่วนบนจนถึงส่วนล่าง

โครงสร้างของเครื่องปฏิกรณ์ : ส่วนประกอบต่าง ๆ ถูกประกอบเข้าหากัน ปิดผนึกด้วยปะเก็นเหลวและยึดด้วยสกรู ส่วนอีกด้านหนึ่งจะติดตั้งบนชั้นวางเฟรมสำหรับจ่ายความร้อนในขณะเครื่องปฏิกรณ์ทำงาน และเชื่อมท่อไปยังเครื่องวัดอัตราการไหลของแก๊ส สำหรับป้อนแก๊สในไตรเจนเข้าในระบบ

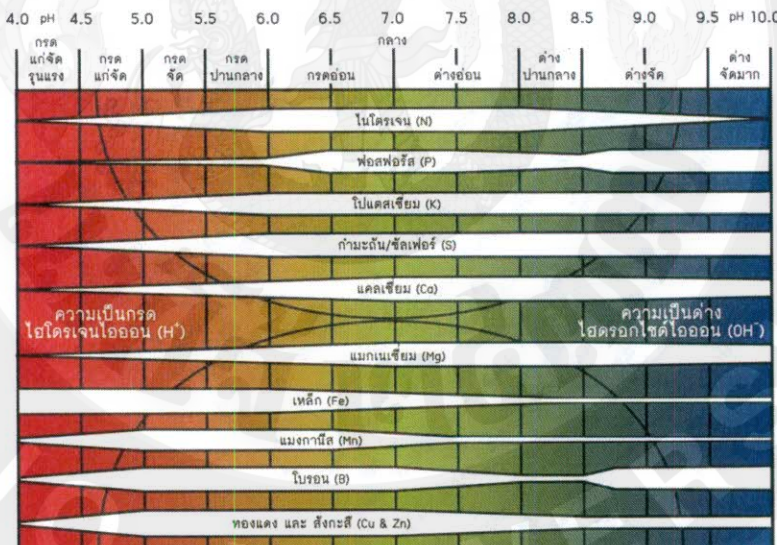
หลักการทำงานของระบบภายในเครื่องปฏิกรณ์ : ไตรเจนจะจ่ายความร้อนเข้าเครื่องปฏิกรณ์โดยเทอร์โมคัพเป็นจุดทำหน้าที่ดูดอุณหภูมิภายในเครื่อง จากนั้นปรับความดันการป้อนแก๊สในไตรเจน

เข้าสู่ระบบสำหรับการไฟโรไลซิส เมื่อครบกำหนดการไฟโรไลซิสจะนำผลิตภัณฑ์ทดสอบโดยความร้อนด้วยเครื่องควบแน่น

## 2.4 คุณสมบัติต่างๆ ที่มีผลต่อการนำไปใช้ปรับปรุงดิน

### 2.4.1 ความเป็นกรด-ด่าง (pH)

ค่าความเป็นกรด-ด่าง (pH) ที่ใช้บอกสภาพความเป็นกรด-ด่าง ของดิน มีผลอย่างมากในการทำให้เกิดการเปลี่ยนแปลงทางเคมีของดิน ทำให้การละลายตัวของธาตุหรือสารต่าง ๆ ในดินออกมานำชนิดอาจมีประโยชน์ บางชนิดก็อาจเป็นพิษกับพืชได้ ซึ่งพิษเติบโตด้วยการดูดซึม (Osmosis) ธาตุอาหารต่าง ๆ ทางราก เพื่อส่งไปเลี้ยงส่วนต่าง ๆ เช่น ถ้าดินเป็นกรดแก่จัด จะทำให้มีธาตุพิษ อลูมิเนียม แมงกานีส และเหล็ก ละลายออกมามากเกินไป จนเกิดเป็นพิษกับพืชที่ปลูกได้ แมงกานีส และเหล็ก ถึงจะเป็นธาตุอาหารพืชที่สำคัญ แต่พิษต้องการในปริมาณน้อยมาก ถ้ามีสะสมอยู่ในดินมากเกินไป ก็จะเกิดเป็นพิษกับพืชได้ โดยดินที่มีค่า pH ต่ำกว่า 4.5 ลงไปมักพบปัญหานี้



ภาพที่ 3 ความสัมพันธ์ระหว่าง ค่า pH กับ การละลายตัวของธาตุอาหารในดิน

ที่มา : Smart Garden (2017)

จากภาพที่ 3 ความสัมพันธ์ระหว่างค่า pH กับการละลายตัวของธาตุอาหารในดิน ธาตุอาหารละลายตัวได้ดี และครบถ้วนในช่วง pH ระหว่าง 6.0 – 7.0 หรือในสภาวะที่ดิน มีสภาพเป็นกรดอ่อน ความเป็นประโยชน์ของธาตุอาหารต่าง ๆ ในดิน ที่พิษจะดูดซึมเอาไปใช้ได้ง่าย ขึ้นอยู่กับสภาพหรือ

ระดับ pH ของดินเป็นอย่างมาก ธาตุอาหารและคงสภาพที่เป็นประโยชน์ต่อพืชได้ง่าย และมีปริมาณมากที่ pH ช่วงหนึ่ง ถ้าดินมี pH ที่ต่ำหรือสูงกว่าช่วงนั้น ๆ ก็จะเปลี่ยนสภาพเป็นรูปที่ยากต่อพืชจะดูดซึมเอาไปใช้ได้ เช่น พอสฟอรัส (P) จะอยู่ในรูปของสารละลายที่พืชนำไปใช้ได้ยาก เมื่อดินมี pH อยู่ระหว่าง 6.0-7.0 ถ้าดินมี pH สูงหรือต่ำกว่าช่วงนี้ ความเป็นประโยชน์ของ พอสฟอรัส ก็ลดน้อยลง เป็นต้น รวมถึงธาตุอาหารพืชพากจุลธาตุ (Micronutrients) เช่น สังกะสี เหล็ก แมงกานีส 硼 ออกซิเจน จะละลายออกมากอยู่ในสภาพที่เป็นประโยชน์ต่อพืชได้ง่าย และพอเพียงกับความต้องการของพืช อีกทั้งยังเกี่ยวข้องกับการทำงานของจุลทรรศ์ต่าง ๆ ในดินด้วย ปกติสารอินทรีย์ต่าง ๆ ในดินจะเน่าเปื่อยผุพัง โดยมีจุลทรรศ์ต่าง ๆ เข้ามาย่อยสลาย ขณะที่สารอินทรีย์กำลังสลายตัว จะปลดปล่อยธาตุอาหารต่าง ๆ ออกมานี้ ซึ่งหากพืชสามารถดูดซึมไปใช้ได้ เมื่อใส่สิ่งปรับปรุงลงในดิน ทำให้พืชออกงานดีขึ้น เพราะจุลทรรศ์เข้ามาย่อย ทำให้สิ่งปรับปรุงดินสลายตัว และปลดปล่อยธาตุอาหารออกมานี้เป็นประโยชน์ต่อพืช เมื่อสรุปความเป็นกรด-ด่างของดินแล้ว ดินที่เหมาะสมสำหรับปลูกพืชควรจะมี pH อยู่ในช่วงเป็นกรดอ่อนถึงเป็นกรดปานกลาง (Garden, 2017)

#### 2.4.2 การนำไฟฟ้า (Electrical conductivity: EC)

การวัดค่าการนำไฟฟ้า (EC) ในสิ่งปรับปรุงดิน บ่งบอกถึงปริมาณเกลือที่ละลายได้ทั้งหมดในน้ำ เนื่องจากสิ่งปรับปรุงดินละลายในน้ำที่ค่าของอิโอน (ion) ที่สามารถให้กระแสไฟฟ้าที่มีหน่วยขนาดเล็กมาก จึงเป็นค่าที่ได้จากการวัดการนำกระแสไฟฟ้าจากพื้นที่หนึ่ง คิวบิกเซนติเมตรของสารอาหาร โดยปกติแล้วควรรักษาค่าการนำไฟฟ้าของสารอาหารระหว่าง 2.0-4.0 มิลลิโนมท์/เซนติเมตร (milliohms/cm) ของความเข้มข้นของสารละลาย (Salt) และความเข้มข้นของสารอาหารควรอยู่ในช่วง 1,000-1,500 ppm เพื่อให้แรงดันออกسمอติกของกระบวนการดูดซึมธาตุอาหารของรากพืชได้สะดวก อีกทั้งค่าการนำไฟฟ้าจะแตกต่างกันไปตามชนิดของพืช ระยะการเติบโต เพราะถ้าหากค่าการนำไฟฟ้าที่สูงอาจจะยับยั้งการเจริญเติบโตของพืช ซึ่งค่าการนำไฟฟ้าที่ต่ำจะเหมาะสมต่อการเจริญเติบโตทางลำต้นก่อนการให้ผล (Vegetative growth) และสูงขึ้นเมื่อพืชให้ผลผลิต (Reproductive growth) (สุนทรีย์, 2553)

#### 2.4.3 ความจุในการแลกเปลี่ยนประจุบวก (Cation Exchange Capacity: CEC)

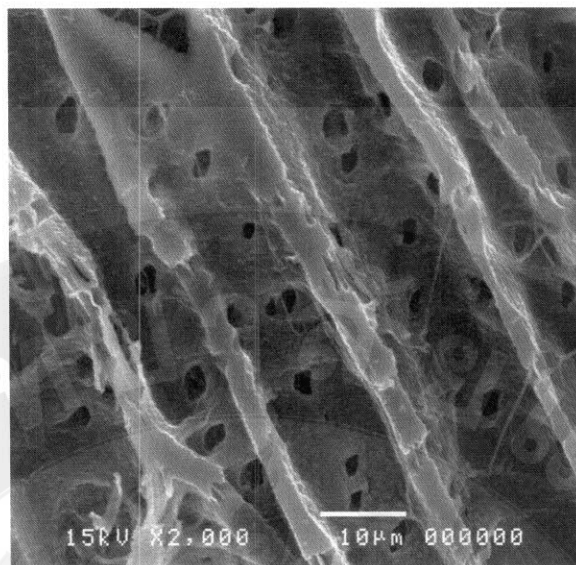
คุณสมบัติการแลกเปลี่ยนประจุบวกนั้น มีความสำคัญอย่างยิ่งในด้านปฐพีวิทยา ธรณีวิทยาและวิชาการสาขาอื่น ๆ ในด้านปฐพีวิทยานั้นจะเกี่ยวข้องกับการดูดซับธาตุอาหารของพืช ในดิน ซึ่งเป็นไอออนบวก (Cation) จะเป็นประโยชน์ที่มีความคงทนต่อการชะล้าง เนื่องจากไอออน

บวกดูดยึดอยู่ที่บริเวณผิวของสิ่งปรับปรุงดิน (Clay micelle) และยังสามารถเป็นประโยชน์ต่อพืชอีกด้วย ทั้งนี้เพราะรากพืชสามารถดึงเอาไออกอนบวกนี้ไปใช้ได้โดยกระบวนการที่เรียกว่า Contact exchange ซึ่งสมบัติทางฟิสิกส์ของดินบางประการ เช่น ความร่วนซุยความเนียนยวาวของดิน ก็เกี่ยวข้องกับการแลกเปลี่ยนประจุบวกเหมือนกัน เป็นต้น (Plaster, 2013)

#### 2.4.4 พื้นที่ผิว (Surface area) รูปรุน (Pore volume) และความสามารถในการดูดซับน้ำ (Water Holding Capacity)

พื้นที่ผิวและรูปรุนที่ผิวใบโอลิยาห์ ซึ่งทำให้ใบโอลิยาห์สามารถเก็บกักน้ำและธาตุอาหารรวมทั้งเป็นที่อยู่ของจุลทรรศน์ที่เป็นประโยชน์ ซึ่งขนาดและปริมาณของความพรุนในใบโอลิยาห์นี้ขึ้นอยู่กับวัสดุที่นำมาเผาและกรรมวิธีการเผา

โดยมักจะใช้วิธีการวิเคราะห์ The Brunauer, Emmett and Teller (BET) การดูดซับทางกายภาพ (physical adsorption หรือ physisorption) หลักการทำงานเกิดจากแรงดึงดูดระหว่างโมเลกุลอย่างอ่อน คือ แรงแวนเตอร์วาลส์ เกิดจากการรวมแรง 2 ชนิดคือ แรงกระจาย (Dispersion force) และแรงไฟฟ้าสถิต (Electrostatics force) ซึ่งเป็นแรงดึงดูดอย่างอ่อน ส่งผลให้เกิดการคาดความร้อนค่อนข้างต่ำ ทำให้เกิดการผันกลับของกระบวนการได้ง่าย นั่นหมายถึงการพื้นฟูสภาพของสารดูดซับก็ทำได้ง่าย เช่นกัน สารที่ถูกดูดซับนั้นสามารถดูดซับเป็นแบบหลายชั้น (Multilayer) ได้โดยในชั้นแรกนั้นสารถูกดูดซับจะถูกดูดซับบนพื้นผิว และชั้นที่สองจะถูกดูดซับบนโมเลกุลของสารที่ถูกดูดซับในชั้นแรก และมีแรงอ่อน ๆ จากพื้นผิวตามระยะที่ห่างจากพื้นผิว โดยจำนวนชั้นจะขึ้นอยู่กับความเข้มข้นของสารถูกดูดซับ สำหรับการดูดซับทางเคมี (Chemical adsorption หรือ Chernisorption) เป็นการดูดซับที่เกิดขึ้นเมื่อสารถูกดูดซับกับตัวดูดซับทำปฏิกิริยา กัน ส่งผลให้เกิด การเปลี่ยนแปลงทางเคมีของตัวดูดซับเต็ม ซึ่งเป็นการสร้างพันธะเคมีระหว่างสารถูกดูดซับกับพื้นผิวของตัวดูดซับ พันธะเคมีเป็นพันธะที่แข็งแรง จึงทำให้มีความร้อนของการดูดซับสูง ทำให้การกำจัดสารถูกดูดซับออกจากพื้นผิวทำได้ยาก และการดูดซับประเภทนี้เป็นการดูดซับแบบชั้นเดียว (macaolayer) เท่านั้น (Central Lab Science TU, 2558)



ภาพที่ 4 ลักษณะของพื้นที่ผิวและรูพรุนที่เกิดในใบอ่อนช้ำ

#### 2.4.5 องค์ประกอบแร่ธาตุหลัก (Micronutrient) และแร่ธาตุโลหะหนัก (Heavy metal)

ธาตุอาหารที่จำเป็นสำหรับการเจริญเติบโตของพืช ซึ่งสามารถถูกจัดได้จากเกณฑ์คือ ถ้าหากพืชขาดสารอาหารนี้แล้ว ทำให้พืชไม่สามารถคงจะชีวิตได้ตามปกติ หรือสารนั้นเป็นส่วนประกอบที่สำคัญของพืชหรือส่วนประกอบของสารตัวกลางในกระบวนการสร้างและสลายของสารนั้นๆ (Metabolite) พืชสามารถรับสารอาหารทางดินได้โดยการแลกเปลี่ยนประจุ โดยที่รากฟอยจะปล่อยประจุไฮโดรเจน ( $H^+$ ) ลงไบในดิน และประจุไฮโดรเจนนี้จะไปแทนที่ไอออนประจุบวกที่อยู่ในดิน (ซึ่งเป็นประจุลบ) จึงทำให้สารอาหารที่อยู่ในรูปประจุบวกสามารถถูกกรากดูดซึมเข้าไปได้ (สารานุกรมเสรี, 2564) โดยแสดงรายละเอียด ดังตารางที่ 1-2

โดยมีเทคนิคการวิเคราะห์พลอยองค์ประกอบแร่ธาตุ แบ่งแยกตามความละเอียดของแต่ละเทคนิค ซึ่งมักนิยมใช้วิธีการนำตัวอย่างมาอย่างวิเคราะห์ด้วยเครื่อง ทั้งหมด 3 แบบ (กองวิจัยมปพ) ดังนี้

- 1) Atomic absorption spectroscopy (AAS) เป็นเทคนิคการวิเคราะห์ธาตุโลหะหนักที่ได้รับความนิยมมากวิธีหนึ่ง เพราะเป็นเทคนิคที่ให้ความเที่ยง ความแม่น มีสภาพความไวสูง สามารถใช้วิเคราะห์ธาตุต่างๆ ได้ถึง 67 ธาตุ โดยมีหลักการคือ การดูดกลืนพลังงานที่มีความยาวคลื่นที่แตกต่างกันของอะตอมของโลหะหนักแต่ละชนิด เมื่อโลหะหนักต่างๆ ที่อยู่ในสารละลายถูกทำให้เป็นอะตอมอิสระ โดยใช้พลังงานความร้อนจากเปลวไฟหรือจากไฟฟ้า อะตอมอิสระเหล่านี้จะถูกพลังงานแสงจากแหล่งกำเนิดแสง (Hollow cathode lamp) ดูดกลืน ซึ่งธาตุโลหะหนักแต่ละตัวจะดูดกลืนแสงได้ดีที่ซึ่งความยาวคลื่นแตกต่างกัน อะตอมของธาตุใดจะดูดกลืนแสงได้ดีที่ความ

ยาวยาคลีน 589 นาโนเมตร ปริมาณของแสงที่ถูกดูดกลืนมากหรือน้อยขึ้นอยู่กับความเข้มข้นของธาตุโลหะหนักนั้นๆ ที่มีสารละลายตัวอย่าง ดังนั้น ความสัมพันธ์ระหว่างปริมาณของแสงที่ถูกดูดกลืนจะเป็นปฏิภาคโดยตรงกับความเข้มข้นของธาตุโลหะหนักที่ดูดกลืนแสงนั้น ซึ่งความเข้มข้นของธาตุโลหะหนัก ในสารละลายตัวอย่างจะหาได้โดยการเทียบกับความเข้มข้นของสารละลายน้ำมาตรฐาน การวิเคราะห์ธาตุโลหะหนัก ด้วยเทคนิค AAS สามารถทำได้หลายวิธี คือ

- Flame Atomization Technique ใช้ในกระบวนการทำให้สารตัวอย่างแตกตัวเป็นอะตอมด้วยเปลวไฟ

- Flameless Atomization Technique ใช้ในกระบวนการทำให้สารตัวอย่างแตกตัวเป็นอะตอมด้วยความร้อนจากกระแสไฟฟ้า (Electro thermal atomizer หรือ graphite furnace)

2) เครื่องวิเคราะห์ ICP-OES (Inductively coupled plasma-optical emission spectrometry) เป็นเครื่องมือวิเคราะห์ที่ทำการตรวจวัดความยาวคลื่นที่อะตอมคายพลังงานออกมารูปแสง สามารถวัดスペกตรัมแสงในช่วงความยาวคลื่นที่ตามองเห็นและช่วงอัลตร้าไวโอเลต (Visible and Ultraviolet Region) โดยใช้หลักการ Atomic Emission, AE คืออะตอมของธาตุแต่ละธาตุประกอบด้วยนิวเคลียร์เป็นศูนย์กลาง โดยมีอิเล็กตรอนอยู่โดยรอบ ถ้ามีการให้พลังงานถ่ายเทเข้าสู่อะตอมจำนวนมาก เช่น การให้พลังงานความร้อน หรือคลื่นแม่เหล็กไฟฟ้าพลังงานสูง เป็นต้น พลังงานเหล่านี้จะกระตุนให้อิเล็กตรอนในอะตอมเปลี่ยนสภาพจากที่เคยอยู่ในสภาพพื้น (Ground State) เข้าสู่ช่วงระดับพลังงานสูง (Excited State) กระบวนการนี้เรียกว่า Atomic Absorption, AA อย่างไรก็ตาม อิเล็กตรอนไม่สามารถอยู่ในระดับสภาพพื้นได้นาน ดังนั้น อิเล็กตรอนจะคายพลังงานออกมามเพื่อกลับเข้าสู่สภาพพื้น หรือกลับเข้าสู่สภาพพลังงานกระตุนระดับต่ำกว่าขบวนการนี้เรียกว่า Atomic Emission, AE ซึ่งจะเกิดขึ้นเร็วมาก ใช้เวลาประมาณหนึ่งในร้อยล้านวินาที พลังงานที่คายออกมานี้จะเป็นรังสีคลื่นแม่เหล็กไฟฟ้าในช่วงスペกตรัมต่างๆ โดยธาตุที่ถูกกระตุนแต่ละชนิดจะปล่อยスペกตรัมที่มีความยาวคลื่นเฉพาะของแต่ละธาตุออกมาน ความเข้มของスペกตรัมจะปรับนั้นตามจำนวนอะตอมที่ดูดพลังงานเข้าไป

3) เครื่องวิเคราะห์ ICP-MS เป็นเครื่องมือที่ โดยใช้ quadrupole หรือ magnetic sector analyzer โดยไอโอนที่เกิดขึ้นเหล่านี้จะมีค่า background ต่ำมาก จึงมี detection limit ที่ต่ำมากกับทุกๆ ธาตุ ซึ่งโดยปกติแล้วจะสามารถวัดได้ถึงระดับไมโครกรัมต่อลิตร ภายใต้การควบคุมสภาพแวดล้อมที่ดี (SVGroup, 2019)

ตารางที่ 1 บทบาทและหน้าที่ขององค์ประกอบแร่ธาตุหลัก

แร่ธาตุหลัก	บทบาทและหน้าที่
ไนโตรเจน (N)	ธาตุที่สำคัญต่อการเจริญเติบโตของพืช โดยเฉพาะในการสร้างกรดอะมิโน (Amino Acids) กรดนิวคลีอิก (Nucleic Acids) โปรตีน และฮอร์โมนชนิดต่าง ๆ รวมไปถึงการมีความเกี่ยวพันโดยตรงต่อกระบวนการสังเคราะห์แสงซึ่งในไนโตรเจนเป็นหนึ่งในองค์ประกอบหลักของคลอโรฟิลล์ (Chlorophyll) ที่ทำให้พืชมีสีเขียว ในสภาวะขาดแคลน : สีของใบเปลี่ยนเป็นสีเหลือง ขนาดของใบเด็กลง ลำต้นแคระแกร็น และมีผลผลิตต่ำ
ฟอสฟอรัส (P)	ธาตุอาหารที่กระตุ้นและเร่งการเจริญเติบโตของรากพืช เป็นธาตุที่ส่งผลต่อการควบคุมการออกดอก ออกผล และการสร้างเม็ดดอ กิทั้ง ยังมีความสำคัญต่อกระบวนการต่าง ๆ ไม่ว่าจะเป็นการสังเคราะห์แสง การกักเก็บและถ่ายโอนพลังงาน และกระบวนการหายใจของพืช ในสภาวะขาดแคลน : ระบบราชของพืชไม่สามารถเจริญเติบโตอย่างสมบูรณ์ ใบแก่จะมีการเปลี่ยนสีจากสีเขียวเป็นสีม่วงแล้วกลับเป็นสีน้ำตาลและหลุดร่วง ลำต้นแคระแกร็น และไม่ผลิตออกออกผล
โพแทสเซียม (K)	ธาตุอาหารที่มีส่วนช่วยในการสังเคราะห์น้ำตาล เป็น โปรตีน ส่งเสริมกระบวนการเคลื่อนย้ายน้ำตาล เป็น และน้ำมัน รวมถึงประสิทธิภาพการใช้น้ำของพืช และการให้ผลผลิต อีกทั้ง ยังช่วยส่งเสริมพืชในการต้านทานโรค และแมลงบางชนิด ในสภาวะขาดแคลน : ลำต้นไม่แข็งแรง การเจริญของดอกและผลไม่สมบูรณ์ ผลผลิตมีคุณภาพต่ำ



ตารางที่ 2 บทบาทและหน้าที่องค์ประกอบแร่ธาตุโลหะหนักที่มีประโยชน์

แร่ธาตุโลหะหนัก	บทบาทและหน้าที่
แมกนีเซียม (Mg)	<ul style="list-style-type: none"> <li>- เสริมสร้างคลอโรฟิลล์ และเพิ่มให้มีสีเขียว</li> <li>- ช่วยในการเคลื่อนย้ายธาตุฟอฟอรัส (P) ได้ดีและเพิ่มธาตุเหล็ก (Fe)</li> <li>- เสริมสร้างให้พืช มีความต้านทานต่อโรคพืชต่าง ๆ</li> </ul>
แคลเซียม (Ca)	<ul style="list-style-type: none"> <li>- ช่วยเสริมสร้างเซลล์ และแบ่งเซลล์ของพืช</li> <li>- ช่วยให้สีเนื้อ สีขาวของผลผลิตใส และป้องกันผลร่วง</li> <li>- ดึงดูดธาตุในโตรเจน พอฟอรัส และโพแทสเซียม ได้อย่างมีประสิทธิภาพ</li> </ul>
ทองแดง (Cu)	<ul style="list-style-type: none"> <li>- ช่วยสร้างสารสีเขียวหรือคลอโรฟิลล์ (เพิ่มโมเลกุลของคลอโรฟิลล์) ป้องกันการถูกทำลายของส่วนสีเขียว รวมทั้งมีส่วนสำคัญในกระบวนการสังเคราะห์แสง</li> <li>- เป็นส่วนประกอบของเย็นไชเม่ในพืช (เร่งปฏิกิริยาของเย็นไชเม่) อันมีผลต่อการหายใจของพืช การเจริญเติบโต การติดตอก ออกผลของพืช (เพิ่มความหวานในผลไม้ เพิ่มกลิ่นในผลไม้และผัก เพิ่มความเข้มของสี)</li> <li>- ช่วยให้พืชดูดธาตุเหล็กที่อยู่ในดินมาใช้ประโยชน์ได้</li> </ul>
สังกะสี (Zn)	<ul style="list-style-type: none"> <li>- สังเคราะห์โปรตีนและน้ำตาล</li> <li>- การเจริญพันธุ์และการเพาะด้วยเมล็ด</li> <li>- มีส่วนช่วยในกระบวนการสังเคราะห์แสง</li> </ul>
เหล็ก (Fe)	<ul style="list-style-type: none"> <li>- การผลิตอาหารของพืช มีบทบาทในการกรະตุนกระบวนการหายใจ</li> <li>- การเจริญเติบโตให้เป็นไปอย่างสมบูรณ์</li> <li>- กระบวนการสังเคราะห์แสงและการทำงานของเอนไซม์ มีผลต่อการเจริญของใบ</li> <li>- ควบคุมกิจกรรมต่าง ๆ ที่เกี่ยวข้องในการนำธาตุเหล็ก (Fe) และไนโตรเจน (N) มาใช้ประโยชน์อีกด้วย</li> </ul>
แมงกานีส (Mn)	<ul style="list-style-type: none"> <li>- ช่วยให้พืชสามารถดูดซึมแคลเซียม (Ca) และไนโตรเจน (N) ได้ดียิ่งขึ้น</li> </ul>



แร่ธาตุโลหะหนัก	บทบาทและหน้าที่
บอรอน (B)	<ul style="list-style-type: none"> <li>- มีส่วนช่วยในการอุดอกรและการฟื้นฟูสมเกรสรของพืช</li> <li>- เคลื่อนย้ายน้ำตามมาสู่ผล การเคลื่อนย้ายไฮดรۆมิโน และการแบ่งเซลล์ของพืชอีกด้วย</li> </ul>

แร่ธาตุโลหะหนักบางชนิด ถ้าหากมีปะปนในสิ่งปรับปรุงดิน หากพืชดูดซึบแร่ธาตุเหล่านี้ไป เมื่อร่างกายของมนุษย์ได้รับ อาจจะส่งผลเสียต่อสุขภาพและการดำเนินชีวิตได้ โดย (Siamchemi, 2561) แสดงรายละเอียด ดังตารางที่ 3

ตารางที่ 3 บทบาทและหน้าที่องค์ประกอบแร่ธาตุโลหะหนักที่ไม่มีประโยชน์

แร่ธาตุหลัก	ผลกระทบของแร่ธาตุ
แคดเมียม (Cd)	<ul style="list-style-type: none"> <li>- เอ็นไซม์หลายชนิดไม่ทำงาน</li> <li>- ระบบย่อย และเผาผลาญสารอาหาร และพลังงาน บกพร่อง</li> <li>- ขัดขวางการสร้างเม็ดเลือดแดง ทำให้เกิดโรคโลหิตจาง</li> <li>- ร่างกายซูบผอม อ่อนเพลีย</li> <li>- ร่างกายหนาสัน และมีไข้</li> <li>- ความดันเลือดสูง</li> <li>- หากร่างกายมีแคดเมียมมากกว่า 15 ppm จะเกิดภาวะ โปรตีนในปัสสาวะสูง</li> <li>- ใต้ทำงานผิดปกติ เกิดภาวะไตวาย</li> <li>- เกิดโรคอีโต-อิโต ทำให้ มีอาการปวดตามข้อตามกระดูก สายตาพร่ามัว ห้องร่วง อาเจียน ตืบวาย และมีโอกาส เสียชีวิตตามมา</li> </ul>
โครเมียม (Cr)	<ul style="list-style-type: none"> <li>- ผิวนังเกิดการอักเสบ</li> <li>- เยื่อบุของอวัยวะภายในต่างๆเกิดการระคายเคือง และถูก ทำลาย</li> <li>- ใต้ ตับ ปอดทำงานผิดปกติ และถูกทำลาย</li> <li>- ระบบหายใจขัดข้อง และล้มเหลวได้ง่าย เสี่ยงต่อการ เสียชีวิตกะทันหัน</li> </ul>



แร่ธาตุหลัก	ผลกระทบของแร่ธาตุ
ตะกั่ว (Pb)	<ul style="list-style-type: none"> <li>- พิษเฉียบพลัน คือ ร่างกายอ่อนเพลีย วิงเวียนศีรษะ อาเจียน กล้ามเนื้อกระตุก</li> <li>- ปวดหัว นอนหลับยาก</li> <li>- พิษเรื้อรัง คือ ทำให้เป็นโรคโลหิตจาง ร่างกายช้ำผอม</li> <li>- ยับยั้งการทำงานของเอนไซม์</li> <li>- ยับยั้งกระบวนการสร้างเม็ดเลือดแดง</li> <li>- กระดูกผุกร่อน</li> <li>- ทำลายระบบเซลล์ประสาท ทำให้สมองบวม และยังบั่นการทำงานของสารเคมีในสมองจนเสี่ยงต่อภาวะความจำเสื่อม และมีอาการทางประสาท</li> <li>- ไตถูกทลาย จนเกิดภาวะไตวาย</li> <li>- ระบบสืบพันธุ์ทำงานผิดปกติ ตัวอสุจิอ่อนแอ และรังไข่ฟื้อง่าย เกิดภาวะเป็นหม้อน้ำ เสี่ยงต่อการมีบุตรยาก</li> <li>- ประจำเดือนมาไม่ปกติ</li> </ul>
ปรอท (Hg)	<ul style="list-style-type: none"> <li>- เกิดอาการปวดห้อง และห้องเสียอย่างรุนแรง</li> <li>- เหงื่อก และต่อมน้ำลายถูกทำลาย มีลักษณะรอยเป็นไฟฟ้า</li> <li>- ระบบประสาทเกิดความผิดปกติ</li> <li>- สายตามัว มองไม่เห็น และอาจทำให้ตาบอด</li> <li>- ทำให้เกิดความจำเสื่อม</li> </ul>
nickel (Ni)	<ul style="list-style-type: none"> <li>- มีอาการคลื่นไส้ ปวดศีรษะ อาเจียน และเจ็บหน้าอก</li> <li>- ร้ายกายอ่อนเพลีย ช้ำผอม</li> <li>- ปอดอักเสบรุนแรง</li> <li>- ซีพจรเดินเร็วผิดปกติ เกิดภาวะความดันเลือดสูง เสี่ยงต่อเส้นเลือดในสมองแตกจนกล้ายเป็นอัมพฤกษ์ อัมพาต</li> <li>- เสี่ยงต่อการเกิดมะเร็ง</li> </ul>

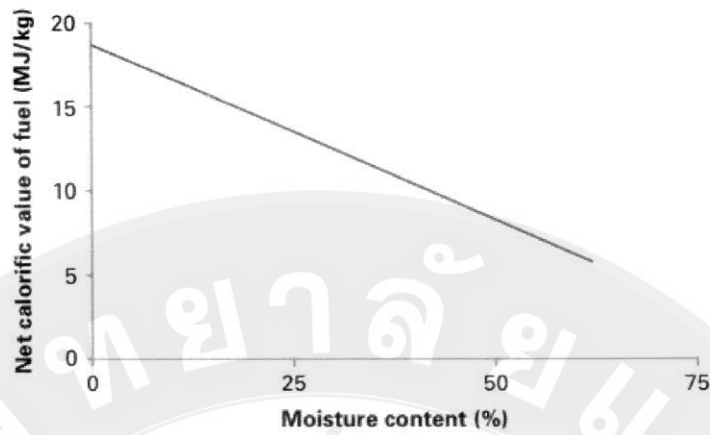


ตารางที่ 4 ปริมาณโลหะหนักของใบโอชาร์ ตามมาตรฐาน IBI และ EBC

มาตรฐาน IBI	มาตรฐาน EBC
<b>Basic grade:</b>	
Pb < 150 mg kg <sup>-1</sup>	As 12-1000 mg kg <sup>-1</sup>
Cd < 1.5 mg kg <sup>-1</sup>	Cd 1.4-39 mg kg <sup>-1</sup>
Cu < 100 mg kg <sup>-1</sup>	Cr 64-1200 mg kg <sup>-1</sup>
Ni < 50 mg kg <sup>-1</sup>	Co 40-150 mg kg <sup>-1</sup>
Hg < 1 mg kg <sup>-1</sup>	Cu 63-150 mg kg <sup>-1</sup>
Zn < 400 mg kg <sup>-1</sup>	Pb 70-500 mg kg <sup>-1</sup>
Cr < 90 mg kg <sup>-1</sup>	Hg 1-17 mg kg <sup>-1</sup>
<b>Premium grade:</b>	Mo 5-20 mg kg <sup>-1</sup>
Pb < 120 mg kg <sup>-1</sup>	Ni 47-600 mg kg <sup>-1</sup>
Cd < 1 mg kg <sup>-1</sup>	Se 2-36 mg kg <sup>-1</sup>
Ni < 30 mg kg <sup>-1</sup>	Zn 200-7000 mg kg <sup>-1</sup>
Cu < 100 mg kg <sup>-1</sup>	Bo Declaration
Hg < 1 mg kg <sup>-1</sup>	Cl Declaration
Zn < 400 mg kg <sup>-1</sup>	Na Declaration
Cr < 80 mg kg <sup>-1</sup>	

#### 2.4.6 ค่าพลังงานความร้อน (Thermal energy)

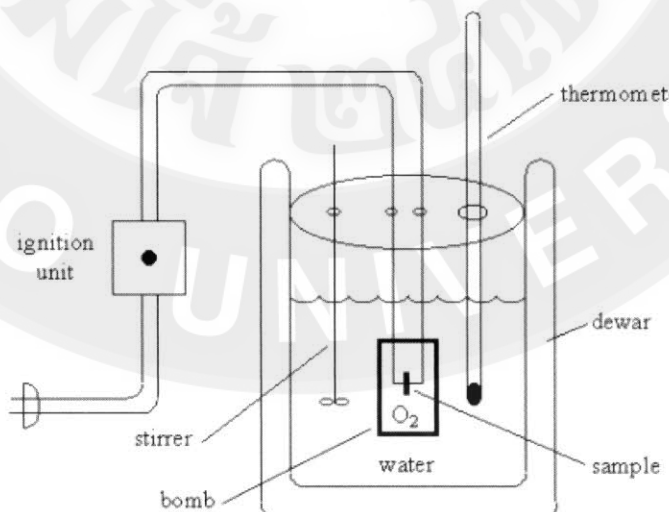
ปริมาณความร้อนที่เกิดจากการเผาไหม้ (Combustion) ของชีวมวลแต่ละชนิด โดยทั่วไปค่าความร้อนจะแสดงในรูปของปริมาณความร้อนต่อหนึ่งหน่วยน้ำหนักหรือหนึ่งหน่วยปริมาตร ยกตัวอย่างเช่น MJ/kg สำหรับของแข็ง MJ/CM (ลูกบาศก์เมตร) สำหรับของเหลว และ MJ/N.CM (ลูกบาศก์เมตรปกติ, Normal Cubic meter) สำหรับก๊าซ (อ้างอิงที่ อุณหภูมิ 0 °C และความดัน 1.01325 bar) เป็นต้น ค่าความร้อนสามารถแบ่งได้ 2 รูปแบบได้แก่ ค่าความร้อนสูงสุด (Higher Heating Value, HHV) และ ค่าความร้อนต่ำ (Lower Heating Value, LHV) โดย HHV เป็นค่าความร้อนสูงสุดของชีวมวลนั้น ๆ เป็นค่าความร้อนที่ปล่อยออกมากจากการเผาไหม้และรวมกับค่าความร้อนแผงของการกลایเป็นไอน้ำของความชื้นที่อยู่ในชีวมวลนั้น ๆ จะนั้นค่า HHV นั้นไม่ขึ้นอยู่กับค่าความชื้นที่อยู่ในชีวมวล ส่วน LHV คือ ค่าความร้อนที่ปล่อยออกมากจากการเผาไหม้ชีวมวล ซึ่งค่าความชื้นจะมีผลโดยตรงกับค่า LHV นี้ (EnergyGuru, 2560)



ภาพที่ 5 ความสัมพันธ์ของค่าความร้อนและค่าความชื้นของชีวมวล

ที่มา: EnergyGuru (2560)

โดยจะใช้วิธีการวิเคราะห์ Bomb calorimeter จะใช้หลักการทำงานของ Direct calorimetry ซึ่งเป็นการวัดปริมาณความร้อนที่ปลดปล่อยออกมายอดอากาศใน ภายใต้สภาวะความสูง (High pressure) จากนั้นให้กระแทกไฟฟ้าเคลื่อนที่ผ่าน Fuse และทำให้เกิดการจุดระเบิด (Ignites) เมื่อจาก Calorimeter จะถูกหุ้มด้วยฉนวนเพื่อป้องหันไม่ให้ความร้อยถ่ายเทออกไปสู่สภาวะแวดล้อม การเพิ่มขึ้นของอุณหภูมิของน้ำทำให้ทราบปริมาณความร้อนที่ปลดปล่อยปริมาณพลังงานความร้อนที่เกิดจากการเผาไหม้ (Heat of combustion) ออกมายในปริมาณที่แตกต่างกัน



ภาพที่ 6 โครงสร้างภายใน Bomb calorimeter

ที่มา: สุนทร สีบค้า (2564)



#### 2.4.7 ความหนาแน่น (Bulk density)

เป็นปัจจัยสำคัญในแง่ของค่าการขันส่งและค่าการเก็บรักษา ความหนาแน่นรวมนั้นเป็นข้อมูลที่สำคัญในการออกแบบขนาดที่เก็บชีวมวลให้เหมาะสมและเพียงพอต่อความต้องการชีวมวลในกระบวนการต่างๆ ชีวมวลบางชนิด เช่น พางข้าวหรือแกลบ จะมีความหนาแน่น้อยจึงมีปัญหาในการขันส่งมาก (EnergyGuru, 2560)

#### 2.4.8 การสมดุลมวลสาร (Mass balance)

การสมดุลมวลสารเป็นการควบคุมกระบวนการต่าง ๆ โดยการทำสมดุลมวลสารจะทำให้ทราบปริมาณวัตถุต่าง ๆ และผลิตภัณฑ์ที่ได้ในกระบวนการไฟโรไอลซิส ซึ่งพื้นฐานในการคำนวณจะใช้หลักของ “กฎการอนุรักษ์มวลสาร (The law of conservation of mass)” กฎนี้กล่าวไว้ว่า “มวลสารของระบบหนึ่ง ๆ จะต้องคงที่เสมอ ไม่ว่าภายในระบบจะเกิดการเปลี่ยนแปลงอย่างไรก็ตาม” กล่าวคือ มวลสารไม่มีวันสูญหาย

$$\text{มวลสารที่ออกจากระบบ} = \text{มวลสารที่เข้าระบบ} - \text{มวลสารที่สะสมในระบบ}$$



## 2.5 งานวิจัยที่เกี่ยวข้อง

ปัจจุบันมีการศึกษาการผลิตใบโอชาาร์เพื่อนำไปใช้ประโยชน์ในหลาย ๆ ด้าน กล่าวคือ ใบโอชาาร์ คือ อนินทรีย์ตถุที่อุดมด้วยสารบอน ที่ใช้เป็นพัลังงานทดแทนในด้านพลังงานได้โดยตรง คุณสมบัติของใบโอชาาร์สามารถถ่ายอย่างสลายได้จากการเผา (Park, Lee et al. 2014) ผลิตได้จาก ชีมวลหลักหลายชนิด เช่น เศษวัสดุเกษตร และเศษไม้ต่างๆ ที่เหลือใช้ เป็นต้น (Lee, Park et al. 2013) โดยผ่านกระบวนการให้ความร้อนด้วยวิธีการไฟฟ้าและแบบช้า ที่อุณหภูมิในช่วง 300-800 องศาเซลเซียส (Lee Park et al, 2013), (Jung Kim et al, 2016) ภายใต้สภาวะการ กำจัดอากาศหรือภายในตู้อบในตอรเจน (Luo Xu et al, 2015) ซึ่งคุณสมบัติที่เหมาะสมในการ นำไปใช้ปรับปรุงดินจะขึ้นอยู่ปัจจัยที่หลักหลายในการผลิต เช่น อุณหภูมิ เวลาการให้ความร้อน และ ชนิดของชีมวล เป็นต้น (Zhang Liu et al, 2015)

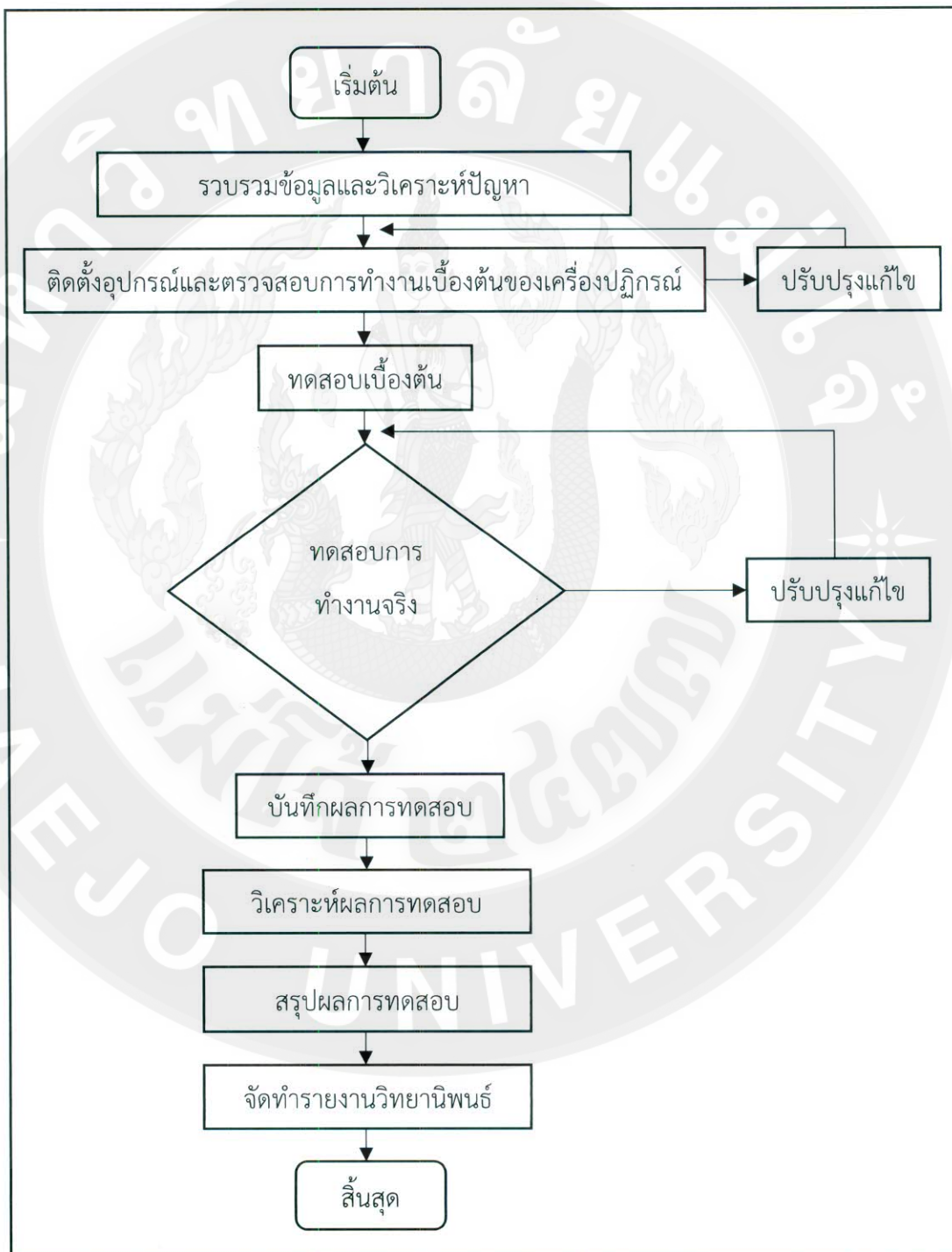
ในด้านปัจจัยหนึ่ง อุณหภูมิในกระบวนการไฟฟ้าและแบบช้า ในช่วง 300-700 องศา เซลเซียส ที่อัตราการให้ความร้อนในช่วง 5-25 องศาเซลเซียส/นาที ภายใต้สภาวะในตอรเจน ( $N_2$ ) ส่งผลให้ใบโอชาาร์เกิดการเปลี่ยนแปลงสมบัติทางฟิสิกส์และเคมี อาทิ โครงสร้างโมเลกุล ส่วนประกอบ และคุณสมบัติ รวมถึงปริมาณที่เปลี่ยนแปลงไป ซึ่งเมื่อเพิ่มอุณหภูมิความร้อนและการรักษาอุณหภูมิ ในช่วง 30 นาที ถึง 4 ชั่วโมง ในการไฟฟ้าและแบบช้า พบว่า ชีมวลเกิดการสลายตัวของกลุ่มเซลลูโลสและ เอมิเซลลู ในช่วงอุณหภูมิ 300-400 องศาเซลเซียส ส่วนอุณหภูมิที่มากกว่า 400 องศาเซลเซียส เป็น การสลายตัวในกลุ่มลิกนิก ส่งผลให้ผลผลิตที่ได้มีปริมาณใบโอชาาร์ลดลง (Jung Kim et al, 2016) รวมถึงคาร์บอน ที่มีปริมาณเพิ่มขึ้น เนื่องจากเกิดการสลายตัวของสารระเหยที่มีอยู่ในชีมวล (Chen Yu et al, 2016), (Biswas Pandey et al, 2017) ความเป็นกรดด่าง ( $pH$ ) มีแนวโน้มเพิ่มสูงขึ้น (Budai, Wang et al. 2014) เกิดจากความร้อนส่งผลให้ค่าความกรดในกลุ่มฟังก์ชัน  $-COOH$  และ  $-OH$  ลดลง (Park Lee et al, 2014) กลุ่มฟังก์ชันคาร์บอนेट ( $CaCO_3$   $MgCO_3$ ) เป็นต้น (Lee Park et al, 2013) หรือกลุ่มแร่ธาตุโลหะหนัก (Si Na K) (Wang Brown et al, 2013) รวมถึงปริมาณเหล้าที่มี ปริมาณเพิ่ม (Claoston Samsuri et al, 2014) จะส่งผลให้ค่าความเป็นด่างเพิ่มขึ้น เช่น กัน ทั้งนี้ ขึ้นอยู่กับโครงสร้างของชนิดวัสดุที่ใช้นำมาใช้ในการผลิตใบโอชาาร์อีกด้วย (Manolikaki Mangolis et al, 2016) มีความสามารถในการแตกเปลี่ยนประจุบวกเพิ่มขึ้น เกิดจากการสูญเสียฟังก์ชันความเป็น กรด (Wu Yang et al, 2012) อย่างไรก็ตาม ก็อาจจะขึ้นอยู่กับวิธีการตรวจสอบและแหล่งที่มาของชีว มวลที่นำมาใช้ในการทดสอบ (Mukherjee Zimmerman et al, 2011), (Munera-Echeverri Martinsen et al, 2018) อีกทั้งยังส่งผลให้พื้นที่ผิวและรูพรุนมีขนาดใหญ่ ด้วยกล้องส่องกราด จุลทรรศน์ด้วยวิธีการ Scanning electron microscopy (SEM) เพื่อดูลักษณะสัณฐานวิทยาของ โครงสร้างภายในใบโอชาาร์ (Shariff Aziz et al, 2016) ซึ่งรูพรุนที่เกิดขึ้นช่วยในการดูดซับน้ำ และ แร่ธาตุอาหารที่พื้นดินต้องการ (กันยาและสิทธิบูรณ์, 2558) โดยจากการศึกษาเหล่านี้เผยแพร่ให้เห็นว่า

คุณสมบัติต่าง ๆ ยังขึ้นอยู่กับส่วนประกอบของชีวมวล ปัจจัยของกระบวนการทดสอบอีกด้วย  
เนื่องจากชีวมวลแต่ละชนิดมีการเปลี่ยนแปลงคุณสมบัติทางเคมีที่แตกต่างกันเมื่อได้รับความร้อนใน  
เวลาไม่เท่ากัน เช่น ซังข้าวโพด (Budai Wang et al, 2014) ไม้ไผ่ (Sun Gao et al, 2014) แกลบ  
และฟางข้าว (Jindo Mizumoto et al, 2014) เป็นต้น



### บทที่ 3 วิธีการวิจัย

#### 3.1 แผนดำเนินงานวิจัย



ภาพที่ 8 แผนการดำเนินงานวิจัย

จากภาพที่ 8 แผนการดำเนินงานวิจัย ได้เริ่มจากการศึกษาปัญหาเชื้อสุดเกษตรที่มีปริมาณมากและรวบรวมวิธีการแก้ไขปัญหา โดยการประยุกต์ใช้เทคโนโลยีใบโอลาร์ด้วยกระบวนการไฟโรไลซิสแบบช้า จากนั้นได้มีการรวบรวมข้อมูลและศึกษากลไกการผลิตใบโอลาร์ เพื่อให้ตรงกับวัตถุประสงค์ของงานวิจัย จากนั้นมีการติดตั้งเครื่องมือและอุปกรณ์ ตรวจเช็คการทำงานของเตาปฏิกรณ์ และได้ทำการทดสอบเบื้องต้น (Pretest) เพื่อที่จะใช้เป็นตัวเลือกหรือเป็นตัวกำหนดตัวแปรและขอบเขตของการศึกษา จากนั้นเมื่อได้ตัวแปรการศึกษาแล้วจะทำการทดสอบการผลิตใบโอลาร์ รวมถึงบันทึกข้อมูล และนำไปวิเคราะห์ผลการทดสอบ อีกทั้งสรุปผลและจัดทำวิทยานิพนธ์

### 3.2 การกำหนดตัวแปรศึกษา

การศึกษาการผลิตใบโอลาร์จากเชื้อสุดเกษตรด้วยกระบวนการไฟโรไลซิสแบบช้า โดยใช้เตาปฏิกรณ์แบบเบดning สำหรับผลิตถ่านชีวภาพด้วยตัวแปรศึกษาที่แตกต่างกัน โดยแสดงรายละเอียดดังตารางที่ 5

ตารางที่ 5 ตัวแปรศึกษาในการผลิตใบโอลาร์

ตัวแปรต้น	ตัวแปรตาม	ตัวแปรควบคุม
1. เชื้อสุดเกษตร 5 ชนิด ได้แก่ แกลบ ซังข้าวโพด เปลือกลำไย เม็ดลำไย และ กะลากาแฟ	1. การห้องค์ประกอบของแร่ ธาตุ (Ultimate) 2. การห้ามกวนกลุ่มสาร (Proximate) 3. ปริมาณผลิตใบโอลาร์ (Yield Product)	1. เตาปฏิกรณ์ประเภทเบดning 2. ใช้กระบวนการไฟโรไลซิส แบบช้าในการผลิตใบโอลาร์
2. อุณหภูมิในการผลิตใบ โอลาร์ ได้แก่ 300 400 500 600 700 องศาเซลเซียส	4. ความเป็นกรด-ด่าง (pH) 5. การนำไฟฟ้า (EC) 6. พลังงานความร้อน (Thermal Energy : HHV/LHV)	3. ศักดิ์สูง ต่อออกซิเจน ( $N_2$ ) 4. อัตราการให้ความร้อน 10 $(\pm 5)$ องศาเซลเซียสต่อนาที
3. การรักษาอุณหภูมิสุดท้าย ของการผลิตใบโอลาร์ ได้แก่ 1 ชั่วโมง และ 2 ชั่วโมง	7. ความจุในการแลกเปลี่ยน ประจุบวก (Cation Exchange Capacity : CEC) 8. พื้นที่ผิว (Surface area) และ ปริมาตรรูพรุน (Pore size)	5. อัตราการให้ความร้อน 100 $(\pm 5)$ มิลลิลิตรต่อนาที

ตัวแปรต้น	ตัวแปรตาม	ตัวแปรควบคุม
	9. องค์ประกอบแร่ธาตุหลัก (Micronutrients) ได้แก่ N P K 10. องค์ประกอบแร่ธาตุโลหะหนัก (Heavy metal) 11. ความสามารถในการดูดซึมน้ำ (Water holding capacity : WHC) 12. ความหนาแน่น (Bulk density) 13. ปริมาณแก๊ส (Volume gas) 14. องค์ประกอบของแก๊ส (Gas composition)	

### 3.3 การผลิตไบโอดาร์ในระดับห้องปฏิบัติการ

#### 3.3.1 เครื่องมือและอุปกรณ์ในการผลิตไบโอดาร์



ภาพที่ 9 กระบวนการผลิตไบโอดาร์ด้วยเครื่องปฏิกรณ์แบบเบตัน



การทำงานของเตาปฏิกรณ์แบบเบดนิ่ง ในการผลิตใบโอชาร์จะใช้พลังงานไฟฟ้าในการจ่ายกระแสไฟฟ้า โดยห้องเผาใหม่ทำจากท่อสแตนเลส S304 ขนาดเส้นผ่านศูนย์กลาง 6 เซนติเมตร ตามมาตรฐาน ASTM เพื่อให้ความร้อนแก่ชีมวลที่อยู่ในห้องเผาใหม่ ที่อุณหภูมิ 300-700 องศาเซลเซียส โดยจะต้องป้อนแก๊สไนโตรเจน ( $N_2$ ) ตลอดเวลาเมื่ออุ่นในกระบวนการผลิต เพื่อไม่ให้เกิดปฏิกิริยาการลอกไหม้จากออกซิเจนของอากาศที่อาจจะเกิดให้หลอดเข้ามาในเตาปฏิกรณ์ ซึ่งในระหว่างที่ชีมวลได้รับความร้อนนั้นจะเกิดสารระเหยออกมารหรือเรียกว่า น้ำมันดิน (Tar) จะเข้าอุปกรณ์ควบแน่นด้วยสารไอโซโพfanอลที่อุณหภูมิเข้าใกล้ -20 องศาเซลเซียส และปริมาณแก๊สที่เกิดขึ้น จะถูกเก็บไว้ในถุงเก็บแก๊ส อีกทั้งเตาปฏิกรณ์มีกำลังการผลิตใบโอชาร์จากชีมวล 20 กรัม ต่อครั้งการทดสอบ ที่ 5-12 กรัม ขึ้นอยู่กับความหนาแน่นของชีมวลที่นำมาใช้ในการทดสอบ

### 3.3.2 ขั้นตอนการทดสอบในการผลิตใบโอชาร์ด้วยกระบวนการไฟโรไลซิสแบบช้า

3.3.2.1 การผลิตใบโอชาร์ด้วยกระบวนการไฟโรไลซิสแบบช้า จากเศษวัสดุเกษตรทั้ง 5 ชนิด ได้แก่ แกลบ ซังข้าวโพด เปลือกลำไย เม็ดลำไย และกะลาかれแฟ ซึ่งใช้ปริมาณของเศษวัสดุเกษตรทั้งหมด ชนิดละ 10-15 กิโลกรัม โดยจะนำชีมวลมาลดความชื้นด้วยตู้อบลมร้อน ที่อุณหภูมิ 105 องศาเซลเซียส ความชื้นของชีมวลก่อนนำไปทดสอบจะต้องมีน้อยกว่าร้อยละ 10 และชีมวลแต่ละชนิด จะต้องมีแหล่งที่มาเดียวกัน ดังนี้

- 1) แกลบ : ได้จากการแปรรูปจากข้าว พันธุ์สันป่าตอง
- 2) ซังข้าวโพด : ได้จากการแปรรูปจากข้าวโพดเลี้ยงสัตว์
- 3) กะลาかれแฟ : ได้จากการแปรรูปกาแฟ พันธุ์ราบิก้า
- 4) เปลือกและเม็ดลำไย : ได้จากการแปรรูปลำไย พันธุ์อีดอ

3.3.2.2 เมื่อลดความชื้นชีมวลแล้ว ซังน้ำหนักชีมวล  $20 \pm 1.0$  กรัม ต่อครั้งในการทดสอบ ใส่ลงในถุงทดสอบ จากนั้นนำเข้าสู่ห้องเผาใหม่ในเตาปฏิกรณ์แบบเบดนิ่ง

3.3.2.3 ติดตั้งชุดทำความสะอาดแก๊สและชุดอุปกรณ์ควบแน่น สำหรับเก็บแก๊สและน้ำมันดินที่เกิดขึ้นในระหว่างกระบวนการเผาใหม่

3.3.2.4 เริ่มทำการทดสอบ ด้วยการตั้งค่าอุณหภูมิเพื่อให้ความร้อน ด้วยเครื่องควบคุมอุณหภูมิ (Temperature Controller) จากอุณหภูมิห้องจนถึงอุณหภูมิ ณ การทดสอบ ซึ่งทำการทดสอบที่อุณหภูมิ 300 400 500 600 และ 700 องศาเซลเซียส โดยอัตราการให้ความร้อน 10 องศาเซลเซียสต่อนาที ภายใต้สภาวะแก๊สไนโตรเจน ( $N_2$ ) ที่อัตราการไหล 100 มิลลิลิตรต่อนาที และรักษาอุณหภูมิที่ 1 ชั่วโมงและ 2 ชั่วโมง

3.3.2.5 หลังการสิ้นสุดกระบวนการให้ความร้อนที่อุณหภูมิ 300 400 500 600 และ 700 องศาเซลเซียส ที่การรักษาอุณหภูมิ 1 ชั่วโมงและ 2 ชั่วโมง ในแต่ละครั้งการทดสอบ จะ

หยุดการทำงานของเตาปฏิกรณ์เพื่อหยุดการจ่ายกระแสไฟฟ้าในการให้ความร้อน และทิ่งเตาปฏิกรณ์ให้เย็นลง ซึ่งขั้นตอนนี้ยังคงป้อนแก๊สในโทรเจนเข้าสู่เตาปฏิกรณ์ ที่อัตราการไหล 100 มิลลิลิตร

3.3.2.6 เมื่อเตาปฏิกรณ์เย็นลง ในห้องเผาไหม้มีอุณหภูมิต่ำกว่า 80 องศาเซลเซียส ปิดแก๊สในโทรเจน และนำใบโوخาร์ออกจากเตาปฏิกรณ์ บางส่วนนำเข้าสู่ตู้อบลมร้อนทันที เพื่อวิเคราะห์หาค่าความชื้นของใบโوخาร์หลังสิ้นสุดกระบวนการไฟโรไอลิสแบบช้า และส่วนที่เหลือนำเก็บบรรจุลงในถุงชิปและกล่องพลาสติก เพื่อใช้สำหรับในการวิเคราะห์คุณสมบัติต่าง ๆ ของใบโوخาร์

3.3.2.7 จากนั้นนำแก๊สที่ได้จากการทดสอบน้ำ份 แก๊สคาร์บอนมอนอกไซด์ (Carbon Monoxide: CO) และแก๊สคาร์บอนไดออกไซด์ (Carbon dioxide: CO<sub>2</sub>) โดยแก๊สที่ได้จะประกอบด้วย 2 ส่วน คือ ช่วงของการผลิตใบโوخาร์ และช่วงของการทิ่งเตาปฏิกรณ์เย็นลง

3.3.2.8 จากนั้นทำการทดสอบการผลิตใบโوخาร์ช้า จำนวน 3 ครั้งการทดสอบ และขนาดของเตาปฏิกรณ์มีขนาดเล็ก ทำให้มีการผลิตใบโوخาร์จำนวนมาก เพื่อให้มีปริมาณเพียงพอต่อการนำไปวิเคราะห์คุณสมบัติ ฯ โดยคุณสมบัติที่ได้จากการผลิตนี้ มีผลไม่แตกต่างกันมากที่สภาวะการผลิตเดียวกัน เนื่องจากเตาปฏิกรณ์มีขนาดเล็ก มีประสิทธิภาพในการผลิตสูง สามารถควบคุมอุณหภูมิ และอัตราป้อนแก๊สได้ ซึ่งการผลิตใบโوخาร์แต่ละครั้งการทดสอบจะมีอุณหภูมิและอัตราการป้อนอากาศ ที่แตกต่างกันไม่เกิน ( $\pm 3$ )

### 3.4 การวิเคราะห์คุณสมบัติต่าง ๆ ของใบโوخาร์

#### 3.4.1 การวิเคราะห์ปริมาณใบโوخาร์ (Yield Biochar)

ปริมาณใบโوخาร์ที่ได้จากการทดสอบการไฟโรไอลิสแบบช้า ซึ่งเกิดจากการกระบวนการเผาไหม้โดยมีการสูญเสียน้ำหนักของชีมวลและเกิดการระเหยสารต่าง ๆ ในระหว่างการผลิตใบโوخาร์ โดยคำนวณได้จากสมการ...(2)

$$Y_{\text{Biochar}} (\%) = [M_{\text{biochar}} (\text{g}) / M_{\text{Biomass}} (\text{g})] \times 100 \quad \dots(2)$$

เมื่อ  $Y_{\text{Biochar}} (\%)$  คือ ปริมาณโดยน้ำหนักของใบโوخาร์

$M_{\text{Biochar}}$  คือ น้ำหนักของใบโوخาร์ที่ได้จากการผลิต (กรัม)

$M_{\text{Biomass}}$  คือ น้ำหนักของชีมวลก่อนการทดสอบ (กรัม)



### 3.4.2 การวิเคราะห์ค่าความชื้น (Water content)

ค่าความชื้นของไบโอดาร์ ทำการวิเคราะห์ด้วยมาตรฐาน ASTM D1762-84 โดยการนำไบโอดาร์ที่ได้หลังสิ้นสุดกระบวนการไฟโรแลซิส ชั่งน้ำหนัก  $5 \pm 0.01$  กรัม และนำไปลดความชื้นด้วยเครื่องอบลมร้อน (Hot air oven) ที่อุณหภูมิ 105 องศาเซลเซียส เป็นเวลา 2 ชั่วโมง จากนั้นคำนวณด้วยสมการ...(3)

$$\text{Water content (\%wt)} = [(M_{\text{Biochar},B} - M_{\text{Biochar},A})/M_{\text{Biochar},A}] \times 100 \quad \dots(3)$$

เมื่อ	Water content (%wt)	คือ	ค่าความชื้นของไบโอดาร์
$M_{\text{Biochar},B}$	คือ	น้ำหนักของไบโอดาร์ก่อนลดความชื้น (กรัม)	
$M_{\text{Biochar},A}$	คือ	น้ำหนักของไบโอดาร์หลังลดความชื้น (กรัม)	

### 3.4.3 การวิเคราะห์องค์ประกอบแร่ธาตุ (Ultimate) และปริมาณกลุ่มสาร (Proximate)

การวิเคราะห์ทางองค์ประกอบแร่ธาตุ (Ultimate) เป็นการหาแร่ธาตุแยกแต่ละชนิดในชีมวลและไบโอดาร์ เพื่อใช้ในการเปรียบเทียบคุณสมบัติชีมวลและไบโอดาร์เมื่อได้กับความร้อนที่สภาวะแตกต่างกัน โดยวิเคราะห์แร่ธาตุคาร์บอน (C) ไฮโดรเจน (H) ในไตรเจน (N) มาตรฐาน ASTM D 5373-16 (2016) ออกซิเจน (O) มาตรฐาน ISO 16993 (2015) ชัลเฟอร์หรือกำมะถัน (S) มาตรฐาน ASTM D4239-17 สำหรับวิเคราะห์สัดส่วน O/C H/C และ C/N ร่วมด้วย

การวิเคราะห์ทางปริมาณกลุ่มสาร (Proximate) เป็นการวิเคราะห์สำหรับปริมาณความชื้น (Water content) มาตรฐาน ISO 18134-3 (2015) ปริมาณระเหย (Volatile matter) มาตรฐาน ISO 18123 (2015) ปริมาณเถ้า (Ash) มาตรฐาน ISO 18122 (2015) และปริมาณคาร์บอนคงที่ (Fixed carbon) ด้วยวิธีการคำนวณจากสัดส่วนของปริมาณกลุ่มสารอื่น ๆ ซึ่งการวิเคราะห์นี้เพื่อใช้ในการเปรียบเทียบคุณสมบัติที่แตกต่างกันระหว่างชีมวลและไบโอดาร์เมื่อได้กับความร้อนที่สภาวะแตกต่างกัน

### 3.4.4 การวิเคราะห์ความเป็นกรดด่าง (pH)

ค่าความเป็นกรดด่าง (pH) ของไบโอดาร์ ทำการวิเคราะห์ด้วยมาตรฐาน EBC (DIN ISO 10390) ในอัตราการส่วน 1:5 (v:v) โดยมีวิธีการวิเคราะห์ดังนี้

- 1) นำใบโ้อชาร์บดย่อยอย่างละเอียด และนำไปลดความชื้นด้วยเครื่องอบลมร้อน ที่อุณหภูมิ 105 องศาเซลเซียส เป็นเวลา 2 ชั่วโมง จากนั้นนำไปต่วงด้วยบีกเกอร์ ให้ได้ปริมาตร 5 มิลลิลิตร
- 2) ซึ่งสารแคลเซียมคลอไรด์ ( $\text{CaCl}_2$ ) ที่ 0.01 มอล ต่อน้ำกลั่น 1 ลิตร เพื่อใช้เป็นสารละลายในการวิเคราะห์ความเป็นกรดด่าง ( $\text{pH}$ ) ของใบโ้อชาร์
- 3) นำใบโ้อชาร์ปริมาตร 5 มิลลิลิตร เทพสมกับสารละลายแคลเซียมคลอไรด์ ปริมาตร 25 มิลลิลิตร จากนั้นนำไปเขย่าด้วยเครื่องเขย่า ที่ความเร็วรอบ 180 รอบต่อนาที เป็นเวลา 1 ชั่วโมง
- 4) เมื่อเขย่าครบตามเวลาที่กำหนด นำใบโ้อชาร์ที่ผสมกับสารละลายแคลเซียมคลอไรด์ เทออกมารองด้วยกระดาษกรองเบอร์ 1 เพื่อป้องกันใบโ้อชาร์หลุดติดเข้าไปในเครื่อง จากนั้นวัดค่าความเป็นกรดด่าง ( $\text{pH}$ ) ด้วยเครื่อง PC450/EUTECH และบันทึกผลดังค่าที่แสดงบนหน้าจอ

### 3.4.5 การวิเคราะห์การนำไฟฟ้า (Electrical conductivity: EC)

การนำไฟฟ้า (EC) ของใบโ้อชาร์ ทำการวิเคราะห์ด้วยมาตรฐาน EBC (DIN ISO 10390) ในอัตราการส่วน 1:10 (v:v) โดยมีวิธีการวิเคราะห์ดังนี้

- 1) นำใบโ้อชาร์บดย่อยอย่างละเอียด และนำไปลดความชื้นด้วยเครื่องอบลมร้อน ที่อุณหภูมิ 105 องศาเซลเซียส เป็นเวลา 2 ชั่วโมง จากนั้นนำไปต่วงด้วยบีกเกอร์ ให้ได้ปริมาตร 5 มิลลิลิตร
- 2) นำใบโ้อชาร์ปริมาตร 5 มิลลิลิตร เทพสมกับน้ำกลั่น ปริมาตร 50 มิลลิลิตร จากนั้นนำไปเขย่าด้วยเครื่องเขย่า ที่ความเร็วรอบ 180 รอบต่อนาที เป็นเวลา 1 ชั่วโมง
- 4) เมื่อเขย่าครบตามเวลาที่กำหนด นำใบโ้อชาร์ที่ผสมกับน้ำกลั่น เทออกมารองด้วยกระดาษกรองเบอร์ 1 เพื่อป้องกันใบโ้อชาร์หลุดติดเข้าไปในเครื่อง จากนั้นวัดค่าการนำไฟฟ้า (EC) ด้วยเครื่อง PC450/EUTECH และบันทึกผลดังค่าที่แสดงบนหน้าจอ

### 3.4.6 การวิเคราะห์พลังงานความร้อน (Thermal energy)

การวิเคราะห์พลังงานความร้อน ที่เกิดขึ้นในใบโ้อชาร์ด้วยวิธีการ Bomb calorimeter โดยวิเคราะห์ด้วยเครื่องทางเทคนิคโดยเฉพาะ ซึ่งแสดงรายละเอียดการวิเคราะห์ดังนี้

#### 3.4.6.1 การเตรียมตัวอย่าง

- 1) บดย่อยตัวอย่างให้ละเอียดมีลักษณะเป็นผง จากนั้นซึ่งตัวอย่างให้มีน้ำหนักประมาณ 1 กรัม และอัดให้เป็น pellet โดยใช้เครื่อง pellet press

2) นำตัวอย่างที่จะบรรจุในลูกบอมป์มาวางในที่วางของ Bomb head ตัด lead wire ยาว 10 เซนติเมตร นำไปสอนใน eyelet โดยเลื่อน cap ขึ้นเมื่อสอดเสร็จแล้วทิ้งสองข้าง และดึง cap ลง

3) นำ bomb head ใส่ใน oxygen bomb และปิดฝา

4) เติมออกซิเจนใน bomb โดยการเปิดวาล์วของถังออกซิเจน ตั้ง pressure gauge ไว้ที่ 450 psi จากนั้นกด O2 Fill key เครื่องจะทำการออกซิเจนอัตโนมัติ โดยใช้เวลาประมาณ 60 นาที

5) เติมน้ำลงในระบบอัคสแตนเลส (Bucket) ประมาณ 2000 มิลลิลิตร และนำเข้าเครื่อง bomb จากนั้นให้เครื่องเริ่มทำงานวิเคราะห์

6) เมื่อเครื่องทำงานเสร็จ นำ Oxygen bomb ออกมายังเก๊อก และนำฝา bomb head ออกมาราว เพื่อวัดความขาวของชด漉วต์ที่เหลือจากการเผาไหม้ และคำนวณพลังงานความร้อน

### 3.4.7 การวิเคราะห์ความสามารถในการแลกเปลี่ยนประจุบวก (Cation Exchange Capacity: CEC)

การวิเคราะห์ค่า CEC เป็นการพิจารณาประจุออกอนบวกที่จากการแยกสารออกจากตัวอย่างด้วย  $\text{NH}_4^+$  (Holmgren, Juve et al. 1977) ซึ่งเป็นการวิเคราะห์ออกอนบวกในกลุ่ม  $\text{Ca}^{2+}$ ,  $\text{Mg}^{2+}$ ,  $\text{K}^+$  และ  $\text{Na}^+$  ที่สกัดได้จาก  $\text{NH}_4\text{OA}_c$  ด้วยเอทานอลหรือไฮโดรฟานอล ที่ pH 7

#### 3.4.7.1 ขั้นตอนในการเตรียมการทดลอง

การจัดเตรียมห้องและอุปกรณ์ ทำความสะอาดอุปกรณ์ เครื่องสกัดชีวมวล และห้องปฏิบัติการด้วยน้ำยาทำความสะอาด จากนั้นทำความสะอาดด้วยน้ำปราศจากไออกอน (DIW) ซึ่งหลังทำความสะอาดอุปกรณ์ต่าง ๆ แล้วแช่ด้วยกรด อย่างน้อย 1 ชั่วโมง ทำมาล้างด้วยน้ำ DIW อีกหลาย ๆ ครั้ง และอบแห้งอุปกรณ์ที่อุณหภูมิ 105 องศาเซลเซียส

การเตรียมใบโอชา นำไปโอชา ขนาด 0.5-2 มิลลิเมตร และนำไปปรุงด้วยตะแกรง เพื่อให้ใบโอชา มีขนาดเป็นไปตามวิธีการทดสอบ

#### 3.4.7.2 การวิเคราะห์ค่า CEC ด้วย ด้วย $\text{NH}_4\text{OA}_c$ 1 N pH 7

1) ชั่งน้ำหนักตัวอย่าง  $1 \pm 0.05$  กรัม (บันทึกน้ำหนักที่แน่นอน) ใส่ลงใน centrifuge tubes ขนาด 50 มิลลิลิตร เติมสารละลายน้ำ  $1 \text{ N } \text{NH}_4\text{OA}_c$  1 N pH 7 ลงไป 40 มิลลิลิตร ปิดจุกเขย่าให้สารละลายด้วยเครื่อง horizontal shaker 15 ชั่วโมง

2) ทำการตั้ง Buchner funnel กับ Vacuum flask และเครื่อง Suction จากนั้นนำกระดาษกรองเบอร์ 42 (ใช้กระดาษกรองให้มีขนาดพอดีกับ Buchner funnel) ทำการซักกระดาษกรองด้วยน้ำ DIW (20 มิลลิลิตร) เทสารละลายทิ้ง

3) นำตัวอย่างออกจาก centrifuge tubes โดยการเทลงใน Buchner funnel นำ  $\text{NH}_4\text{OAc}$  10 มิลลิลิตร ชัตัวอย่างที่ติดบริเวณหลอด centrifuge tubes การล้างล้างต้องใช้เวลาไม่น้อยกว่า 2 ชั่วโมง โดยการปรับแรงดูดให้พอเหมาะสม

4) จากนั้นจะตัวอย่างด้วยสารละลาย  $\text{NH}_4\text{OAc}$  จำนวน 50 มิลลิลิตร เทประมาณ 25 มิลลิลิตรต่อครั้ง โดยค่อยๆเติมลงไปหลังจากสารละลาย  $\text{NH}_4\text{OAc}$  ใน Buchner funnel ลดลง จนเห็นตัวอย่างโผล่ออกมา ระวังอย่าให้ตัวอย่างแห้ง จากนั้nl้างเอาส่วนของ  $\text{NH}_4\text{OAc}$  ที่เหลืออยู่ตามช่องว่างดินออกให้หมดโดยการซักล้างด้วย ethyl alcohol จำนวน 10 มล. จำนวน 3 ครั้ง

5) จากนั้นนำตัวอย่างใน Buchner funnel ไปแข็งด้วย KCl 2M ใน Erlenmeyer flask จำนวน 50 มล. เป็นเวลา 15 ชั่วโมง

6) ทำการตั้ง Buchner funnel กับ Vacuum flask และเครื่อง Suction จากนั้นนำกระดาษกรองเบอร์ 42 (ใช้กระดาษกรองให้มีขนาดพอดีกับ Buchner funnel) ทำการซักกระดาษกรองด้วยน้ำ DIW (20 มิลลิลิตร) เทสารละลายทิ้ง

7) นำตัวอย่างจากข้อ 5 มาสกัดโดยการเทลงใน Buchner funnel นำ KCl 2M จำนวน 40 มิลลิลิตร ชัตัวอย่างที่ติดบริเวณ Erlenmeyer flask

8) เทสารละลายทั้งหมดใน Suction flask ลงสู่ volumetric flask แล้วปรับปริมาตรให้ได้ 100 มล. ด้วย KCl 2M พร้อมที่จะนำไปวิเคราะห์ในขั้นตอนต่อไป

### 3.4.7.3 การกลั่นและวิเคราะห์หาปริมาณ $\text{NH}_4^+$

1) ดูดสารละลายออกมา 50 มล. ใส่ลงในหลอดกลั่นของเครื่องกลั่นหาในไตรเจน

2) เติม 10 N NaOH ลงไปประมาณ 40 มิลลิลิตร จากนั้นนำไปกลั่น เมื่อสารละลายที่กลั่นผสมกับสารละลาย  $\text{H}_3\text{BO}_3$  จำนวน 10 มิลลิลิตร เก็บปริมาตรสารละลายใน Flask  $\text{H}_3\text{BO}_3$  ให้ได้ประมาณ 50 มิลลิลิตร แล้วนำไปวิเคราะห์หาปริมาณ  $\text{NH}_3$  ในสารละลาย  $\text{H}_3\text{BO}_3$

3) ให้เทรتكับ HCl ความเข้มข้น 0.05 N ให้สีของสารละลายกลับจากสีเขียวเป็นสีม่วงปนแดง ทำการบันทึกปริมาตรของกรดที่ใช้ไว

4) ทำ Blank ควบคู่ไปกับตัวอย่างด้วย โดยใช้สารละลาย KCl และจากนั้นทำการคำนวณ ดังสมการ... (4)

$$\text{สูตร} \quad CEC = (A-B) \times C \times T/Q \times 100/W \quad \dots(4)$$

เมื่อ	A	=	ปริมาตรกรดที่ใช้ไหเทเรต
	B	=	ปริมาตรกรดที่ใช้กับ Blank
	C	=	ความเข้มข้นของกรดที่ใช้ไหเทเรต
	T	=	ปริมาตรของสารละลายที่ใช้สกัดออกมากทั้งหมด
	Q	=	ปริมาตรของสารละลายที่นำมากลั่นหา $\text{NH}_4^+$
	W	=	น้ำหนักของตัวอย่างที่ใช้

### 3.4.8 การวิเคราะห์พื้นที่ผิว (Surface area) และรูพรุน (Pore volume)

การวิเคราะห์พื้นที่ผิวและรูพรุน จะวิเคราะห์ด้วยวิธีการใช้กล้องจุลทรรศน์อิเล็กตรอนแบบส่องกราด (Scanning Electron Microscope: SEM) ด้วยกำลังไฟฟ้า 15 kV เคลือบด้วยแผ่นทองเพื่อศึกษาพื้นที่ผิวในลักษณะสัณฐานวิทยา รายละเอียดของลักษณะพื้นที่ผิว และการเรียงตัวของผลึก ด้วยระบบการรับสัญญาณเลี้ยวเบนของอิเล็กตรอน สำหรับใช้เทียบผลการวิเคราะห์พื้นที่ผิวและรูพรุน ด้วยวิธีการ BET โดยอาศัยเทคนิคการแทนที่พื้นที่ผิวและรูพรุน ด้วยการดูดซับแก๊สในไตรเจน ( $\text{N}_2$ ) ที่อุณหภูมิ 120 องศาเซลเซียส จากเครื่อง Model Autosorb 1 MP, ยี่ห้อ Quantachrome

### 3.4.9 การวิเคราะห์องค์ประกอบแร่ธาตุหลัก (Micronutrients) และแร่ธาตุโลหะหนัก (Heavy metal)

การวิเคราะห์แร่ธาตุหลัก (Micronutrients) เป็นการวิเคราะห์องค์ประกอบแร่ธาตุในไตรเจน (N) พอสฟอรัส (P) และโพแทสเซียม (K) ด้วยวิธีการตามมาตรฐาน AOAC และ OMAF เพื่อใช้ในการเปรียบเทียบคุณสมบัติของต่างๆ ของชีวมวลและใบโอcharc ที่ได้จากการผลิต โดยผลการทดสอบเปรียบกับมาตรฐานของใบโอcharc EBC และ IBI แสดงรายละเอียด ดังตารางที่ 6

การวิเคราะห์แร่ธาตุโลหะหนัก (Heavy metal) เป็นการวิเคราะห์องค์ประกอบแร่ธาตุโลหะทั้งหมด 15 แร่ธาตุ ดังตารางที่ 6

ตารางที่ 6 องค์ประกอบแร่ธาตุโลหะหนัก

ลำดับที่	แร่ธาตุโลหะหนัก
1	แมกนีเซียม (Mg)
2	แคลเซียม (Ca)
3	ตะกั่ว (Pb)
4	แคดเมียม (Cd)
5	ทองแดง (Cu)
6	nickel (Ni)
7	ปรอท (Hg)
8	สังกะสี (Zn)
9	โครเมียม (Cr)
10	เหล็ก (Fe)
11	แมงกานีส (Mn)
12	สารหนู (As)
13	โคโรบล็อกซ์ (Co)
14	ชีลีเนียม (Se)
15	ไบرون (B)

การวิเคราะห์องค์ประกอบแร่ธาตุโลหะหนัก จะใช้วิธีการตามมาตรฐาน IBI ด้วยเครื่องวิเคราะห์ ICP-OES ซึ่งใช้เครื่องมือแบบชุด Kit standard เพื่อให้วิเคราะห์มีรูปแบบเดียวกันโดยประกอบไปด้วย 2 วิธีการ คือ การวิเคราะห์โลหะหนักในชีมวล และการวิเคราะห์โลหะหนักในใบโอบาร์

1) การเตรียมตัวอย่าง การวิเคราะห์โลหะหนักของชีมวลและใบโอบาร์ บดย่อยตัวอย่างให้มีลักษณะเป็นผงละเอียด นำไปอบแห้งที่อุณหภูมิ 105 องศาเซลเซียส เป็นเวลา 2 ชั่วโมง เพื่อลดความชื้น จากนั้นนำไปซึ่งให้ได้ปริมาณ  $0.2 \pm 0.050$  กรัม และนำไปใส่ในขวดเวกซ์เลล ที่มีกรด Nitric acid 65% ในปริมาตร 10 มิลลิลิตร และ  $H_2O_2$  ในปริมาตร 2 มิลลิลิตร ทิ้งไว้ 30 นาที เพื่อให้กรดได้ทำปฏิกิริยากับตัวอย่าง

2) การย่อยตัวอย่าง เมื่อกรดทำปฏิกิริยากับตัวอย่างครบ 30 นาที ปิดขวดเวกซ์เลล เพราะจะได้ความดันที่สูงและลดการปนเปื้อนของสารอื่น ๆ รวมถึงช่วยลดการระเหยของสารที่ต้องการวิเคราะห์ จากนั้นนำไปย่อยด้วยเครื่อง Microwave digestion ซึ่งการตั้งอุณหภูมิในการให้



ความร้อนของการย่อยชีมวล แสดงดังในตารางที่ 7 และการย่อยใบโอบาร์ แสดงดังในตารางที่ 8 หลังสิ้นสุดกระบวนการย่อยตัวอย่างแล้ว ทิ้งไว้ประมาณ 15 นาที ให้สารเย็นแล้วทำการองค์วิเคราะห์กรองและปรับปริมาตร ด้วยน้ำปราศจากไออกอน ที่ปริมาตร 50 มิลลิลิตร

ตารางที่ 7 การตั้งค่าอุณหภูมิในโปรแกรมการย่อยด้วยเครื่อง Topwave ของชีมวล

Step	Temp °C	Pressure (bar)	Ramp (min)	Time (min)	Power %
1	160	40	10	15	70
2	180	40	5	15	90
3	50	40	1	10	0
4	50	40	1	10	0
5	50	40	1	10	0

ตารางที่ 8 การตั้งค่าอุณหภูมิในโปรแกรมการย่อยด้วยเครื่อง Topwave ของใบโอบาร์

Step	Temp °C	Pressure (bar)	Ramp (min)	Time (min)	Power %
1	160	40	10	5	90
2	200	40	5	20	90
3	210	40	5	25	100
4	50	40	1	10	0
5	50	40	1	10	0

3) นำสารตัวอย่างที่ได้จากการย่อย ไปวิเคราะห์ด้วยเครื่อง ICP-OES จากการตรวจวัดความยาวคลื่นที่อัตโนมัติ ที่อุปกรณ์ชุดมาตรฐาน (Standard kit) ดังแสดงในตารางที่ 9 จากนั้นจะทำการวิเคราะห์ด้วยโปรแกรม และบันทึกผลองค์ประกอบแร่ธาตุต่าง ๆ ที่แสดงบนหน้าจอ

ตารางที่ 9 การกำหนดค่าพลาสม่าในการวิเคราะห์แร่ธาตุโลหะหนักด้วยเครื่อง ICP-OES

Parameter	Specification
RF Power	1200 W
Plasma Gas Flow	12 L/min
Nebulizer Gas Flow	0.5 L/min
Auxiliary Gas Flow	0.5 L/min
Nebulizer	Concentric Nebulizer ( borosilicate , 1.0 mL/min)
Spray Chamber	Cyclonic spray chamber, 50 mL, Borosilicate
Injector	Quartz, 2 mm
Outer Tube/Inner Tube	Quartz/Quartz
Pump tubing	PVC
Sample Pump Rate	1.0 mL/min
Rinse/Read delay	45 s

### 3.4.10 การวิเคราะห์ความสามารถในการดูดซับน้ำ (Water holding capacity: WHC)

การวิเคราะห์ความสามารถในการดูดซับน้ำหรือการอุ้มน้ำ จะทำการวิเคราะห์ด้วยวิธีมาตรฐาน EBC (E DIN ISO 14238) โดยเอาตัวอย่างมาบดย่อยให้มีขนาดเล็กกว่า 0.05 มิลลิเมตร นำไปทดสอบความชื้นด้วยเครื่องอบลมร้อน ที่อุณหภูมิ 105 องศาเซลเซียส เป็นเวลาอย่างน้อย 12 ชั่วโมง จากนั้นนำตัวอย่างออกมาซึ่งให้ได้ปริมาณ  $5 \pm 0.1$  กรัม และเทลงในน้ำปริมาตร 100 มิลลิลิตรที่บรรจุในบีกเกอร์ ทิ้งให้ตัวอย่างแช่อยู่ในน้ำ เป็นเวลา 6 ชั่วโมง เมื่อครบตามเวลาที่กำหนด นำไปอุ่นที่แท่นอบก่อนดึงขึ้นและน้ำจะซึมน้ำได้ประมาณ 2 ชั่วโมง จากนั้นบันทึกผลน้ำหนักและคำนวณความสามารถในการดูดซับน้ำ ได้ดังสมการที่ ... (5)

$$\text{WHC} (\% \text{wt}) = \frac{((m_S - m_T - m_D)/m_D)}{m_D} \times 100 \quad \dots(5)$$

เมื่อ  $m_S$  คือ ความสามารถในการดูดซับน้ำ

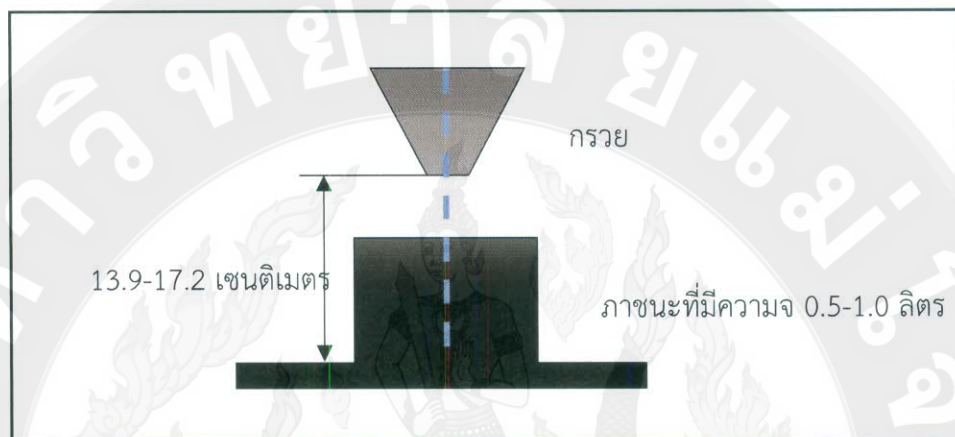
$m_S$  คือ น้ำหนักก่อนอบ (กรัม)

$m_T$  คือ น้ำหนักถ้าวิชั่นและกระดาษกรองแห้ง (กรัม)

$m_D$  คือ น้ำหนักก่อนอบ (กรัม)

### 3.4.11 การวิเคราะห์ค่าความหนาแน่น (Bulk density)

การหาค่าความหนาแน่น (Bulk density) เป็นการวิเคราะห์เพื่อศึกษาสัมพันธ์ระหว่างมวลต่อปริมาตร โดยใช้วิธีตามมาตรฐาน DIN 51705 ซึ่งวิธีการทดสอบเป็นการปล่อยตัวอย่างที่ความสูง 13.9-17.2 เซนติเมตร ลงในภาชนะที่มีความจุ ระหว่าง 0.5-1.0 ลิตร จากนั้นนำมาคำนวณหาค่าความหนาแน่นดังสมการที่ ... (6)



ภาพที่ 10 การทดสอบความหนาแน่น

$$\rho = m/v$$

...(6)

เมื่อ	$\rho$ ( $\text{kg}/\text{m}^3$ )	คือ	ความหนาแน่น
	$m$	คือ	น้ำหนักของใบโอลชาร์ (กิโลกรัม: kg)
	$v$	คือ	ปริมาตรภาชนะ (ลูกบาศก์เมตร: $\text{m}^3$ )

## บทที่ 4

### ผลการวิจัยและวิจารณ์

งานวิจัยการผลิตไบโอดาร์จากเศษวัสดุเกษตร 5 ชนิด ได้แก่ แกลบ ซังข้าวโพด เปลือกจำไย เม็ดจำไย และกะลา ก้าแฟ ด้วยกระบวนการไฟโรไลซิสแบบช้าในระดับห้องปฏิบัติการ ที่อุณหภูมิในการผลิต 300 400 500 600 และ 700 องศาเซลเซียส ด้วยอัตราการให้ความร้อน 10 องศาเซลเซียส ต่อนาที และการรักษาอุณหภูมิที่ 1 ชั่วโมง และ 2 ชั่วโมง ภายใต้สภาวะแก๊สไนโตรเจน ที่อัตราการให้เหล็ก 100 มิลลิตรต่อนาที โดยเปรียบเทียบคุณสมบัติของต่าง ๆ ของไบโอดาร์ ไบโอดาร์จากงานวิจัย บทความวิจัย และที่มีจำหน่ายในห้องตลาด ด้วยวิธีการผลิตที่แตกต่างกันหรือใกล้เคียงกัน

#### 4.1 ผลการศึกษาคุณสมบัติของชีมวล

จากการศึกษาคุณสมบัติของชีมวล ก่อนการนำไปใช้ผลิตไบโอดาร์ด้วยกระบวนการไฟโรไลซิสแบบช้า จากเศษวัสดุเกษตรทั้งหมด 5 ชนิด เพื่อศึกษาการเปลี่ยนแปลงของคุณสมบัติ เมื่อได้รับความร้อนที่อุณหภูมิต่าง ๆ โดยแสดงรายละเอียดดังตารางที่ 10

ตารางที่ 10 คุณสมบัติต่าง ๆ ในเศษวัสดุเกษตร ที่ใช้ในการผลิตไบโอดาร์

คุณสมบัติ/ชีมวล	แกลบ	ซัง ข้าวโพด	เปลือก จำไย	เม็ดจำไย	กะลา ก้าแฟ	
ความเป็นกรด-ด่าง (pH)	5.603	5.200	4.763	4.347	4.833	
การนำไฟฟ้า (EC)	dS m <sup>-1</sup>	0.493	0.180	0.120	0.511	0.038
พลังงาน ความร้อน	cal/g	3437	4133	3985	4065	4303
ความสามารถใน การแลกเปลี่ยน ประจุบวก (CEC)	cmol(+)/kg	21.619	43.407	57.272	37.490	13.207
ปริมาณสาร (%)	สารระเหย	57.28	72.77	67.98	70.79	75.9
	ถ้า	17.95	2.99	5.58	2.46	0.61
	คาร์บอนคองท์	17.16	19.18	19.24	19.75	17.96
ปริมาณแร่ธาตุ (%)	คาร์บอน	36.49	45.28	44.44	46.33	47.51
	ไฮโดรเจน	5.35	6.12	5.87	6.19	6.31

คุณสมบัติ/ชีวมวล	แกลบ	ซัง ข้าวโพด	เปลือก ลำไย	เม็ดลำไย	กะลา กาแฟ
ไนโตรเจน	0.4	0.67	9.68	0.45	0.3
กำมะถัน	0.075	0.0389	0.0348	0.0545	0.0593
ออกซิเจน	0.0111	0.0182	0.0075	0.0425	N/A
คลอรีน	39.72	44.88	43.1	44.47	45.2
พื้นที่ผิว	(m <sup>2</sup> /g)	27	32.73	34.31	32.94
ปริมาตรรูพรุน	cc/g	0.0402	0.0533	0.0475	0.0421
แร่ธาตุหลัก (%wt)	N	0.43	0.47	0.89	0.94
	P	0.2	0.31	0.4	0.45
	K	0.06	0.44	0.76	0.05
แร่ธาตุโลหะหนัก (mg/kg)	Mg	541.6	389.9	691.7	656.2
	Ca	767.4	528.5	757.8	768.1
	Pb	N/A	N/A	N/A	N/A
	Cd	N/A	N/A	N/A	N/A
	Cu	32.53	2.58	6.70	7.87
	Ni	4.609	3.17	0.511	1.319
	Hg	4.526	4.499	4.439	4.55
	Zn	54.93	25.68	23.97	13.26
	Cr	9.716	7.713	0.932	N/A
	Fe	288.6	268.1	81.47	75.62
	Mn	146.8	11.86	85.44	13.77
	As	N/A	N/A	N/A	N/A
	Co	N/A	N/A	N/A	N/A
	Se	0.0664	0.043	N/A	N/A
	B	6.404	1.32	21.92	12.06
อัตราส่วนแร่ธาตุ	O/C	0.00030	0.000402	0.00016	0.00091
					N/A

คุณสมบัติ/ชีวมวล	แกลบ	ซัง ข้าวโพด	เปลือก ลำไย	เม็ดลำไย	กลา กาแฟ
	C/N	91.22	67.58	4.59	102.95
	H/C	0.147	0.135	0.132	0.134
ความสามารถในการดูดซับน้ำ	%wt	289.52	402.70	347.46	454.69
ความหนาแน่น	(kg/m <sup>3</sup> )	109.27	153.34	82.77	671.08
					97.48

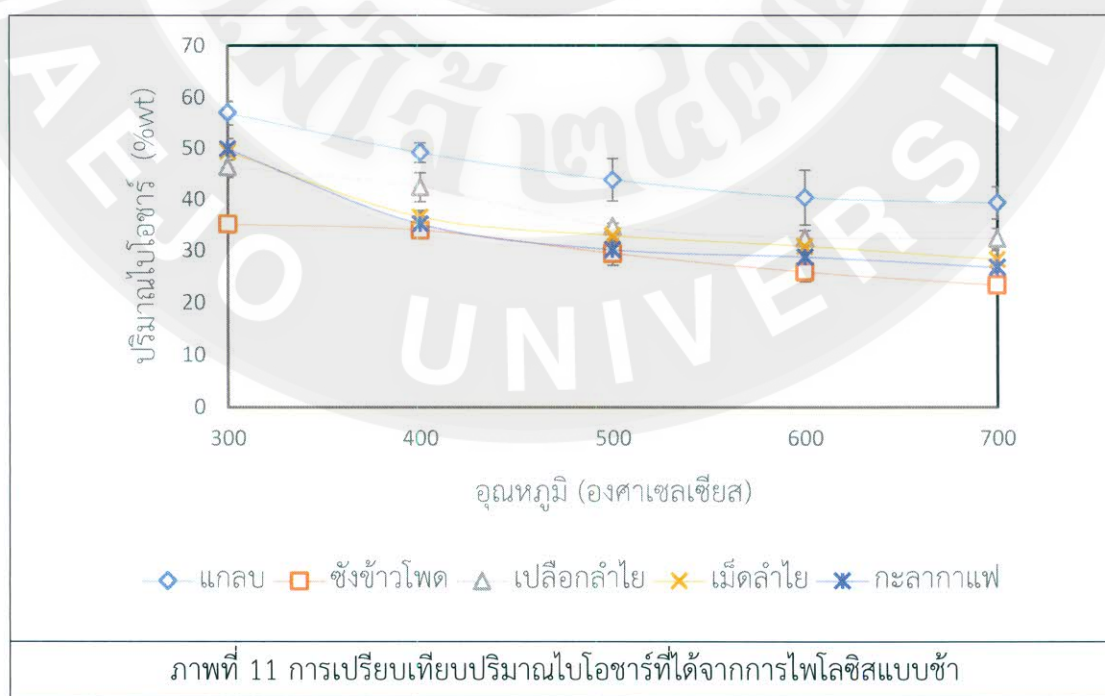
ซึ่งจากการศึกษาคุณสมบัติของชีวมวลก่อนนำไปใช้ในการผลิตใบโอchar พบว่า ค่าความเป็นกรดด่างและค่าการนำไฟฟ้าจากแกลบ มีค่าสูงกว่าชนิดอื่น ๆ โดยความเป็นกรด-ด่าง มีค่าในช่วง 4.3-5.6 มีสถานะเป็นกรดอ่อน ส่วนค่าการนำไฟฟ้า มีค่าในช่วง 0.038-0.511 dS m<sup>-1</sup> ความสามารถในการแลกเปลี่ยนประจุบวก พบร้า เปลือกลำไยมีค่าสูงกว่าชีวมวลชนิดอื่น ๆ มีค่าอยู่ในช่วง 13.207-57.272 cmol(+)/kg ปริมาณสารระเหย พบร้า กลากาแฟมีค่าสูงกว่าชนิดอื่น ๆ มีค่าอยู่ในช่วง 57.28-75.9 เปอร์เซ็นต์โดยน้ำหนัก แตกต่างจากค่าคาร์บอนคงที่ พบร้า มีค่าใกล้เคียง โดยแกลบและกลากาแฟ มีค่าอยู่ในช่วง 17.16-17.96 เปอร์เซ็นต์โดยน้ำหนัก ส่วนซังข้าวโพด เปลือกลำไย และเม็ดลำไย มีค่าอยู่ในช่วง 19.18-19.75 เปอร์เซ็นต์โดยน้ำหนัก สำหรับค่าพื้นที่ผิว และปริมาตรรูพรุน พบร้า กลากาแฟ มีค่าพื้นผิวสูงกว่าชีวมวลชนิดอื่น ๆ มีค่าในช่วง 27-40.30 ตารางเมตรต่อกรัม ส่วนปริมาตรรูพรุน พบร้า ซังข้าวโพด มีค่า 0.0533 ซีซีต่อกรัม แตกต่างจากชีวมวลชนิดอื่น ๆ ที่มีค่าใกล้เคียงกัน โดยมีค่าอยู่ในช่วง 0.0402-0.0482 ซีซีต่อกรัม อีกทั้งความสามารถในการดูดซับน้ำและความหนาแน่น พบร้า เม็ดลำไย มีค่าสูงกว่าชีวมวลชนิดอื่น ๆ มีค่าอยู่ในช่วง 289.52-454.69 เปอร์เซ็นต์โดยน้ำหนัก และมีค่าในช่วง 671.08-82.77 กิโลกรัมต่อลูกบาศก์เมตร ซึ่งจากการศึกษาคุณสมบัติของชีวมวลเบรียบเทียบกับคุณสมบัติใบโอchar ที่ผลิตด้วยกระบวนการไฟโรไลซิส พบร้า คุณสมบัติของชีวมวลมีค่าเปลี่ยนแปลง เมื่อได้รับความร้อนจากการไฟโรไลซิสที่อุณหภูมิต่าง ๆ โดยได้อภิรายผลการทดสอบก่อนเผาชีวมวลจากเศษวัสดุเกษตร เปรียบเทียบกับคุณสมบัติของใบโอchar ในหัวข้อการวิเคราะห์คุณสมบัติต่าง ๆ ดังในหัวข้อที่ 4.2-4.12

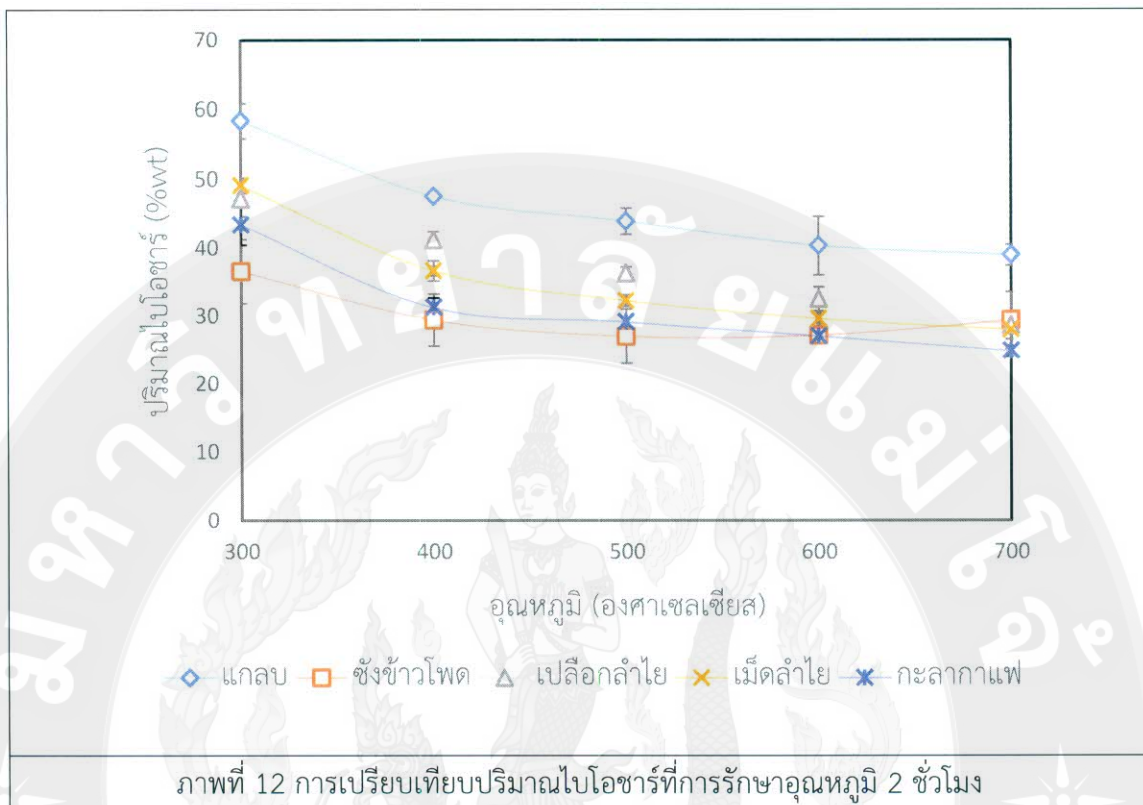
#### 4.2 ผลปริมาณใบโอchar ที่ได้จากการผลิตในระดับห้องปฏิบัติการ (Yield biochar)

การศึกษาปริมาณใบโอchar พบร้า การเพิ่มน้ำของอุณหภูมิและการรักษาอุณหภูมิ ดังภาพที่ 10-11 ส่งผลให้ปริมาณใบโอcharลดลง โดยปริมาณถ่านชีวภาพจากแกลบ ซังข้าวโพด และกลากาแฟ ของการเพิ่มอุณหภูมิในช่วง 300-400 องศาเซลเซียส ที่การรักษาอุณหภูมิ 1-2 ชั่วโมง มี

ปริมาณไปโอชาร์ลดลงอย่างรวดเร็ว มีค่าในช่วง 56.98-29.46 เปอร์เซ็นต์โดยน้ำหนัก เกิดจากการสลายตัวของเซลลูโลส เอมิเซลลูโลส และการเพิ่มอุณหภูมิที่สูงกว่า 400 องศาเซลเซียส ปริมาณไปโอชาร์มีค่าลดลงอย่างต่อเนื่อง ในค่าในช่วง 43.82-24.82 เปอร์เซ็นต์โดยน้ำหนัก เกิดจากการสลายตัวของลิกนิน (Lee Ryu et al, 2013) ขณะที่ไปโอชาร์จากแกลบ สามารถผลิตไปโอชาร์สูงสุด ที่ 56.98 เปอร์เซ็นต์โดยน้ำหนัก ซึ่งไปโอชาร์จากกลากาแฟ เม็ดลำไย เปลือกลำไย ซังข้าวโพด มีปริมาณไปโอชาร์ลดลงตามลำดับ ลิกนิน อีกทั้งเกิดการสลายตัวของปริมาณสารระเหยที่มีปริมาณลดลง ทำให้ค่าคาร์บอนคงที่มีปริมาณเพิ่มขึ้น (Biswas Pandey et al, 2017)

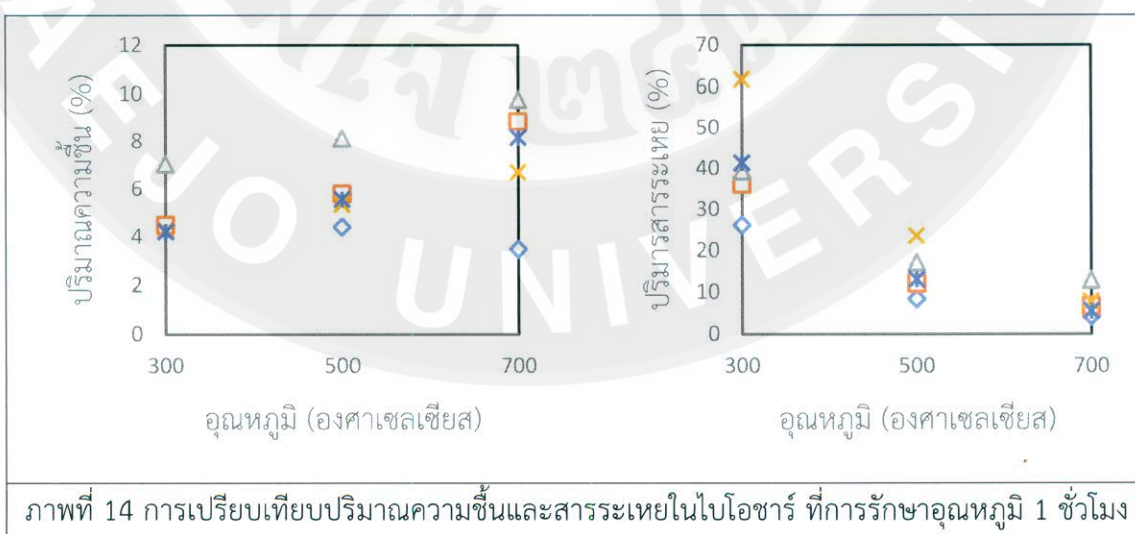
เมื่อทำการเปรียบเทียบปริมาณไปโอชาร์ที่ได้จากการผลิตด้วยการไฟโรไลซิสแบบช้า ด้วยวิธีการผลิตใกล้เคียงกัน ที่อุณหภูมิ 300-700 องศาเซลเซียส การรักษาอุณหภูมิ 30 นาที ถึง 2 ชั่วโมง จากแกลบ ซังข้าวโพด และกลากาแฟ กับบทความวิจัยอื่น ๆ จาก(Lee Park et al, 2013), (Claoston Samsuri et al, 2014), (Biswas Pandey et al, 2017), (Domingues Trugilho et al, 2017), (Orisaleye Adefuye et al, 2018) พบว่า เมื่อเพิ่มอุณหภูมิการผลิตและการรักษาอุณหภูมิ ปริมาณไปโอชาร์มีแนวโน้มลดลง มีค่าในช่วง 20-45 เปอร์เซ็นต์โดยน้ำหนัก ดังภาพที่ 12 ส่วนปริมาณไปโอชาร์จากงานวิจัย มีค่าอยู่ในช่วง 24.76-56.98 เปอร์เซ็นต์โดยน้ำหนัก โดยชนิดของชีมวลสามารถผลิตไปโอชาร์ได้ปริมาณที่แตกต่างกัน เนื่องจากชีมวลแต่ละชนิดมีโครงสร้างทางเคมีที่แตกต่างกัน เมื่อได้รับความร้อนจากการไฟโรไลซิสที่เหมือนกัน

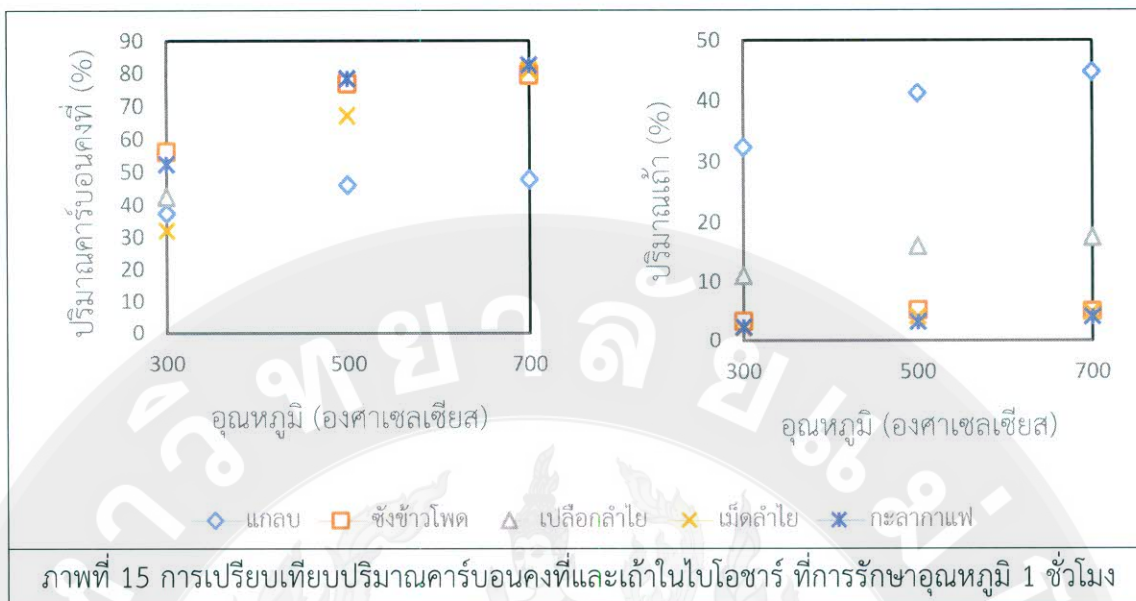




### 4.3 ผลคุณสมบัติขององค์ประกอบแร่ธาตุ (Ultimate) และปริมาณกลุ่มสาร (Proximate) ของใบโอชาร์

จากการศึกษาปริมาณกลุ่มสาร (Proximate) โดยชีมวลก่อนเผา มีปริมาณสารระเหยในช่วง 57-75.9 ปริมาณถ้า 0.61-17.95 และปริมาณ Fixed Carbon 17.16-19.75 การเพิ่มขึ้นของอุณหภูมิในผลิตใบโอชาร์ด้วยการไฟโรไอลิสแบบช้า แสดงข้อมูลดังภาพที่ 13 ที่การรักษาอุณหภูมิ 1 ชั่วโมง พบว่า อุณหภูมิที่สูงขึ้นเกิดการทำปฏิกิริยาออกซิเดชันกับตัวอย่างในห้องเผาไหม้ ทำให้คุณสมบัติของปริมาณสารระเหยในใบโอชาร์ลดลง จาก 75.9 เปอร์เซ็นต์ เป็น 4.08 เปอร์เซ็นต์ เป็นตัวชี้วัดการเปลี่ยนแปลงพลังงานการเผาไหม้ ขณะที่ปริมาณคาร์บอนคงที่และถ้ามีปริมาณเพิ่มขึ้นจาก 17.16 เปอร์เซ็นต์ เป็น 82.48 เปอร์เซ็นต์ และจาก 0.61 เปอร์เซ็นต์ เป็น 44.75 เปอร์เซ็นต์ ตามลำดับ โดยใบโอชาร์จากคลากาแฟ มีค่าปริมาณคาร์บอนคงที่สูงกว่า เม็ดลำไย ซังข้าวโพดเปลือกลำไย และแกลบ ตามลำดับ สำหรับองค์ประกอบแร่ธาตุ (Ultimate) ของใบโอชาร์ เป็นส่วนสำคัญอย่างหนึ่งที่ผลมีต่อการเจริญเติบโตของพืชดังตารางที่ 10 พบว่า การเพิ่มขึ้นของอุณหภูมิ ส่งผลให้ปริมาณคาร์บอน (C) มีปริมาณเพิ่มขึ้น จาก 36.49% เป็น 81.34% และปริมาณ ไฮโดรเจน (H) กำมะถัน (S) และออกซิเจน (O) มีปริมาณลดลง ส่วนปริมาณไนโตรเจน (N) เพิ่มขึ้นเล็กน้อย เมื่ออุณหภูมิในการเผาไหม้ไม่เกิน 500 องศาเซลเซียส และจะลดลงเมื่ออุณหภูมิสูง 700 องศาเซลเซียส ซึ่งจากการทดสอบ เห็นได้ว่า ผลต่างด้านองค์ประกอบแร่ธาตุและปริมาณสารที่ได้จากการวิเคราะห์มีค่าแตกต่าง เกิดจากอุณหภูมิในการผลิต ชนิดชีมวลและองค์ประกอบพื้นฐานของชีมวลที่นำมาใช้ต่างชนิดกัน





ภาพที่ 15 การเปรียบเทียบปริมาณคาร์บอนคงที่และถ่านในไบโอดาร์ ที่การรักษาอุณหภูมิ 1 ชั่วโมง

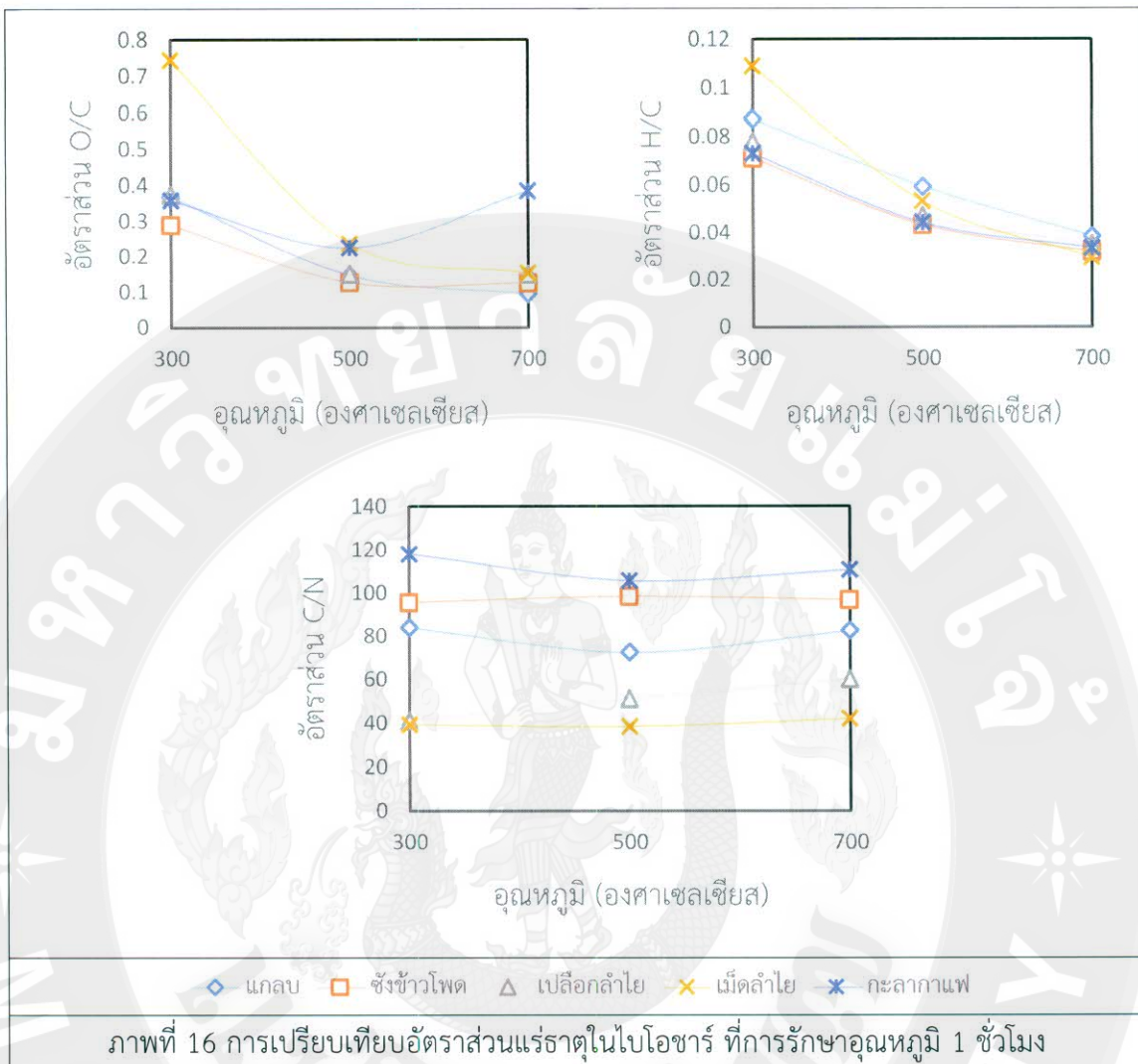
ตารางที่ 11 องค์ประกอบแร่ธาตุของชีวมวลและไบโอดาร์ด้วยการไฟฟโลซิสแบบช้า

Biochar	Temp °C	Ash %	C %	H %	N %	S %	O %	Cl %
แกลบ	-	17.95	36.49	5.35	0.4000	0.0750	39.72	0.0111
	300	32.36	46.11	4.03	0.5496	0.0038	16.95	0.4610
	500	41.33	48.11	2.85	0.6644	N/A	7.05	0.0507
	700	44.75	48.25	1.85	0.5850	N/A	4.58	N/A
ชั่ง ข้าวโพด	-	2.99	45.28	6.12	0.6700	0.0389	44.88	0.0182
	300	3.29	70.56	5.03	0.7361	0.0040	20.38	0.0279
	500	5.22	80.23	3.47	0.8136	0.0463	10.22	0.2925
	700	5.02	81.34	2.57	0.8381	0.0345	10.20	0.1141
เปลือก ลำไย	-	5.58	44.44	5.87	9.6800	0.0348	43.10	0.0075
	300	11.04	60.25	4.7	1.4700	0.0003	22.54	N/A
	500	16.00	69.00	3.25	1.3500	N/A	10.40	0.1217
	700	17.51	68.65	2.4	1.1400	N/A	10.30	0.0380
เม็ดลำไย	-	2.46	46.33	6.19	0.4500	0.0545	44.47	0.0425
	300	2.04	52.13	5.69	1.3300	0.0153	38.79	0.0710
	500	4.06	72.92	3.88	1.9000	N/A	17.25	N/A
	700	4.87	78.9	2.3	1.8800	N/A	12.07	0.2965

Biochar	Temp °C	Ash %	C %	H %	N %	S %	O %	Cl %
	-	0.61	47.51	6.31	0.3000	0.0593	45.20	N/A
กะลา	300	2.25	67.91	4.96	0.5749	0.0181	24.28	0.1977
กาแฟ	500	3.16	75.77	3.34	0.7166	N/A	17.01	0.1597
	700	4.05	67.26	2.23	0.6076	N/A	25.85	0.1825

จากการศึกษาอัตราส่วนของแร่ธาตุของไบโอดีเซล (Nagel, Hoilett et al. 2019) ที่อุณหภูมิ 300-500 และ 700 องศาเซลเซียส การรักษาอุณหภูมิ 1 ชั่วโมง ดังภาพที่ 14 พบว่า อัตราส่วนแร่ธาตุออกซิเจนต่อคาร์บอน ( $O/C$ ) บ่งบอกถึงความเจริญเติบโตของพืชเมื่อได้รับ เนื่องจากเป็นสิ่งที่พืชต้องการใช้ โดยการเพิ่มอุณหภูมิไบโอดีเซลจากแกลบ ซังข้าวโพด เปลือกลำไย และเม็ดลำไย มีแนวโน้มลดลงจาก 0.744 เป็น 0.09 แตกต่างจากไบโอดีเซลกาแฟ มีแนวโน้มเพิ่มสูงขึ้น เมื่อเพิ่มอุณหภูมิในค่าในช่วง 0.22-0.384 ส่วนอัตราส่วนแร่ธาตุของไฮโดรเจนต่อคาร์บอน ( $H/C$ ) บ่งบอกถึงความเสถียรภาพระยะในสิ่งแวดล้อม พบว่า การเพิ่มขึ้นของอุณหภูมิ ส่งผลให้ความเสถียรภาพลดลง จาก 0.11 เป็น 0.02 รวมถึงอัตราส่วนของคาร์บอนต่อไฮโดรเจน ( $C/N$ ) บ่งบอกถึง การดึงดูดสารอาหารสำหรับการเจริญเติบโตของพืช การย่อยสลายของอินทรีย์ตัตๆ เพื่อนำไปใช้ประโยชน์ในการเจริญเติบโตของจุลินทรีย์นั้น ๆ รวมถึงลดการชะล้างสารอาหารที่เป็นประโยชน์ออกสู่สิ่งแวดล้อม พบว่า การเพิ่มขึ้นของอุณหภูมิ ส่งผลให้  $C/N$  มีแนวโน้มเพิ่มขึ้นเล็กน้อย ซึ่งชนิดของไบโอดีเซลจากกาแฟ มีค่า  $C/N$  สูงสุด และมีปริมาณลดลงของไบโอดีเซลจากซังข้าวโพด แกลบ เม็ดลำไย และกาแฟ ตามลำดับ โดยมีค่าอยู่ในช่วง 38.37-98.61



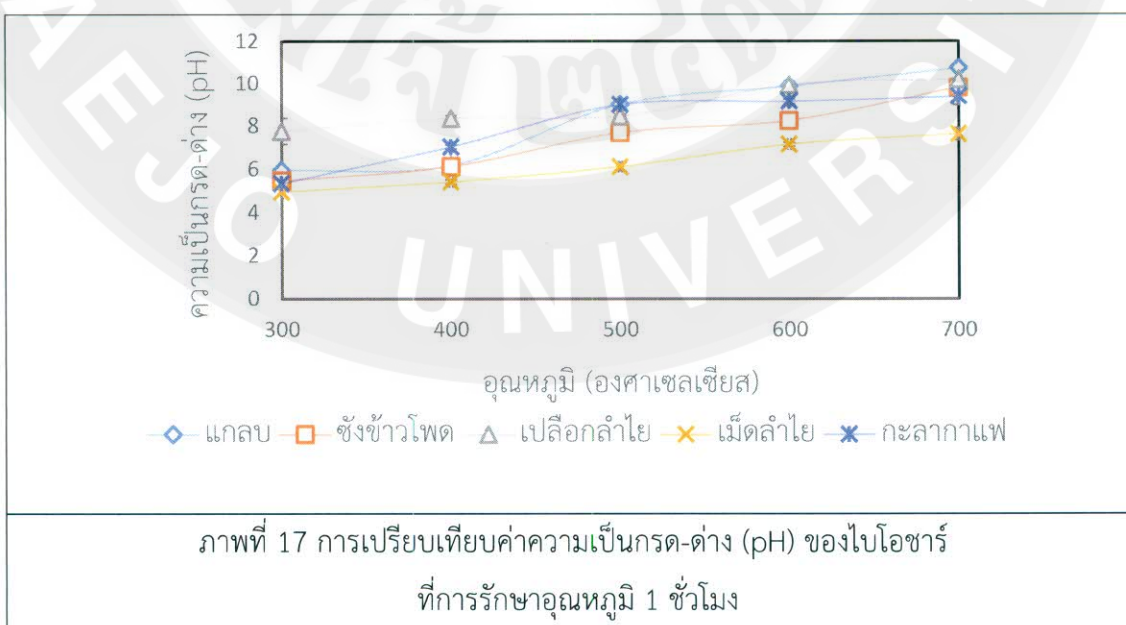


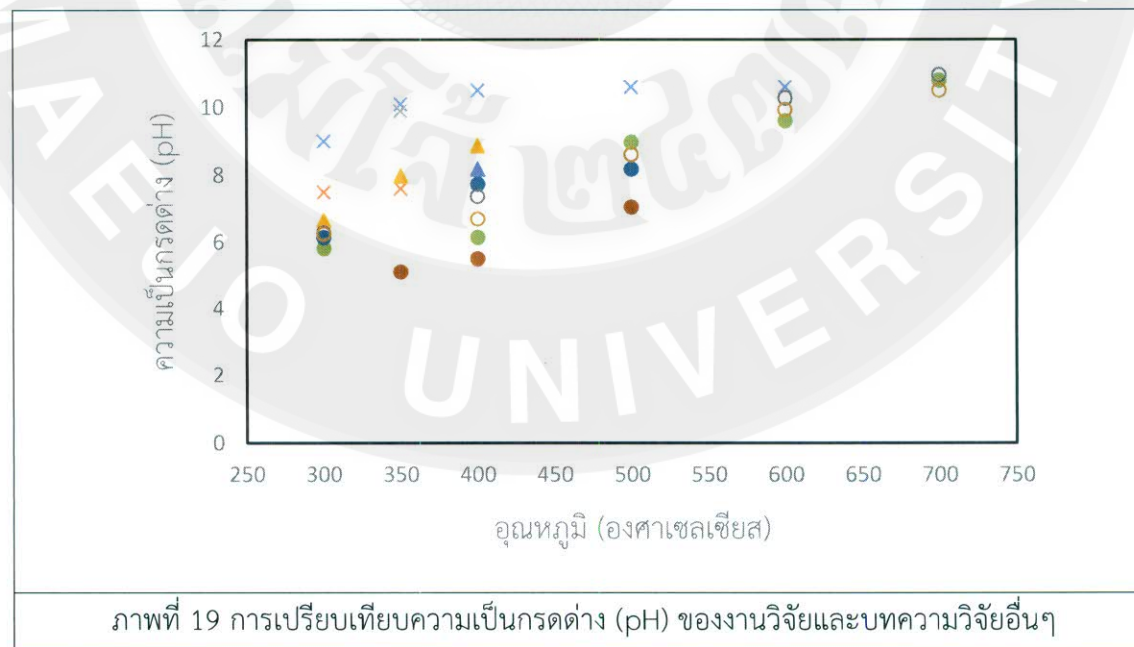
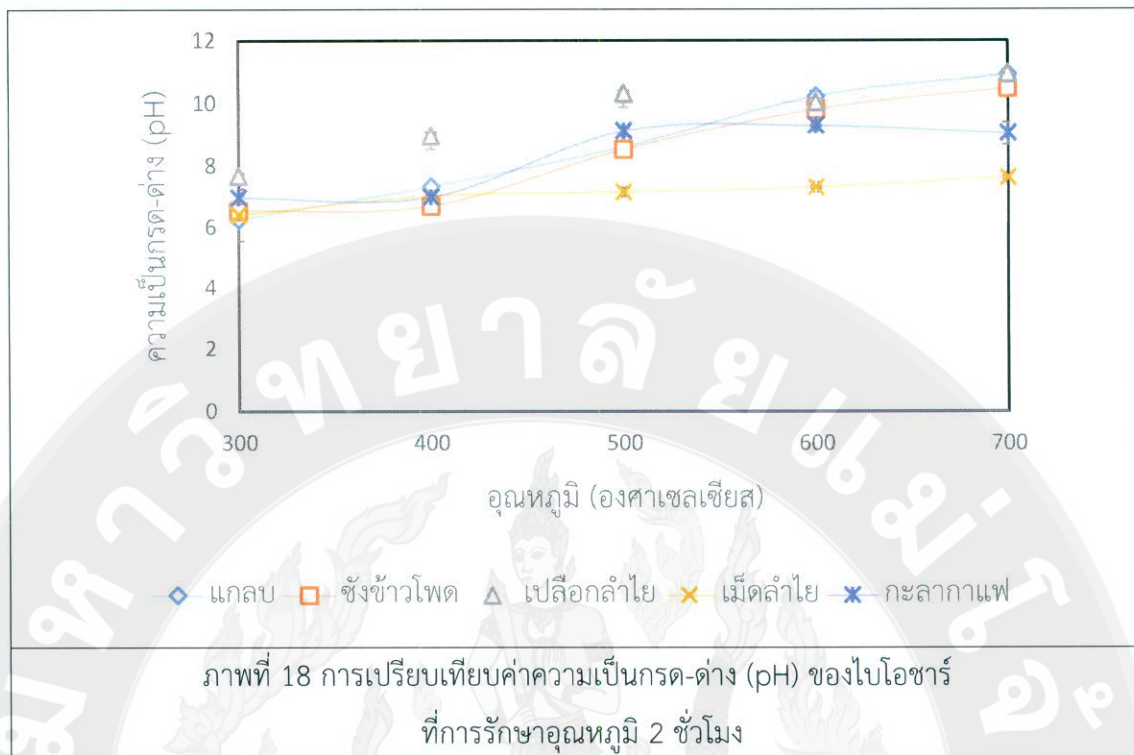
#### 4.4 ผลคุณสมบัติความเป็นกรดด่าง ( $\text{pH}$ ) ของใบโอชาร์

จากการทดสอบความเป็นกรดด่าง ( $\text{pH}$ ) โดยชีวมวลก่อนเผา มีค่าในช่วง 4.3-5.6 จากผลการทดสอบ ดังภาพที่ 15-16 พบร้า เมื่ออุณหภูมิสูงขึ้นและเพิ่มเวลาการรักษาอุณหภูมิ ที่ 1-2 ชั่วโมง ทำให้ใบโอชาร์เปลี่ยนจากการดอ่อนไปเป็นเบสอ่อนลึงเบสแก๊ (Budai Wang et al, 2014), (Jung Kim et al, 2016) ในช่วงอุณหภูมิ 300-700 องศาเซลเซียส ที่เปลี่ยนค่าจากช่วง 5-8 เป็น 6-11 โดยที่แกลบจะมีค่าในช่วง 6-8 (Tomczyk Sokołowska et al, 2020) แต่สัดส่วนอื่น ๆ ได้แก่ ซังข้าวโพด เม็ดคำไย เปสือกคำไย กะลากาแฟ จะมีความเป็นกรดอ่อนไปเป็นด่างแก๊ ซึ่งการเพิ่มขึ้นของค่าความเป็นด่างเกิดการเปลี่ยนแปลงโครงสร้างทางเคมีในใบโอชาร์ และปริมาณแร่ธาตุและแร่ธาตุโลหะหนักที่มีอยู่ในชีวมวล โดยการเพิ่มอุณหภูมิในกระบวนการไฟฟ์โรไลซิสมีผลต่อค่าความเป็นด่างเพิ่มขึ้น ที่ 300-700 องศาเซลเซียส มีค่าอยู่ในช่วง 6-10 เนื่องจากความร้อนส่งผลให้ค่าความกรดในกลุ่มฟังก์ชัน  $-\text{COOH}$  และ  $-\text{OH}$  ลดลง (Park Lee et al, 2014) เมื่ออุณหภูมิสูงขึ้น ใบโอชาร์เกิด

การเปลี่ยนแปลงโครงสร้างเคมีด้วยการสร้างกลุ่มฟิงก์ชันขึ้น เช่น กลุ่มฟิงก์ชันคาร์บอนे�ต ( $\text{CaCO}_3$ ,  $\text{MgCO}_3$ ) เป็นต้น (Lee Park et al, 2013) หรือกลุ่มแร่ร่าตูละหนัก (Si Na K) (Wang, Hu et al. 2013) รวมถึงปริมาณเจ้าที่มีปริมาณเพิ่ม (Claoston Samsuri et al, 2014) จะส่งผลให้ค่าความเป็นด่างเพิ่มขึ้นเช่นกัน ทั้งนี้ขึ้นอยู่กับโครงสร้างของชนิดวัสดุที่ใช้นำมาใช้ในการผลิตไปโอชาร์อีกด้วย (Manolikaki Mangolis et al, 2016)

เมื่อทำการเปรียบเทียบปริมาณไปโอชาร์ที่ได้จากการผลิตด้วยการไฟโรไลซิสแบบช้า ด้วยวิธีการผลิตใกล้เคียงกัน ในช่วงอุณหภูมิ 300-600 องศาเซลเซียส การรักษาอุณหภูมิ 1 ชั่วโมงและ 2 ชั่วโมง กับบทความวิจัยอื่น ๆ จาก (Lee Park et al, 2013), (Prakongkep Gilkes et al, 2013), (Claoston Samsuri et al, 2014), (Park Lee et al, 2014), (Phuong Uddin et al, 2015), (Manolikaki Mangolis et al, 2016), (Domingues Trugilho et al, 2017), (Orisaleye Adefuye et al, 2018) ดังภาพที่ 17 พบว่า ค่าความเป็นกรดด่างของไปโอชาร์ มีแนวโน้มเพิ่มขึ้นสูง เมื่อเพิ่มอุณหภูมิและเวลาการรักษาอุณหภูมิ โดยไปโอชาร์จากแกลบที่ผลิตในช่วงอุณหภูมิ 300-400 องศาเซลเซียส มีค่าเป็นกรดถึงกลาง มีค่าในช่วง 5-7 ส่วนอุณหภูมิในช่วง 500-700 จะมีค่าความเป็นด่างในช่วง 8-10 ไปโอชาร์จากซังข้าวโพดและกะลากาแฟ ที่อุณหภูมิ 300-400 องศาเซลเซียส จากการทดลองของงานวิจัยมีค่าในช่วง 5-7 ส่วนงานวิจัยอื่นพบว่ามีค่าความเป็นด่าง ในช่วง 8-10 ซึ่งมีค่าความเป็นด่างมากกว่ามาก เมื่อเพิ่มการรักษาอุณหภูมิในช่วง 1-2 ชั่วโมง ส่งผลให้มีค่า pH สูงขึ้น โดยในช่วงอุณหภูมิ 300-400 องศาเซลเซียส มีค่าความเป็นกรดถึงกลาง แต่ในช่วงอุณหภูมิ 500-700 มีค่าความเป็นด่างสูง

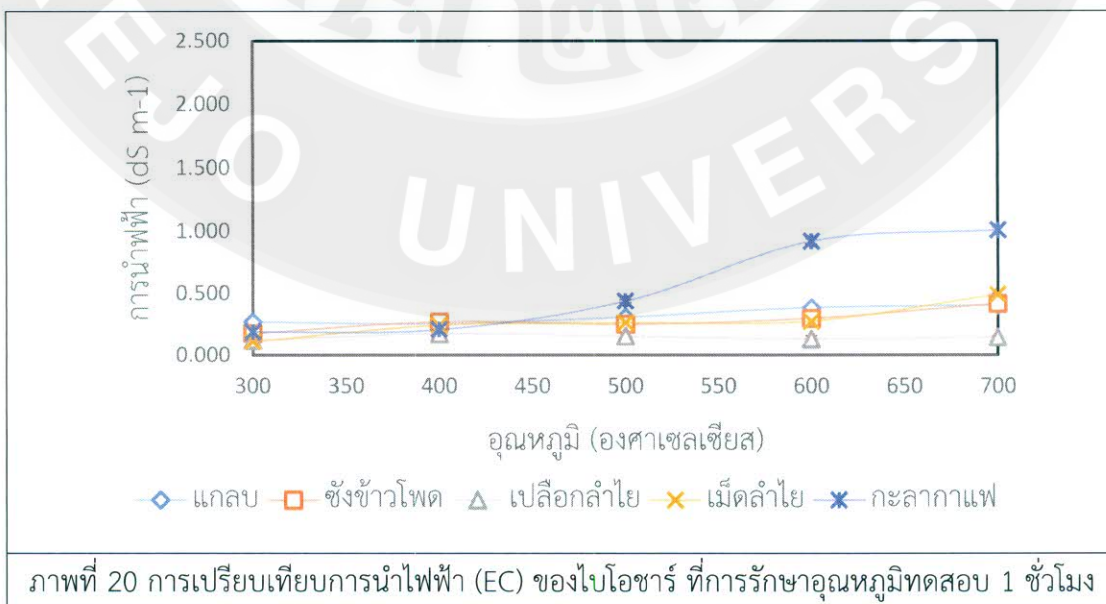


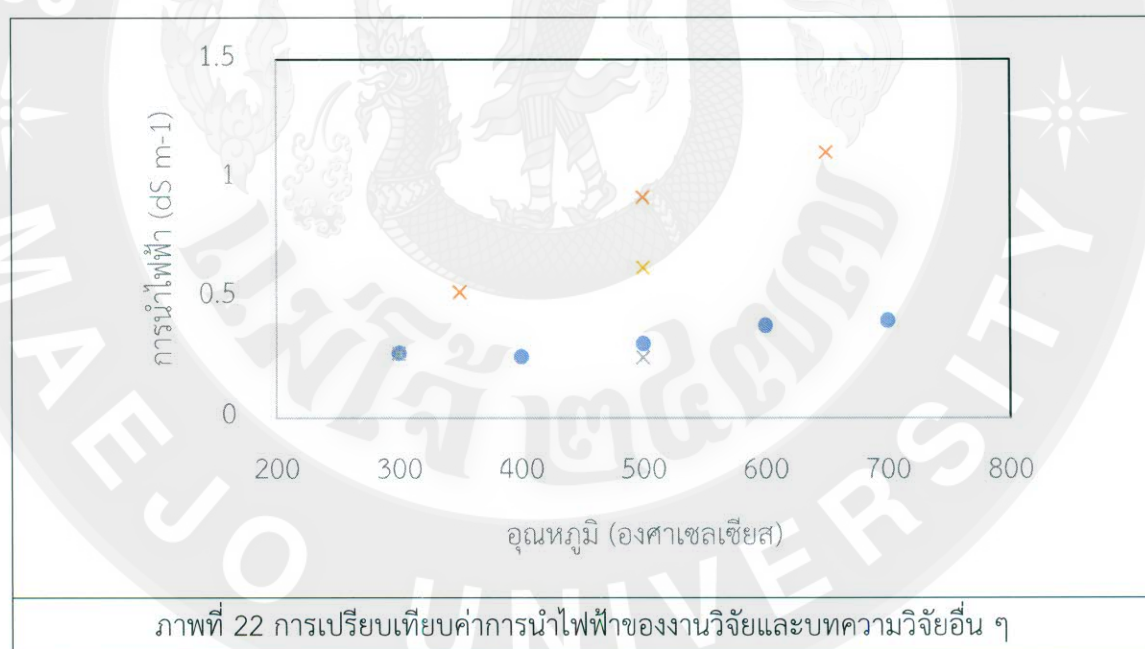


#### 4.5 ผลคุณสมบัติการนำไฟฟ้า (Electrical conductivity: EC) ของใบโอชาร์

จากการทดสอบการนำไฟฟ้าของใบโอชาร์ โดยช่วงเวลา ก่อนเพา มีค่าในช่วง  $0.038\text{-}0.493 \text{ dS m}^{-1}$  จากผลการทดสอบจากภาพที่ 18-19 พบว่า อุณหภูมิในการผลิตใบโอชาร์จากเศษวัสดุเกษตร มีค่าการนำไฟฟ้าที่ไม่เปลี่ยนแปลงมากนัก ที่อุณหภูมิ  $300\text{-}600$  องศาเซลเซียส มีค่า  $0.109\text{-}0.458 \text{ dS m}^{-1}$  และมีค่าเพิ่มขึ้นอย่างมากที่  $700$  องศาเซลเซียส ส่วนการรักษาอุณหภูมิการทดสอบจาก 1 ชั่วโมง ไป 2 ชั่วโมง ส่งผลให้ค่าการนำไฟฟ้ามีแนวโน้มเพิ่มขึ้น ในช่วง  $600\text{-}700$  องศาเซลเซียส ส่วนใบโอชาร์จากเปลือกลำไยและกลากาแฟ มีค่าเพิ่มมากขึ้น เมื่อเพิ่มอุณหภูมิและการรักษา อุณหภูมิทดสอบ โดยมีค่าเพิ่มขึ้นในอุณหภูมิช่วง  $700$  องศาเซลเซียส จาก  $0.144 \text{ dS m}^{-1}$  เป็น  $2.064 \text{ dS m}^{-1}$  ส่วนใบโอชาร์จากเปลือกลำไยมีค่าการนำไฟฟ้าสูงกว่าเศษวัสดุเกษตรชนิดอื่น ๆ  $10$  เท่า เนื่องจากเกิดการสลายตัวของไอออน เมื่อเพิ่มอุณหภูมิการไฟโรไลซิส โดยส่งผลให้ความเข้มข้นของ โลหะหนักเพิ่มขึ้น ทำให้ค่าการนำไฟฟ้ามีค่าเพิ่มขึ้น (Varela Milla Rivera et al, 2013)

เมื่อเปรียบเทียบผลการทดลองค่าการนำไฟฟ้า (EC) ของใบโอชาร์จากแกลบ จากงานวิจัย และบทความวิจัยที่เกี่ยวข้อง ที่อุณหภูมิในช่วง  $300\text{-}700$  องศาเซลเซียส การรักษาอุณหภูมิ 1 ชั่วโมง และ 2 ชั่วโมง กับบทความวิจัยอื่น ๆ จาก (Claoston Samsuri et al, 2014), (Chen Yu et al, 2016), (Manolikaki Mangolis et al, 2016), (Singh Camps-Arbestain et al, 2017) ดังภาพ ที่ 20 พบร้าว่า เมื่อเพิ่มอุณหภูมิมีผลทำให้ค่าการนำไฟฟ้าเพิ่มขึ้น เมื่อเปรียบเทียบผลกับงานวิจัยที่ เกี่ยวข้อง ค่าการนำไฟฟ้า มีค่าอยู่ในช่วง  $0.250\text{-}1.000 \text{ dS m}^{-1}$  แตกต่างกับงานวิจัย มีค่าอยู่ในช่วง  $0.17\text{-}2.62 \text{ ds m}^{-1}$  ฉะนั้น อุณหภูมิและการรักษาอุณหภูมิ ในการให้ความร้อนมีผลต่อการ เปลี่ยนแปลงของค่าการนำไฟฟ้า รวมถึงชนิดของชีวมวลอีกด้วย (Singh, Camps-Arbestain et al. 2017)



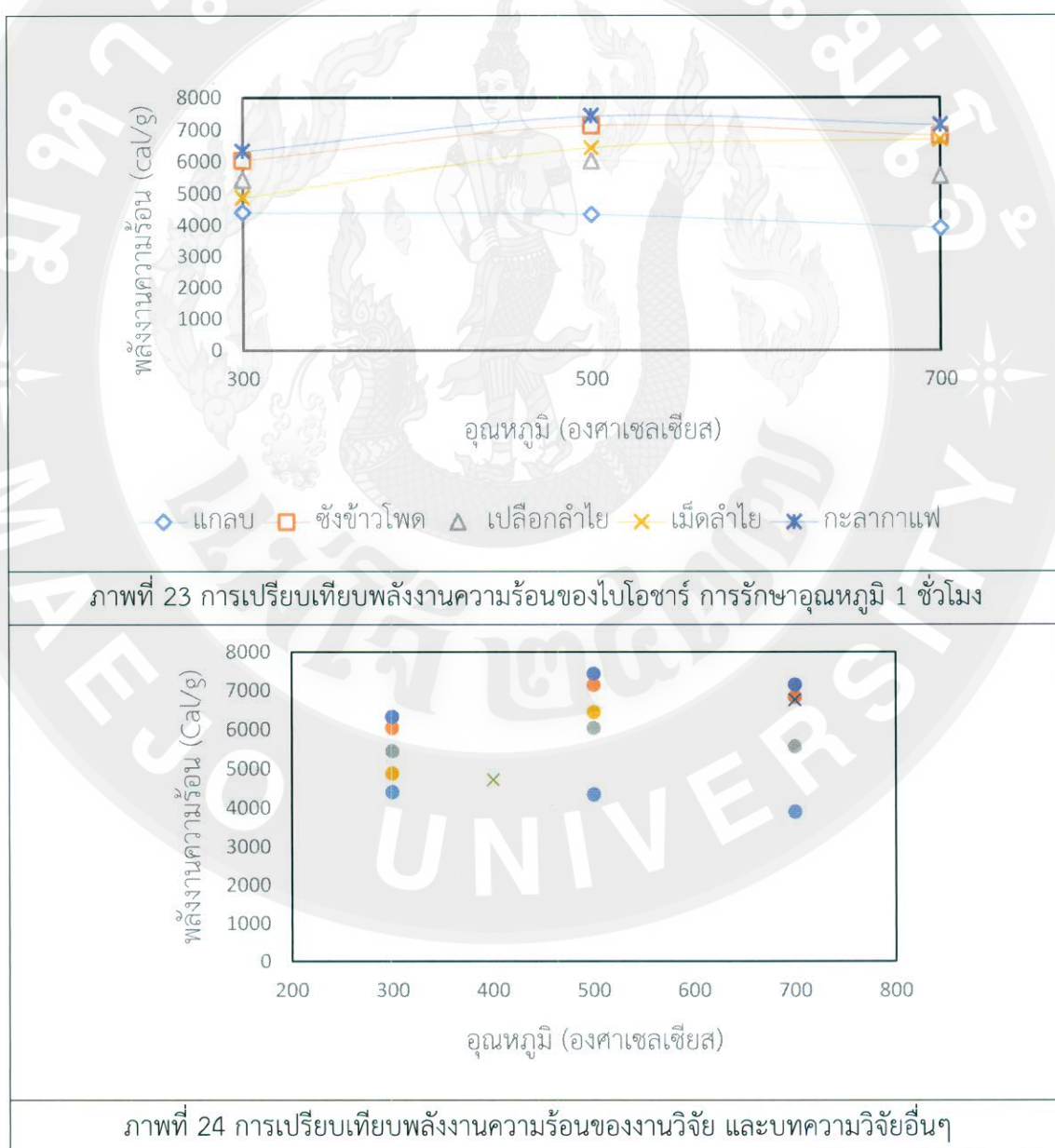


#### 4.6 ผลคุณสมบัติพลังงานความร้อน (Thermal Energy) ของใบโอชา

จากการทดสอบพลังงานความร้อนในใบโอชา ต่อหนึ่งหน่วยน้ำหนักหรือหนึ่งหน่วยปริมาตร ดังภาพที่ 21 พบว่า การเพิ่มอุณหภูมิในการไฟโรไลซิสแบบช้า อุณหภูมิ 300-700 ที่การรักษาอุณหภูมิ 1 ชั่วโมง มีแนวโน้มเพิ่มสูงขึ้น มีค่าอยู่ในช่วง  $4407-7147 \text{ cal/g}$  โดยใบโอชาจากกะลากาแฟ ให้ความร้อนสูงสุดและใบโอชาจากแกลบให้ความร้อนน้อยสุด เนื่องจากเกิดการสลายตัว

ของสารระเหยและมีปริมาณคาร์บอนเพิ่มสูงขึ้น ทำให้พลังงานความร้อนเพิ่มสูงขึ้นเช่นกัน (Sahoo and Remya, 2020)

เมื่อเปรียบเทียบผลการทดลองค่าพลังงานความร้อนของใบโอะชาร์ จากงานวิจัยและบทความวิจัยอื่น ๆ ที่อุณหภูมิในช่วง 300-700 องศาเซลเซียส การรักษาอุณหภูมิ 1 ชั่วโมง (Wang Huang et al, 2012), (Chen Zhou et al, 2014) ตั้งภาพที่ 22 พบว่า พลังงานความร้อนมีแนวโน้มเพิ่มสูงขึ้น เมื่ออุณหภูมิเพิ่มสูงขึ้น โดยใบโอะชาร์จากงานวิจัยมีค่าในช่วง 4405-7127 cal/g ส่วนใบโอะชาร์จากงานวิจัยอื่น ๆ มีค่าในช่วง 4705-6747 cal/g

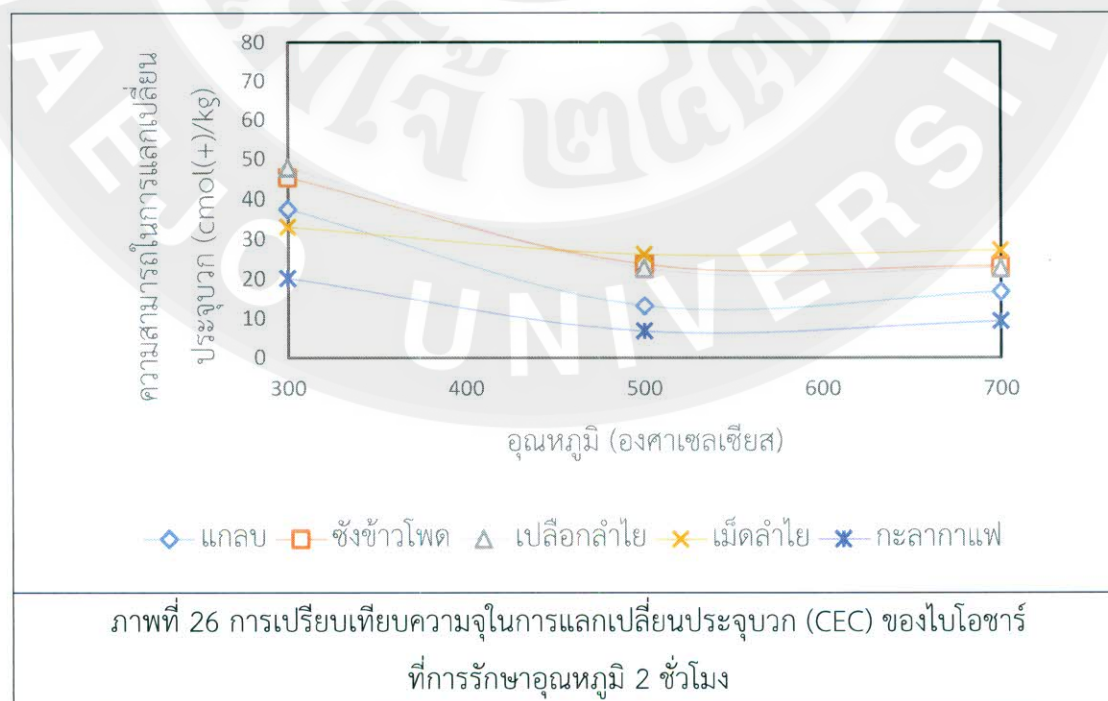
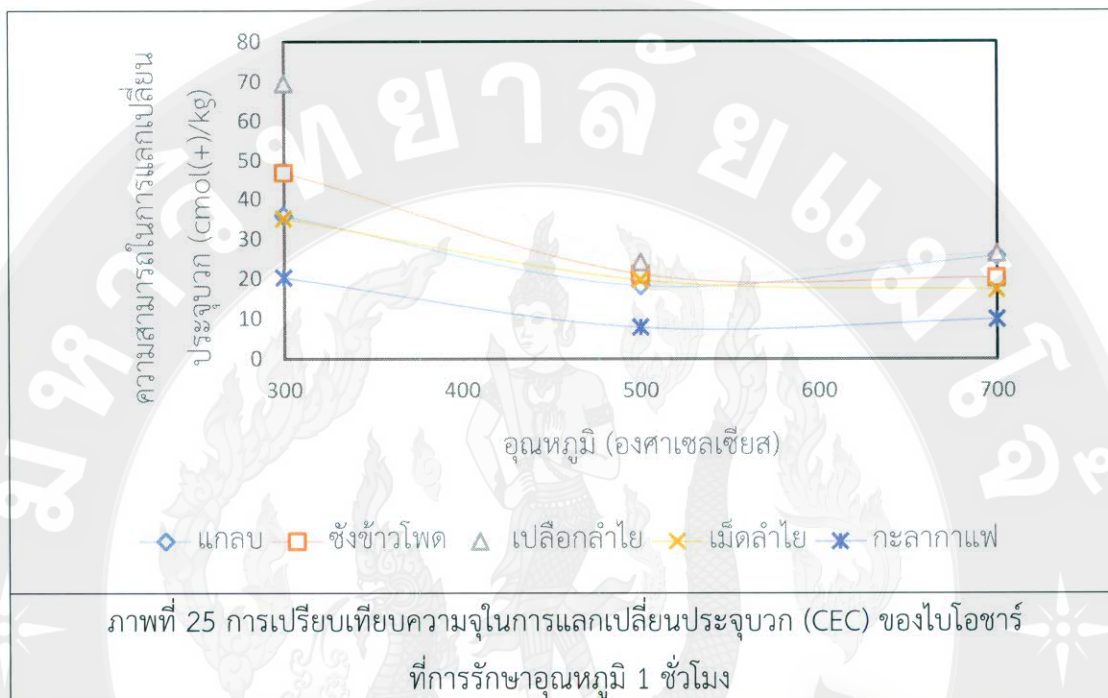


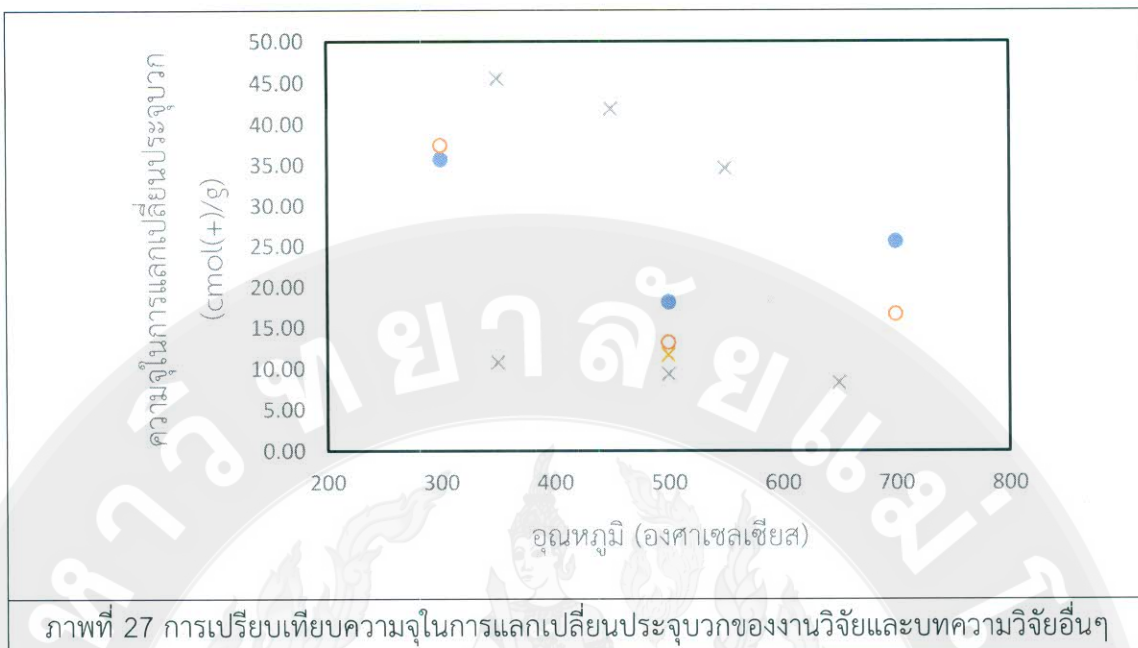
#### 4.7 ผลคุณสมบัติความสามารถในการแลกเปลี่ยนประจุบวก (Cation Exchange Capacity: CEC) ของใบโอะชาร์

จากการศึกษาความสามารถในการแลกเปลี่ยนประจุบวกของใบโอะชาร์ (CEC) จากเศษวัสดุ เกษตรทั้ง 5 ชนิด โดยชีวมวลก่ออ่นเพา มีค่าในช่วง 13.20-57.27 cmol(+)/kg จากผลการทดสอบ ดังภาพที่ 23-24 พบว่า ค่า CEC มีค่าแตกต่างกัน อุณหภูมิของการผลิตใบโอะชาร์ด้วยการไฟโรไลซิส แบบช้า ในช่วง 300-700 องศาเซลเซียส มีผลต่อความจุในการแลกเปลี่ยนประจุบวก โดยอุณหภูมิ ในช่วง 300-500 องศาเซลเซียส มีค่าลดลงจาก 69.591 cmol(+)/kg เป็น 6.786 cmol(+)/kg และมีปริมาณเพิ่มขึ้นเล็กน้อย เมื่ออุณหภูมิ 700 องศาเซลเซียส มีค่า CEC เพิ่มขึ้นเล็กน้อย ซึ่งใบโอะชาร์จากเปลือกลำไยมีค่า CEC ได้มากที่สุด และใบโอะชาร์จากกลากาแฟมีค่าน้อยสุด มีค่าในช่วง 69.591 cmol(+)/kg และ 6.786 cmol(+)/kg อีกทั้งการรักษาอุณหภูมิที่ 1 ชั่วโมง มีค่า CEC สูงกว่าการรักษาอุณหภูมิ 2 ชั่วโมง ถึง 31.3% จะเห็นได้ว่า อุณหภูมิและการรักษาอุณหภูมิ ส่งผลให้ค่า CEC ลดลง และมีปริมาณเพิ่มขึ้น เมื่ออุณหภูมิสูงกว่า 500 องศาเซลเซียส ทั้งนี้ค่า CEC ที่มีปริมาณลดลง ด้วยการไฟโรไลซิส น้มีความสัมพันธ์สอดคล้องกับโครงสร้างของพื้นที่ผิวและรูพรุน สารตกตะกอนกลุ่มอัลคาไลน์ที่ไม่ละลายน้ำในเดา อีกทั้งสารระเหยที่มีปริมาณลดลง และความเป็นกรดด่างเพิ่มสูงขึ้น (Munera-Echeverri Martinsen et al, 2018), (Ippolito Cui et al, 2020) รวมถึงผลของ CEC ที่มีความแปรปรวน เกิดจากชนิดของชีวมวล เนื่องไขในการผลิต และวิธีการทำกด ความสามารถในการแลกเปลี่ยนไอออน เช่น การทราบปริมาณสาร  $\text{NH}_4\text{OA}_c$  ที่ pH 7 ที่มีปริมาณเหมาะสมต่อการแลกเปลี่ยนค่า CEC โดยตรง (Munera-Echeverri, Martinsen et al. 2018) เป็นต้น แตกต่างจากวิธีการของงานวิจัย โดยการล้างสารด้วย  $\text{NH}_4\text{OA}_c$  ที่ pH 7 และใช้  $\text{NH}_4^+$  ในการสกัด  $\text{KCl}$  สำหรับหาค่าความจุในการแลกเปลี่ยนประจุบวกในใบโอะชาร์ อีกทั้งผลของการรักษาอุณหภูมิ ที่ 1 ชั่วโมงและ 2 ชั่วโมง ส่งผลให้ค่า CEC ลดลงอีกด้วย

ในการเปรียบเทียบความสามารถในการแลกเปลี่ยนประจุบวกของงานวิจัยและบทความวิจัย อื่น ๆ ที่ส่วนราชการทดสอบใกล้เคียงกัน จากใบโอะชาร์ที่ผลิตจากแกงบ กับบทความวิจัยอื่น ๆ จาก (Claoston Samsuri et al, 2014), (Phuong Uddin et al, 2015) ดังภาพที่ 25 พบว่า ที่อุณหภูมิ ในช่วง 300-500 องศาเซลเซียส การเพิ่มของอุณหภูมิและการรักษาอุณหภูมิส่งผลให้ค่า CEC มีแนวโน้มลดลง โดยมีค่าอยู่ในช่วง 7.4-45.6 cmol(+)/kg แตกต่างจากค่าที่ได้จากการทดสอบของงานวิจัย ในช่วงอุณหภูมิ 300-500 องศาเซลเซียส ค่า CEC ลดลง มีค่าอยู่ในช่วง 13.22-37.49 cmol(+)/kg และมีปริมาณเพิ่มขึ้น ที่อุณหภูมิ 700 องศาเซลเซียส มีค่าในช่วง 16.69-25.59 cmol(+)/kg ซึ่งอาจจะเกิดจากวิธีการวิเคราะห์ โดย (Phuong Uddin et al, 2015) ได้ใช้เอมโมเนียมอิโซเตต เขย่าสารปริมาณ 25 มิลลิลิตร ที่ 1 โมล จากนั้นจะล้างออกด้วย  $\text{KCl}$  ปริมาณ 25 มิลลิลิตร ที่ 0.1 โมล จากนั้นวิเคราะห์ปริมาณไอออนบวกด้วยสาร  $\text{NH}_4\text{OAC}$  ส่วนงานวิจัยของ

(Claoston Samsuri et al, 2014) ใช้วิธีการทดสอบคล้ายกับงานวิจัย ได้ใช้แอมโมเนียมอัซิเตด เขย่าสารปริมาตร 40 มิลลิลิตร ที่ 1 มอล จากนั้นจะล้างไอออนด้วย KCl ปริมาตร 50 มิลลิลิตร ที่ 1 มอล จากนั้นนำเคราะห์ปริมาณไอออนบางด้วยสาร NH<sub>4</sub>OAC





#### 4.8 ผลคุณสมบัติของพื้นที่ผิว (Surface area) และปริมาตรรูพรุน (Pore volume) ของไบโอดาร์

การศึกษาคุณสมบัติพื้นที่ผิวและรูพรุนของไบโอดาร์ เพื่อดูลักษณะสัณฐานวิทยา พื้นที่ผิวและปริมาตรรูพรุนที่เกิดการเปลี่ยนแปลงขึ้นในไบโอดาร์ ที่ผลิตในอุณหภูมิที่แตกต่างกัน ด้วยกล้องจุลทรรศน์แบบส่องกล้อง (SEM) และด้วยวิธีการคูดซับในตรารेन (BET) พบว่า โครงสร้างภายในของไบโอดาร์มีรูพรุนเกิดขึ้น และมีขนาดใหญ่ขึ้น เมื่อเพิ่มอุณหภูมิการให้ความร้อนในการไฟโรไลซิสแบบช้า โดยแสดงลักษณะสัณฐานวิทยา ดังตารางที่ 12

ตารางที่ 12 ลักษณะสัณฐานวิทยาของไบโอดาร์ด้วยกระบวนการไฟโรไลซิสแบบช้า

อุณหภูมิ	แกลบ	ชังข้าวโพด	เม็ดลำไย	เปลือกลำไย	กะลากาแฟ
300					
400					

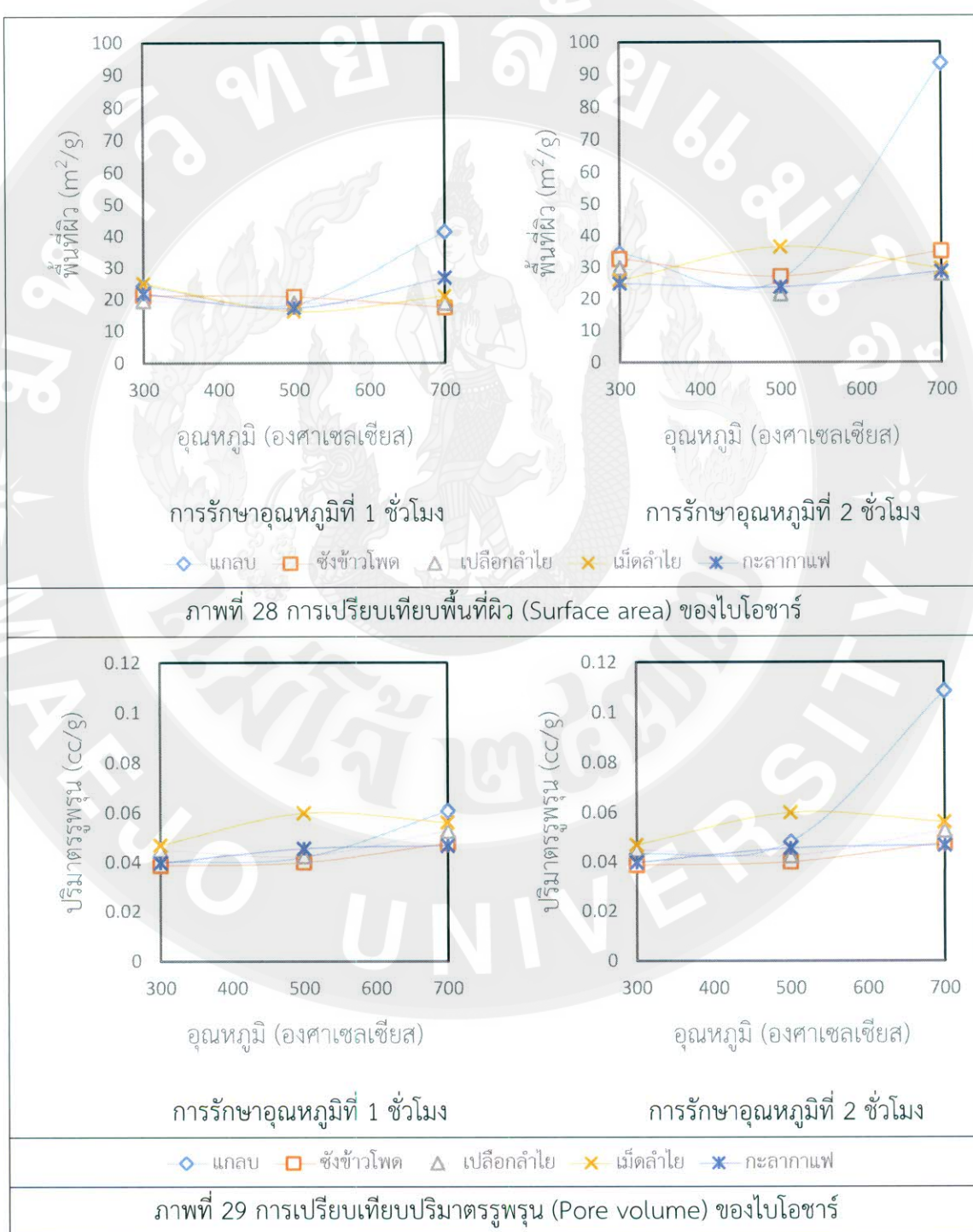
อุณหภูมิ	แกลบ	ซังข้าวโพด	เม็ดลำไย	เปลือกลำไย	กลากาแฟ
500					
600					
700					

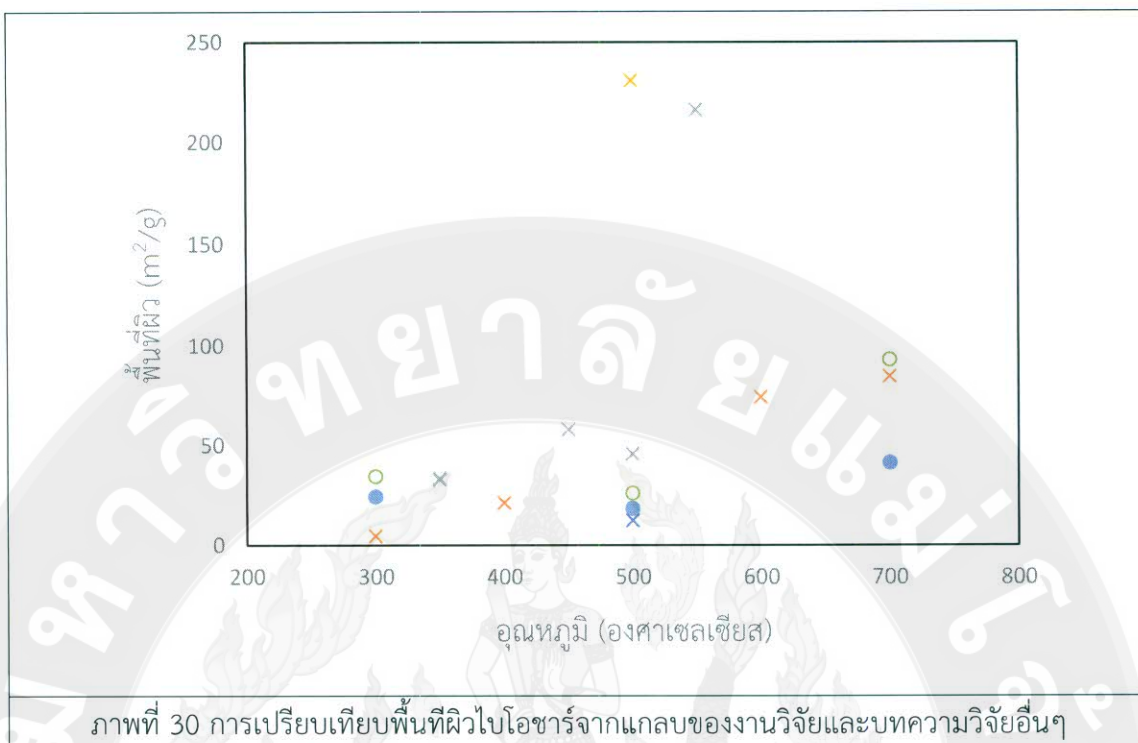
จากการศึกษาพื้นที่ผิวและปริมาตรรูพรุนใบโ้อชาร์ โดยแสดงข้อมูลตั้งภาพที่ 26-27 พบว่า อุณหภูมิมีผลต่อการเปลี่ยนแปลงพื้นที่ผิว โดยใบโ้อชาร์จากแกลบ เปลือกลำไย เม็ดลำไย และ กลากาแฟ ในช่วงอุณหภูมิ 300-500 องศาเซลเซียส พื้นที่ผิวมีปริมาณลดลง จาก  $34.39 \text{ m}^2/\text{g}$  เป็น  $17.22 \text{ m}^2/\text{g}$  และมีพื้นที่ผิวเพิ่มขึ้น ที่อุณหภูมิ 700 องศาเซลเซียส จาก  $17.22 \text{ m}^2/\text{g}$  เป็น  $93.29 \text{ m}^2/\text{g}$  สำหรับปริมาตรรูพรุนที่เกิดขึ้น พบว่า ความร้อนส่งผลต่อปริมาตรรูพรุนที่เกิด เมื่อเพิ่ม อุณหภูมิการทดสอบ 300-700 องศาเซลเซียส ซึ่งแกลบและเปลือกลำไย มีปริมาณเพิ่มขึ้น แตกต่าง จากซังข้าวโพดที่มีปริมาตรรูพรุนลดลง จะเพิ่มขึ้นเมื่อทำการรักษาอุณหภูมิที่ 2 ชั่วโมง สำหรับเม็ด ลำไยและกลากาแฟ จะมีปริมาตรที่ลดลงในช่วงอุณหภูมิ 300-500 องศาเซลเซียส และมีปริมาตรรู พรุนเพิ่มขึ้น เมื่ออุณหภูมิสูงกว่า 500 องศาเซลเซียส อีกทั้งการรักษาอุณหภูมิที่ 1 ชั่วโมงและ 2 ชั่วโมง ยังส่งผลให้พื้นที่ผิวและปริมาตรมีค่าเพิ่มขึ้น โดยเฉพาะใบโ้อชาร์จากแกลบ ที่มีค่าเพิ่มขึ้นมาก 43% แตกต่างจากใบโ้อชาร์ชนิดอื่น ๆ ที่มีค่าเพิ่มขึ้นเล็กน้อย โดยพื้นที่ผิวและปริมาตรรูพรุนที่เกิดขึ้น ในใบโ้อชาร์ เกิดจากชีวมวลเมื่อได้รับความร้อนที่อุณหภูมิแตกต่างกันจะขนาดใหญ่ขึ้น เกิดจากการ ระเหยของสารระเหยที่มีอยู่ในชีวมวล (Brewer Chuang et al, 2014)

เมื่อทำการศึกษาเปรียบเทียบผลการทดสอบของงานวิจัยและงานวิจัยอื่นๆ ของใบโ้อชาร์จาก แกลบ อุณหภูมิ 300-700 องศาเซลเซียส การรักษาอุณหภูมิ 1 ชั่วโมง และ 2 ชั่วโมง ที่อัตราการให้ ความร้อน 5 องศาเซลเซียสต่อนาที และ 10 องศาเซลเซียสต่อนาที เกี่ยวกับพื้นที่ผิวจาก (Lee Park et al, 2013), (Claoston Samsuri et al, 2014), (Park Lee et al, 2014), (Phuong Uddin et al, 2015), (Singh Camps-Arbestain et al, 2017) ตั้งภาพที่ 28 พบว่า พื้นที่ที่เกิดขึ้น



ในการไฟโรไลซิส มีแนวโน้มเพิ่มสูงขึ้น โดยมีค่าอยู่ในช่วง  $4.5-230.92 \text{ m}^2/\text{g}$  ซึ่งมีค่าแตกต่างกับผลการทดสอบของงานวิจัย มากถึง 2.5 เท่า โดยงานวิจัยมีค่าอยู่ในช่วง  $18.43-93.29 \text{ m}^2/\text{g}$  โดยผลของพื้นที่ผิวที่แตกต่างกันอาจจะเกิดจากการควบคุมสภาพการทดสอบของอัตราการไหลของแก๊สในไตรเจน (Chen, Zhou et al. 2014)

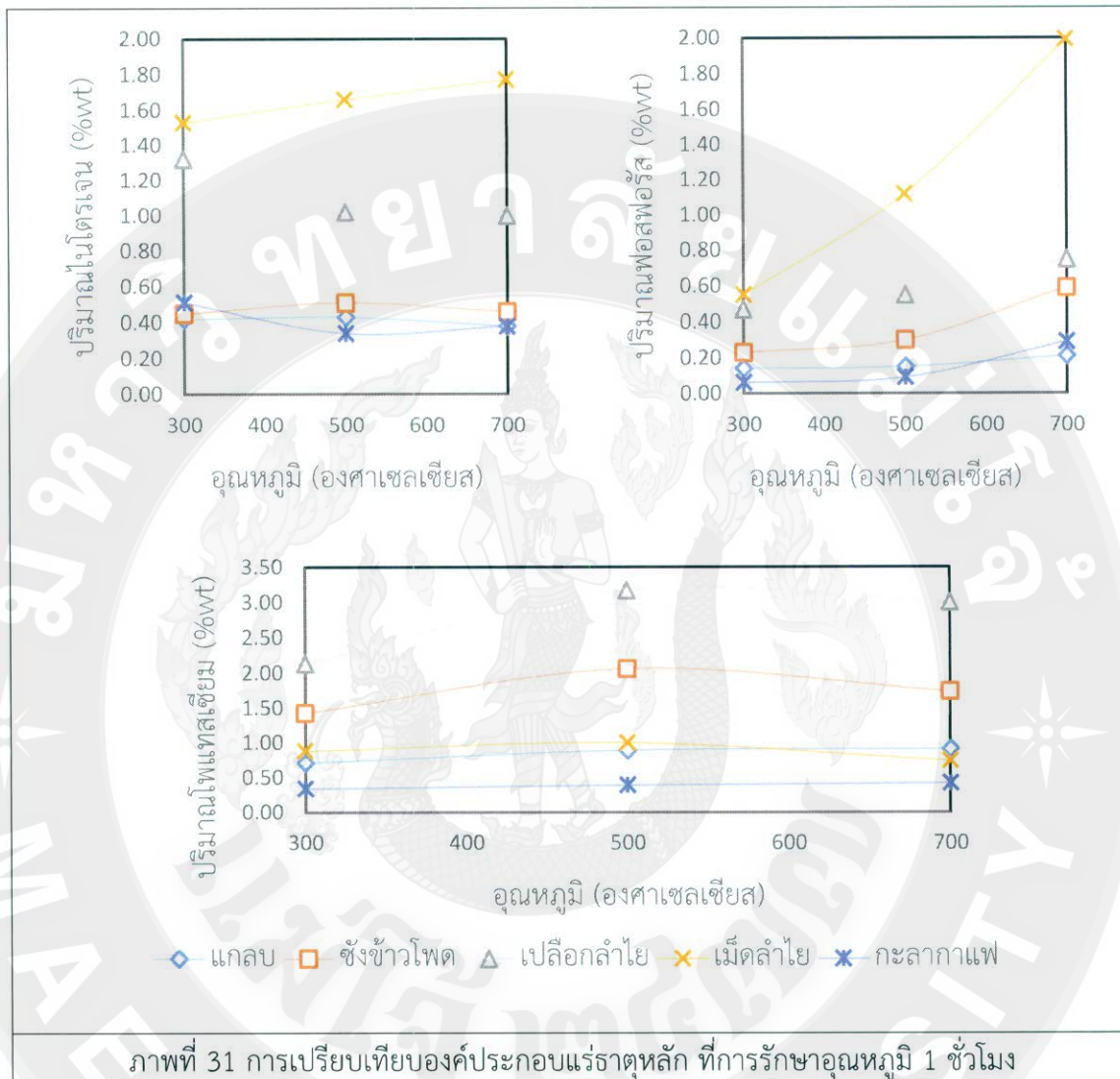




#### 4.9 ผลคุณสมบัติขององค์ประกอบแร่ธาตุหลัก (Micro nutrients) ของใบโอชาร์

การศึกษาองค์ประกอบแร่ธาตุในใบโอชาร์ ได้แก่ ในไตรเจน (N) พอสฟอรัส (P) และโพแทสเซียม (K) โดยมีค่าชีวมวลก่อนเผา ในช่วง 0.31-0.94 0.1-0.45 และ 0.02-0.76 ตามลำดับ จากผลการทดสอบ ดังภาพที่ 29 พบว่า การเพิ่มขึ้นของอุณหภูมิส่งผลให้ปริมาณไนโตรเจน (N) เพิ่มขึ้นในช่วงอุณหภูมิ 300-500 องศาเซลเซียส ใบโอชาร์จากแกลบ ซึ่งข้าวโพด จาก 0.42 เปอร์เซ็นต์โดยน้ำหนัก เป็น 0.51 เปอร์เซ็นต์โดยน้ำหนัก และมีปริมาณลดลงเล็กน้อยเมื่ออุณหภูมิสูง กว่า 500 องศาเซลเซียส ส่วนใบโอชาร์จากเปลือกลำไยและกระกาชาแฟ มีปริมาณไนโตรเจนลดลง เมื่ออุณหภูมิเพิ่มสูงขึ้นจาก 1.32 เปอร์เซ็นต์โดยน้ำหนัก เป็น 0.38 เปอร์เซ็นต์โดยน้ำหนัก ส่วน ปริมาณฟอสฟอรัส (P) มีปริมาณเพิ่มขึ้นเมื่อเพิ่มอุณหภูมิในการไฟโรไลซิส โดยเฉพาะใบโอชาร์จาก เม็ดลำไย มีที่ปริมาณสูงสุด ที่ 1.99 เปอร์เซ็นต์โดยน้ำหนัก ซึ่งสูงกว่าใบโอชาร์ชนิดอื่นๆอย่างมาก อีก ทั้งปริมาณโพแทสเซียม (K) มีปริมาณลดลง เมื่อเพิ่มอุณหภูมิสูงขึ้น เนื่องจากการเปลี่ยนแปลง ผลทดสอบของปริมาณ N ประกอบด้วยอนินทรีย์ กลุ่มโปรตีนและกลุ่มกรดอะมิโนบางตัวที่มีอยู่ในชีว มวล เมื่อได้รับความร้อนโปรตีนจะเกิดการย่อยสลายอย่างสมบูรณ์ที่อุณหภูมิ 300 องศาเซลเซียส เป็น ต้นไป และกรดอะมิโน ที่อุณหภูมิสูงกว่า 400 องศาเซลเซียส จึงทำให้ปริมาณไนโตรเจนเพิ่มสูงขึ้น สำหรับปริมาณ P K จะมีปริมาณเพิ่มขึ้นเมื่อเพิ่มอุณหภูมิในการให้ความร้อน แต่ทั้งนี้ขึ้นอยู่กับวิธีการ และเลือกประเภทของกรดที่เหมาะสมในการสกัดอีกด้วย (Singh Camps-Arbestain et al, 2017)

อย่างไรก็ตามการศึกษาองค์ประกอบแร่ธาตุหลักในใบโอชาร์ของงานวิจัย เป็นไปตามมาตรฐาน EBC และ IBI กำหนด ในระดับ Premium grade



#### 4.10 ผลคุณสมบัติองค์ประกอบแร่ธาตุโลหะหนัก (Heavy metal) ของใบโอชาร์

จากการทดสอบแร่ธาตุโลหะหนักในใบโอชาร์ ดังตารางที่ 13 พบว่า อุณหภูมิและเวลาในการรักษาอุณหภูมิ ณ การทดสอบ มีผลต่อการเปลี่ยนแปลงคุณสมบัติของแร่ธาตุโลหะหนัก โดยทั่วไปแร่ธาตุโลหะหนักมีอยู่ในชิมวลเป็นปกติ ซึ่งเมื่อเพิ่มอุณหภูมิความร้อนการไฟโรไลซิส ส่งผลให้ปริมาณแร่ธาตุ แมกนีเซียม (Mg) แคลเซียม (Ca) ตะกั่ว (Pb) สังกะสี (Zn) แมงกานีส (Mn) สารหนู (As) และซีลีเนียม (Se) มีความเข้มข้นเพิ่มสูงขึ้น แตกต่างจากแร่ธาตุทองแดง (Cu) นิเกิล (Ni) และ硼อน (B) ในใบโอชาร์จากแกลบ และใบโอชาร์จากชั้นหิน มีความเข้มข้นของแร่ธาตุโลหะหนักลดลง

ส่วนใบโอchar เปลือกจำไย เม็ดจำไย และกะลากาแฟ มีความเข้มข้นเพิ่มสูงขึ้น ซึ่งปริมาณแร่ร่าตุปortho (Hg) มีความเข้มข้นลดลง รวมถึงปริมาณสังกะสี (Zn) และ โครเมียม (Cr) มีความเข้มข้นของโลหะหนักเพิ่มขึ้น โดยแร่ร่าตุโลหะหนักที่ได้จากวิเคราะห์ใบโอchar ของแร่ร่าตุแคทเมียม (Cd) และโคบอลต์ (Co) มีความเข้มข้น น้อยจนถึงไม่สามารถตรวจพบในใบโอchar อย่างไรก็ตามผลการวิเคราะห์แร่ร่าตุโลหะหนักของงานวิจัย มีค่าไม่เกินมาตรฐาน EBC และ IBI ที่กำหนดไว้

ตารางที่ 13 ผลการทดสอบปริมาณแร่ร่าตุโลหะหนัก (Heavy metal) ในใบโอchar

ชื่蝥ล	อุณหภูมิ การรักษา	อุณหภูมิ	Heavy metals (mg/kg)														
			ทดสอบ	(°C)	(นาที)	Mg	Ca	Pb	Cd	Cu	Ni	Hg	Zn	Cr	Fe	Mn	As
แกลบ	-	-	541.6	767.4	N/A	N/A	32.53	4.609	4.53	54.93	9.72	288.6	146.8	N/A	N/A	0.07	6.404
		60	580.7	750.9	0.68	N/A	3.14	1.107	0.11	29.57	3.69	89.26	275.2	0.29	N/A	0.57	5.76
	300	120	656.6	777.1	3.16	N/A	7.58	13.83	1.97	37.76	5.45	146.8	265.5	0.34	N/A	0.23	7.01
		60	534.9	749.1	5.39	N/A	4.14	7.248	N/A	100.40	8.13	124.8	259.8	0.57	N/A	0.71	5.79
	500	120	590.0	747.8	1.52	N/A	2.88	2.282	N/A	28.08	5.25	150.4	238.6	0.25	N/A	0.37	4.57
		60	664.7	780.7	10.56	N/A	16.06	7.08	1.64	78.21	23.16	491.7	354.2	0.12	N/A	N/A	7.34
ข้าวโพด	700	120	625.9	760.8	11.28	N/A	8.71	1.032	0.00	111.70	0.63	83.5	333.9	0.50	N/A	0.60	7.28
		-	389.9	528.5	N/A	N/A	2.58	3.17	4.50	25.68	7.71	268.1	11.86	N/A	N/A	0.04	1.32
	300	60	665.3	741.2	0.11	N/A	7.31	0.6418	0.01	65.76	1.60	64.97	40.98	0.41	N/A	0.53	3.03
		120	681.0	713.2	3.94	N/A	5.26	0.1957	N/A	169.60	2.38	80.6	31.8	0.17	N/A	0.63	0.11
	500	60	680.6	754.9	2.28	N/A	7.25	N/A	0.12	144.00	0.32	73.94	25.06	0.45	N/A	0.40	3.66
		120	676.0	748.9	0.25	N/A	9.12	0.5329	N/A	146.80	3.07	104.5	35.81	0.73	N/A	0.52	2.04
	700	60	660.1	734.4	0.88	N/A	11.49	0.7101	N/A	70.67	0.42	66.92	22.53	0.01	N/A	0.50	2.43

ชีมวล	การรักษา		Heavy metals (mg/kg)														
	อุณหภูมิ (°C)	การทดสอบ (นาที)	Heavy metals (mg/kg)														
			Mg	Ca	Pb	Cd	Cu	Ni	Hg	Zn	Cr	Fe	Mn	As	Co	Se	B
		120	603.5	730.3	5.49	N/A	5.88	2.07	N/A	56.32	5.90	287.8	25.71	0.37	N/A	0.53	1.89
เปลือก ลำไย	-	-	691.7	757.8	N/A	N/A	6.70	0.5118	4.44	23.97	0.93	81.47	85.44	N/A	N/A	N/A	21.92
	300	60	665.2	707.60	14.04	N/A	23.49	4.276	0.00	118.00	1.37	55.96	61.8	N/A	N/A	0.25	28.55
		120	674.4	727.10	3.07	N/A	24.96	2.146	4.35	62.53	0.73	64.59	97.9	N/A	N/A	N/A	27.51
	500	60	659.50	701.70	3.72	N/A	19.24	5.493	N/A	123.80	5.51	106.2	97.29	N/A	N/A	0.68	46.52
		120	673.8	714.9	1.16	N/A	19.27	4.038	N/A	60.31	0.66	86.77	101.2	0.13	N/A	0.49	49.83
	700	60	665.90	704.10	2.09	N/A	19.85	2.928	N/A	86.28	0.74	84.47	240.3	0.36	N/A	0.76	53.54
		120	661.0	703.5	0.98	N/A	30.68	7.091	N/A	55.59	1.34	169.5	99.86	N/A	N/A	0.20	42.37
เม็ดลำไย	-	-	656.2	768.1	N/A	N/A	7.87	1.319	4.55	13.26	N/A	75.62	13.77	N/A	N/A	N/A	12.06
	300	60	671.5	758.3	0.37	2.936	14.53	10.46	N/A	36.49	15.79	115.1	17.1	N/A	2.931	0.37	13.14
		120	656.9	729.60	2.58	N/A	12.59	5.362	N/A	48.02	6.39	100.6	14.37	N/A	N/A	0.48	16.41
	500	60	666.7	737.4	0.66	N/A	17.84	4.24	0.01	36.82	2.23	79.88	16.24	0.22	N/A	0.66	22.46
		120	658.9	730.00	0.38	N/A	17.76	3.559	0.10	33.74	1.42	60.06	16.81	0.19	N/A	0.56	18.98
	700	60	660.60	731.90	1.49	N/A	20.58	4.392	N/A	49.46	1.05	54.84	21.9	N/A	N/A	0.74	29.44
		120	669.8	742.10	6.53	N/A	22.80	4.433	0.03	51.30	1.48	79.98	18.98	0.74	N/A	0.49	27.22
กาละ กาแฟ	-	-	342	760.7	N/A	N/A	2.71	N/A	4.49	5.59	N/A	29.25	10.61	N/A	N/A	0.12	21.92
	300	60	318.7	732.3	N/A	N/A	6.53	N/A	N/A	11.50	0.23	104.3	15.66	0.21	N/A	N/A	1.43
		120	365.9	740.9	0.1213	N/A	7.49	N/A	N/A	17.84	0.13	103.8	18.64	0.09	N/A	0.40	1.58

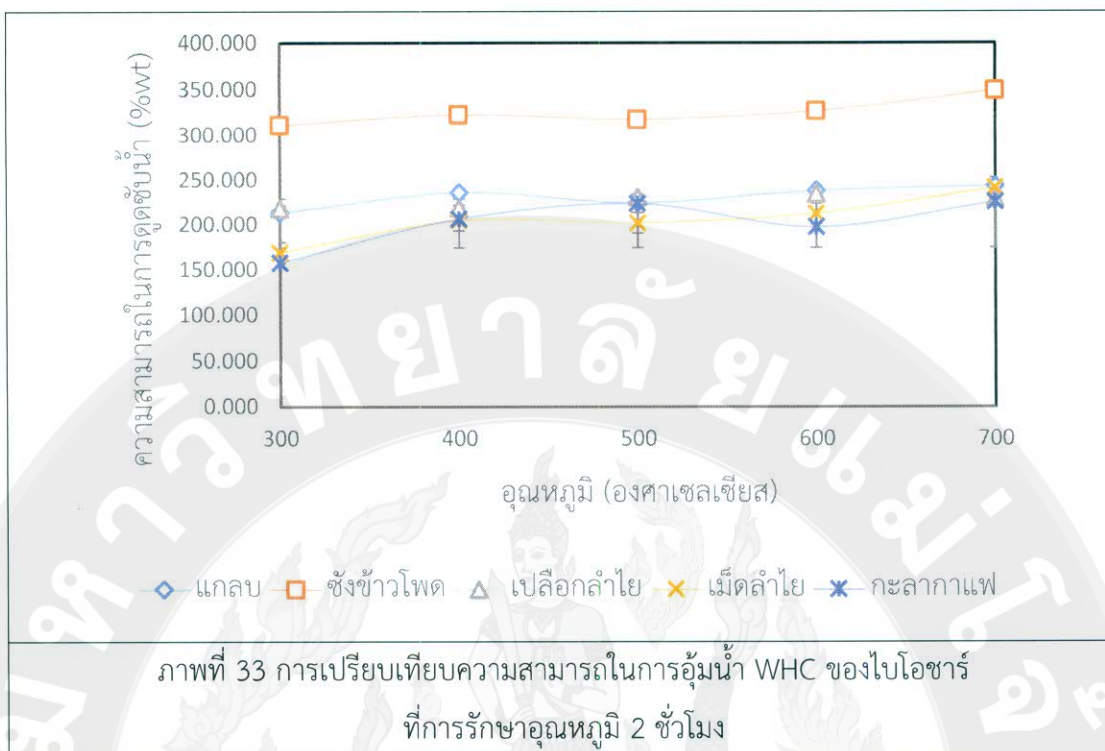
ชีวมวล	การรักษา		Heavy metals (mg/kg)														
	อุณหภูมิ (°C)	อุณหภูมิ (นาที)	Mg	Ca	Pb	Cd	Cu	Ni	Hg	Zn	Cr	Fe	Mn	As	Co	Se	B
500	60	660.9	777.8	7.07	N/A	16.63	1.438	1.73	41.62	9.52	154.7	41.83	0.39	N/A	0.18	5.78	
	120	519.7	733	6.712	N/A	12.02	0.7627	0.10	32.83	3.09	107.4	27.35	0.40	N/A	0.54	2.22	
700	60	663.9	778.3	3.99	N/A	20.82	5.758	1.61	26.07	16.05	500.9	66.32	0.20	N/A	N/A	7.52	
	120	618.6	732.6	0.7471	N/A	14.23	0.6672	0.06	15.41	0.81	97.88	36.17	0.18	N/A	0.35	3.92	

#### 4.11 ผลความสามารถในการดูดซับน้ำ (Water Holding Capacity: WHC)

จากการศึกษาความสามารถในการการอุ้มน้ำ (WHC) ของใบโอชาร์จากเศษวัสดุเกษตรทั้ง 5 ชนิด โดยช่วงมวลก่อนเผามีค่าอยู่ในช่วง 289-454 เปอร์เซ็นต์โดยน้ำหนัก เมื่อการไฟโรไลซิสแบบชา ที่อุณหภูมิ 300-700 องศาเซลเซียส ดังภาพที่ 30-31 พบว่า อุณหภูมิและเวลาในการรักษาอุณหภูมิ ส่งผลต่อความสามารถในการดูดซับน้ำมีแนวโน้มเพิ่มขึ้น เมื่ออุณหภูมิและเวลาในการให้ความร้อน โดยใบโอชาร์จากซังข้าวโพด มีความสามารถในการดูดซับน้ำในสูงสุด ในช่วง 286.56-349.07 เปอร์เซ็นต์โดยน้ำหนัก และใบโอชาร์จากแกลบ เปลือกลำไย เม็ดลำไย และกะลากาแฟ มีความสามารถในการดูดซับน้ำใกล้เคียงกัน ที่การรักษาอุณหภูมิที่ 1 ชั่วโมง มีค่าอยู่ในช่วง 49.12-237.5 เปอร์เซ็นต์โดยน้ำหนัก ซึ่งการรักษาอุณหภูมิที่ 2 ชั่วโมง มีความสามารถในการดูดซับได้สูงกว่า การรักษาอุณหภูมิอุณหภูมิที่ 1 ชั่วโมง จาก 49.12 เปอร์เซ็นต์โดยน้ำหนัก เป็น 114.08 เปอร์เซ็นต์ โดยน้ำหนัก จะเห็นได้ว่าอุณหภูมิและเวลาในการรักษาอุณหภูมิ ส่งผลให้ความสามารถในการดูดซับมีค่าสูงขึ้น

จากการศึกษาพื้นที่ผิวและรูพรุน พบว่า มีความสัมพันธ์กับความสามารถในการดูดซับน้ำ เมื่อได้รับอุณหภูมิและการรักษาอุณหภูมิที่แตกต่างกัน ส่งผลให้ความสามารถในการดูดซับน้ำ มีปริมาณเพิ่ม ซึ่งขึ้นอยู่กับปริมาตรรูพรุนและพื้นที่ผิวของถ่านชีวภาพ หากใบโอชาร์มีรูพรุนสูง มีผลให้ความสามารถในการดูดซับน้ำเพิ่มขึ้น (Batista, Shultz et al. 2018, Weber and Quicker 2018) ซึ่งผลจากการทดสอบพื้นที่ผิวและปริมาตรรูพรุนในใบโอชาร์เทียบกับความสามารถในการดูดซับน้ำ มีแนวโน้มเพิ่มขึ้นไปในทิศทางเดียวกัน ยกเว้นใบโอชาร์แกลบและซังข้าวโพด ที่มีผลการทดสอบไม่เป็นไปในทิศทางเดียวกัน อาจมีผลกระทบที่เกิดจากการนำมันดินหรือสารระเหยอุดตันในรูพรุน ในช่วงการเกิดปฏิกิริยาการให้ความร้อนที่อุณหภูมิต่างๆ (Das and Sarmah, 2015)



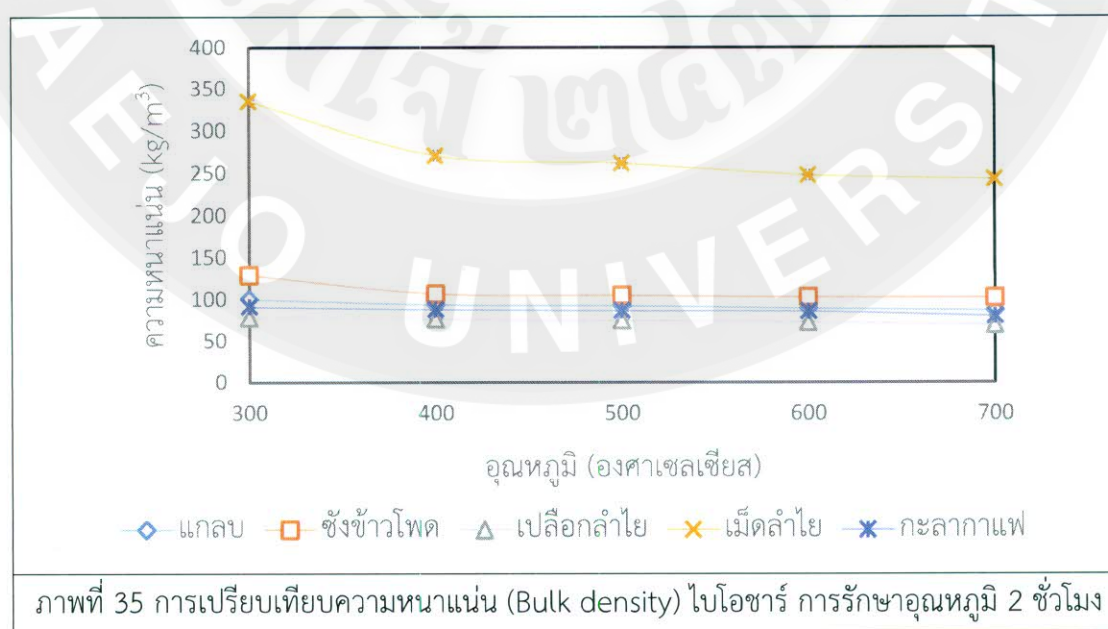
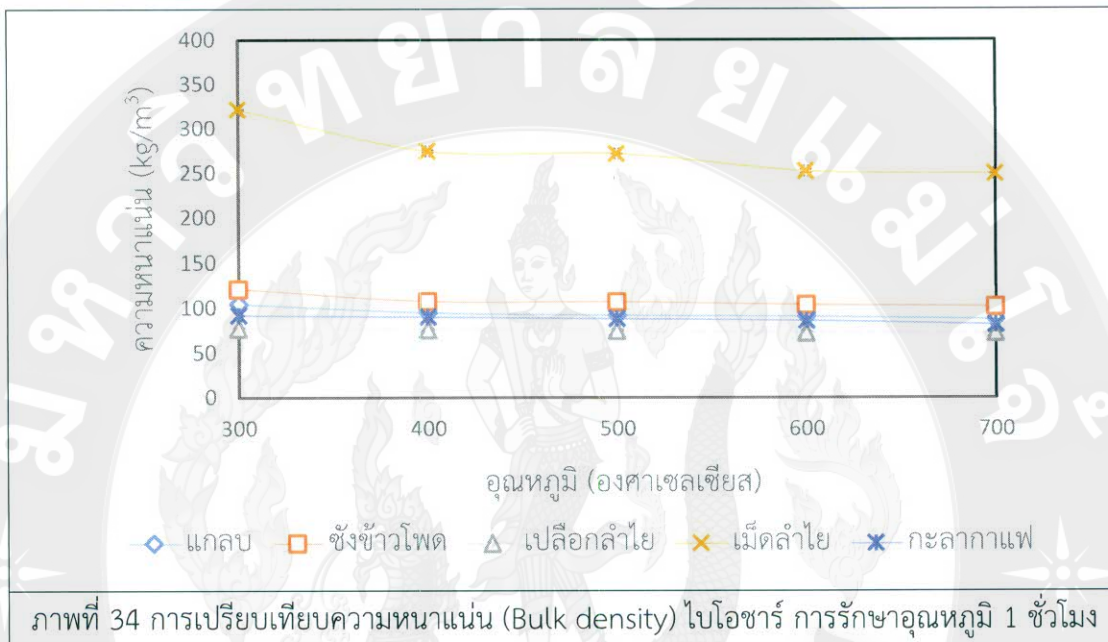


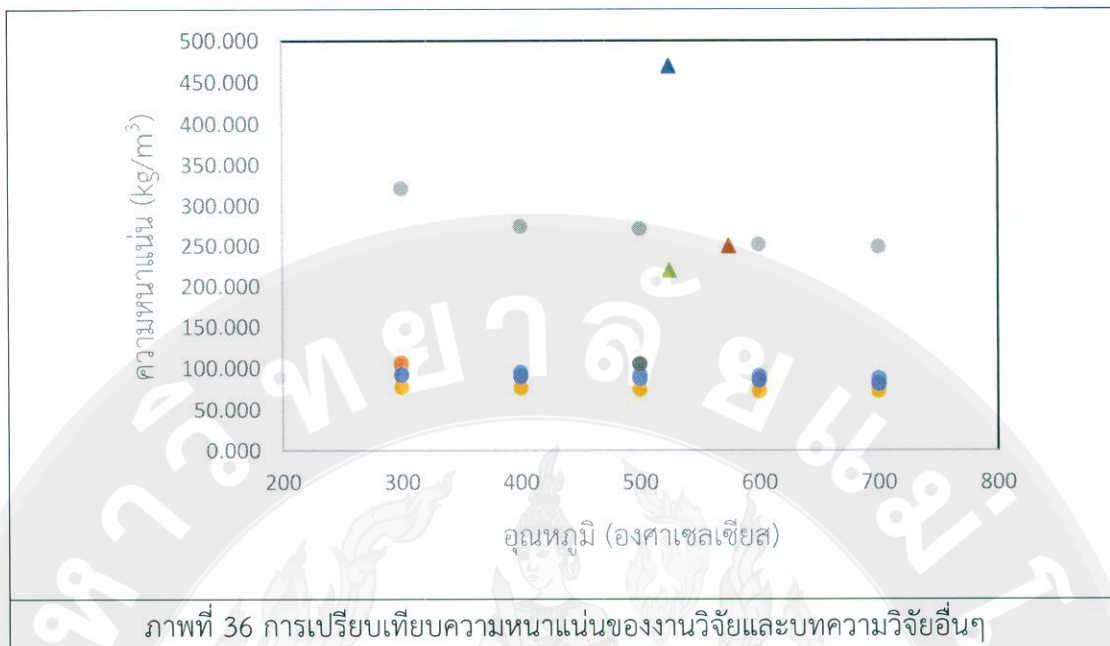
#### 4.12 ผลคุณสมบัติความหนาแน่น (Bulk density) ของใบโอชาาร์

การศึกษาความหนาแน่นของใบโอชาาร์ โดยช่วงมวลก่อนเผาเมื่อค่าในช่วง  $82-671 \text{ kg/m}^3$  เมื่อตัวเข้าสู่กระบวนการไฟโรไลซิสแบบช้า ดังภาพที่ 32-33 พบร้า การเพิ่มขึ้นของอุณหภูมิ ส่งผลให้ความหนาแน่นลดลง ซึ่งผลจากการทดสอบมีค่าไม่แตกต่างกันมากนักของใบโอชาาร์จากแกลบ ซังข้าวโพด เปเลือก lame และกะลากาแฟ มีค่าในช่วง  $72.72-128.82 \text{ kg/m}^3$  ที่การรักษาอุณหภูมิ 1 ชั่วโมง และ 2 ชั่วโมง ซึ่งแตกต่างจากใบโอชาาร์เม็ด lame ที่มีค่าความหนาแน่นสูงกว่าใบโอชาาร์ชนิดอื่น ๆ ถึง 3 เท่า มีค่าในช่วง  $242.48-321.58 \text{ kg/m}^3$  ซึ่งค่าความหนาแน่นที่แตกต่างกัน ขึ้นอยู่กับปริมาตรรูพุนที่เพิ่มขึ้นในใบโอชาาร์ ทำให้ค่าความหนาแน่นลดลง เนื่องจากสารระเหยถูกกำจัดออกไปเมื่อเพิ่มอุณหภูมิการไฟโรไลซิสสูงขึ้น (Brewer Chuang et al, 2014), (Weber and Quicker, 2018)

เมื่อทำการศึกษาเปรียบเทียบผลการทดสอบของงานวิจัยและงานวิจัยอื่น ๆ ที่อุณหภูมิ 300-700 องศาเซลเซียส การรักษาอุณหภูมิ 1 ชั่วโมง เกี่ยวกับความหนาแน่นของใบโอชาาร์จากแกลบ (ของงานวิจัย) พางข้าว กิงไม้ (Burrell Zehetner et al, 2016) ไม้ไผ่ (Hernandez-Mena Pecoraa et al, 2014) พบร้า การเพิ่มอุณหภูมิในการไฟโรไลซิส ส่งผลให้ค่าความหนาแน่นมีค่าแตกต่าง โดยใบโอชาาร์จากงานวิจัยมีค่าในช่วง  $79.98-321.58 \text{ kg/m}^3$  ส่วนใบโอชาาร์จากงานวิจัย

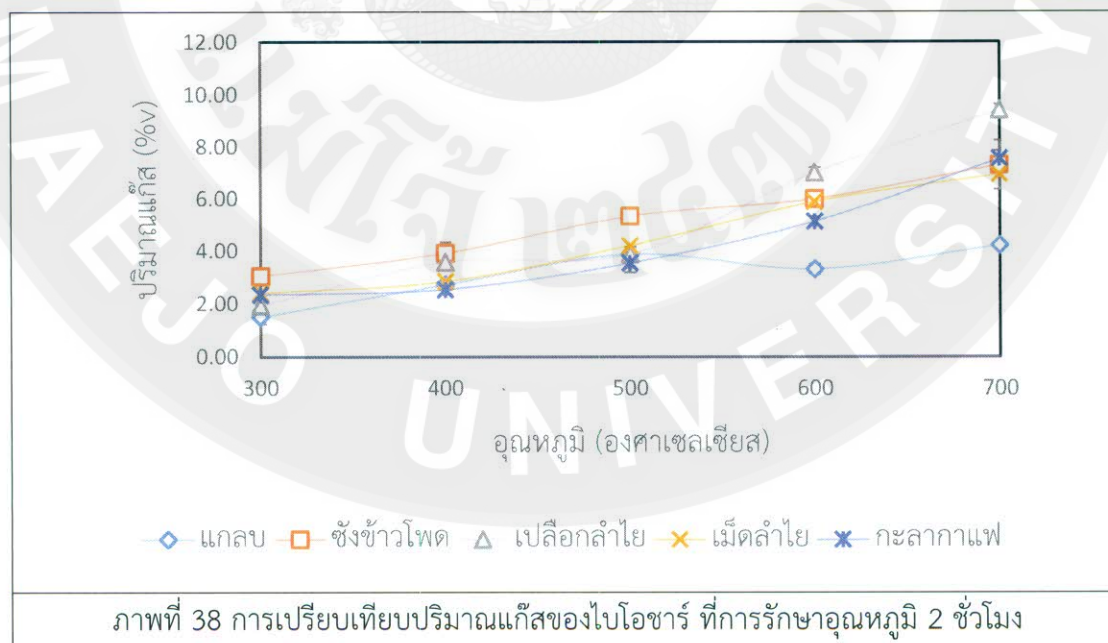
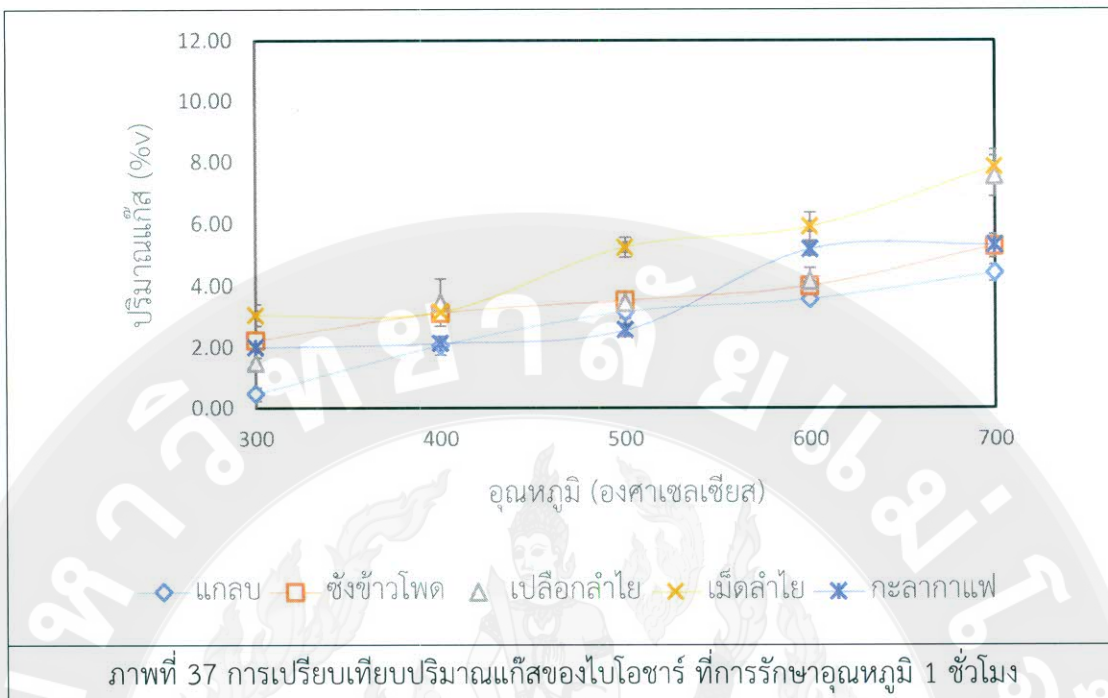
มีค่าในช่วง  $105\text{--}470 \text{ kg/m}^3$  เนื่องอุณหภูมิการไฟโรไลซิสส่งผลให้ค่าความหนาแน่นแตกต่างกันรวมถึงชนิดของชีวมวลที่นำมาใช้ในการผลิตไปโอลาร์ ยังส่งค่าความหนาแน่นแตกต่างกันอีกด้วย

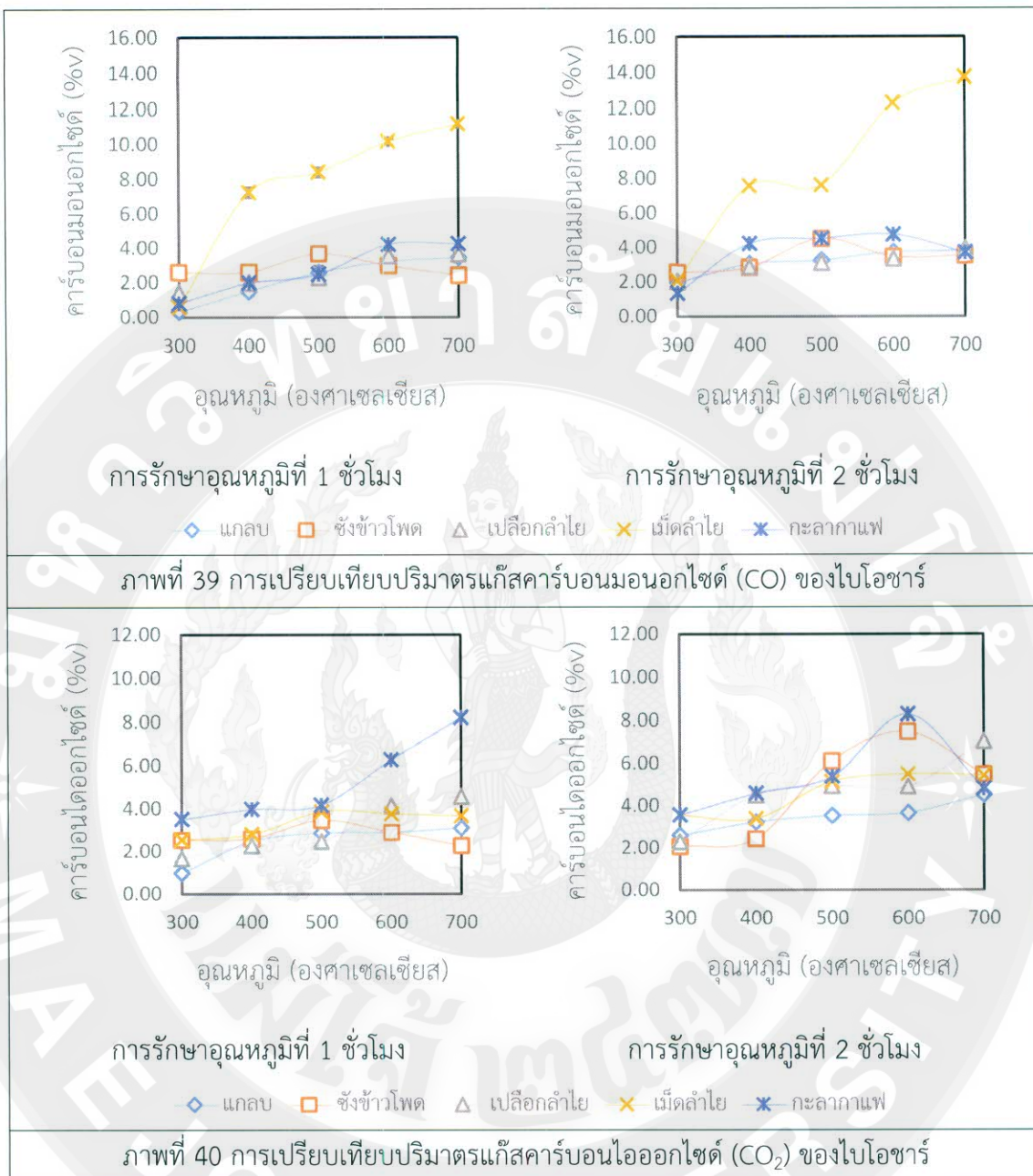




#### 4.13 ผลปริมาณแก๊ส (Gas volume) และองค์ประกอบแก๊ส (Gas composition) ที่ได้จากการผลิตใบโอชาร์

จากการผลิตใบโอชาร์จากชีมวลที่เป็นเศษสุดเกษตรด้วยกระบวนการไฟฟ้าไลซิส ดังภาพที่ 35-36 พบว่า การเพิ่มขึ้นของอุณหภูมิ มีผลต่อปริมาณแก๊สที่เพิ่มขึ้น มีค่าในช่วง 1.80-8.50 ลิตร อีกทั้งการเพิ่มขึ้นของการรักษาอุณหภูมิ 2 ชั่วโมง สามารถผลิตแก๊สได้สูงกว่าการรักษาอุณหภูมิที่ 1 ชั่วโมง โดยชีมวลจากเม็ดลำไย สามารถผลิตแก๊สได้สูงสุดที่ 8.3 ลิตร ที่การรักษาอุณหภูมิ 1 ชั่วโมง และเปลือกลำไยมีค่าสูงสุดที่ 8.5 ลิตร ที่การรักษาอุณหภูมิ 2 ชั่วโมง ทั้งนี้การเพิ่มขึ้นของปริมาณแก๊สเกิดจากการทำปฏิกิริยาทางเคมีระหว่างความร้อนและชีมวล จึงสามารถวัดผลขององค์ประกอบแก๊ส ดังภาพที่ 37-38 พบร่วมกับ องค์ประกอบของแก๊สคาร์บอนมอนอกไซด์มีแนวโน้มเพิ่มสูงขึ้น เมื่อเพิ่มอุณหภูมิและเวลาการรักษาอุณหภูมิ โดยชีมวลจากเม็ดลำไย สามารถผลิตแก๊สคาร์บอนมอนอกไซด์สูงสุดที่ 13.73 เปอร์เซ็นโดยปริมาตร ส่วนชีมวลชนิดอื่นๆ สามารถผลิตปริมาณแก๊สออกมากในปริมาตรที่ใกล้เคียงกัน มีค่าอยู่ในช่วง 0.30-3.93 เปอร์เซ็นโดยปริมาตร สำหรับปริมาณคาร์บอนไดออกไซด์ มีแนวโน้มเพิ่มสูงขึ้นเมื่อเพิ่มอุณหภูมิและเวลาการรักษาอุณหภูมิ





#### 4.14 ผลขององค์ประกอบที่ได้จากน้ำมันดิน (Tar)

การผลิตใบโอชาาร์ด้วยกระบวนการไฟโรไลซิส จากเศษวัสดุเกษตร ได้แก่ ซังข้าวโพด ที่ อุณหภูมิ 300-700 องศาเซลเซียส ใน การรักษาอุณหภูมิ 1 ชั่วโมง ดังตารางที่ 14-16 พบว่า การเพิ่มขึ้นของอุณหภูมิ ส่งผลให้องค์ประกอบทางเคมีในน้ำมันดิน มีค่าแตกต่างกันเล็กน้อย โดย องค์ประกอบทางเคมีที่พบส่วนใหญ่ เป็นกลุ่มของสารไฮโดรฟานอล อาจเกิดการระเหยเมื่อหมุดจาก การกระบวนการกลั่น เนื่องจากมีการใช้สารไฮโดรฟานอลในการตักน้ำมันดินระหว่างเกิดปฏิกิริยาขึ้น ในการผลิตใบโอชาาร์จากซังข้าวโพด อีกทั้งยังพบกลุ่มกรดอะซิติก กลุ่มเพฟานอล กลุ่มโพฟานิก เกิด

จากการสลายตัวของเอมิเซลลูโลสและเซลลูโลส ในขณะที่กลุ่มฟีนอล และ 2-Cyclopenten-1-one ส่วนใหญ่เกิดจากการสลายตัวของลิกนิน ซึ่งที่อุณหภูมิในช่วง 300-500 องศาเซลเซียส มีองค์ประกอบของทางเคมีที่ไม่แตกต่างกันมากนัก ซึ่งที่อุณหภูมิที่ 700 องศาเซลเซียส จะมีองค์ประกอบของทางเคมีชนิดอื่น ๆ เช่น กลุ่มเบนซิน เป็นต้น

ตารางที่ 14 องค์ประกอบของใบโอชาจากชั้นข้าวโพด ที่อุณหภูมิ 300 องศาเซลเซียส

ลำดับ	องค์ประกอบของสาร	Relative quantity	quantity
		(佩อร์เซ็นต์)	(佩อร์เซ็นต์)
1	2-Propanone (Acetone)	2.299	80
2	Formic acid	2.511	83
3	2-Propanone (2-Hydroxypropane)	2.622	86
4	Decane	4.599	94
5	2-Butanone	9.104	86
6	2-Cyclopenten-1-one	9.798	90
7	Tetradecane	9.975	98
8	Acetic acid	10.41	90
9	2-Propanone (1-Acetyloxy)	10.569	80
10	2-Furancarboxaldehyde	10.622	95
11	Hydrazine	10.863	86
12	Propanoic acid	11.016	95
13	Hexadecane	11.34	97
14	Butanoic acid	11.581	83
15	2-Furanmethanol	11.822	95
16	Phenol (2-Methoxy)	13.039	95
17	Phenol (Sodium phenoxide)	13.839	91



ตารางที่ 15 องค์ประกอบทางเคมีของใบโ袖าร์จากชั้งข้าวโพด ที่อุณหภูมิ 500 องศาเซลเซียส

ลำดับ	องค์ประกอบของสาร	Relative quantity (เปอร์เซ็นต์)	quantity (เปอร์เซ็นต์)
1	2-Propanone (Acetone)	2.511	91
2	Isopropyl alcohol (2-Propanol)	2.634	86
3	2-Propanone (2-Hydroxypropane)	3.681	80
4	Decane	4.587	91
5	Dodecane	8.075	97
6	2-Cyclopenten-1-one	9.798	91
7	Tetradecane	9.963	98
8	Acetic acid	10.416	91
9	2-Furancarboxaldehyde	10.622	95
10	Propanoic acid	11.016	91
11	Hexadecane	11.339	98
12	2-Furanmethanol	11.822	97
13	2-Methoxyphenol	13.033	97
14	Phenol (Sodium phenoxide)	13.839	91

ตารางที่ 16 องค์ประกอบทางเคมีของใบโ袖าร์จากชั้งข้าว ที่อุณหภูมิ 700 องศาเซลเซียส

ลำดับ	องค์ประกอบของสาร	Relative quantity (เปอร์เซ็นต์)	quantity (เปอร์เซ็นต์)
1	2-Propanone (Acetone)	2.293	80
2	Formic acid	2.505	91
3	2-Propanone (2-Hydroxypropane)	2.617	86
4	Dodecane	8.075	96
5	2-Cyclopenten-1-one (Cyclopenten)	9.793	94
6	2-Cyclopenten-1-one (2-Methyl)	9.881	95
7	Tetradecane	9.963	98
8	Acetic acid	10.381	91

ลำดับ	องค์ประกอบของสาร	Relative quantity	quantity
		(เปอร์เซ็นต์)	(เปอร์เซ็นต์)
9	2-Propanone	10.563	80
10	2-Furancarboxaldehyde	10.622	96
11	Propanoic acid	11.01	94
12	2-Cyclopenten-1-one	11.051	96
13	Hexadecane	11.339	98
14	Butanoic acid	11.581	91
15	2-Furanmethanol	11.822	97
16	Carbamic acid	11.928	83
17	2-Methoxyphonal	13.034	96
18	Benzene	13.581	93
19	Phenol (2-Methyl)	13.798	95
20	Phenol (Sodium phenoxide)	13.833	94

#### 4.15 การวิเคราะห์ใบโ去买ที่มีจำหน่ายในห้องตลาด

ในการศึกษาคุณสมบัติของใบโ去买ที่ในห้องตลาด ทั้งหมดจำนวน 11 ร้านค้า โดยการศึกษาจะใช้วิธีการสัมตัวอย่างจากปริมาณทั้งหมดที่ได้รับ ซึ่งส่วนใหญ่เป็นใบโ去买 100% ลักษณะของใบโ去买มีความ perse และสีดำเนา ซึ่งใบโ去买ที่นำมาใช้ในการวิเคราะห์คุณสมบัติจะใช้เพียง 1-2 ถุงไม่เกิน 1 กิโลกรัม มีรายละเอียดของร้านค้า ดังนี้

ตารางที่ 17 รายละเอียดของชื่อร้านค้าในห้องตลาด

ลำดับที่	ชื่อร้านค้าในห้องตลาด	ใบโ去买
1	สหโภคเจนกรีน	กิงแล๊บ
2	บ้านใบโ去买	กิงแล๊บ
3	คินแคร์ (ไทยแลนด์)	ไม่มี
4	โรงพยาบาลแห่งพยาบาลราชวิถี	ไม่มี
5	มูลนิธิอุ่นใจ	ไม่มี
6	ฟาร์มบ้านบ้าน	กิงไม้ผสม (ประดู่เป็นส่วนมาก)
7	ที.เค.ปุยเคมีอินทรีย์-ชีวภาพ จำกัด	ไม่มี

ลำดับที่	ชื่อร้านค้าในห้องทดลอง	ใบโอชาร์
8	สะระตะ	ไม่มีขึ้นต้น
9	groupup	เศษไม้ผสม
10	วังยางนา	ไม้
11	คืนดี	ไม้ฝ่า

4.15.1 คุณสมบัติขององค์ประกอบธาตุ (Ultimate) และปริมาณกลุ่มสาร (Proximate)

ตารางที่ 18 การเปรียบเทียบปริมาณกลุ่มสารใบโอชาร์ในห้องทดลอง

ร้านค้าในห้องทดลอง	Moisture content	Volatile matter	Ash content	Fix Carbon
	%	%	%	%
sagacogen green	9.06	13.42	10.35	67.17
บ้านใบโอชาร์	8.02	18.36	41.18	32.44
คืนแคร์ (ไทยแลนด์)	8.04	10.04	47.36	34.56
โรงถ่านอัดแท่งพาวเวอร์ ชาร์โคล	2.97	9.22	69.85	17.96
มูลนิธิอุ่นใจ	9.35	12.86	21.29	56.5
พาร์มบ้านบ้าน	6.64	16.9	9.17	67.29
ที.เค.ปุยอินทรีย์-ชีวภาพ จำกัด	11.2	7.29	8.61	72.9
สะระตะ	6	14.43	45.06	34.51
Groupup	9.05	13.56	9.65	67.74
วังยางนา	7.25	24.06	10.33	58.36
คืนดี	10.99	7.76	9.36	71.89

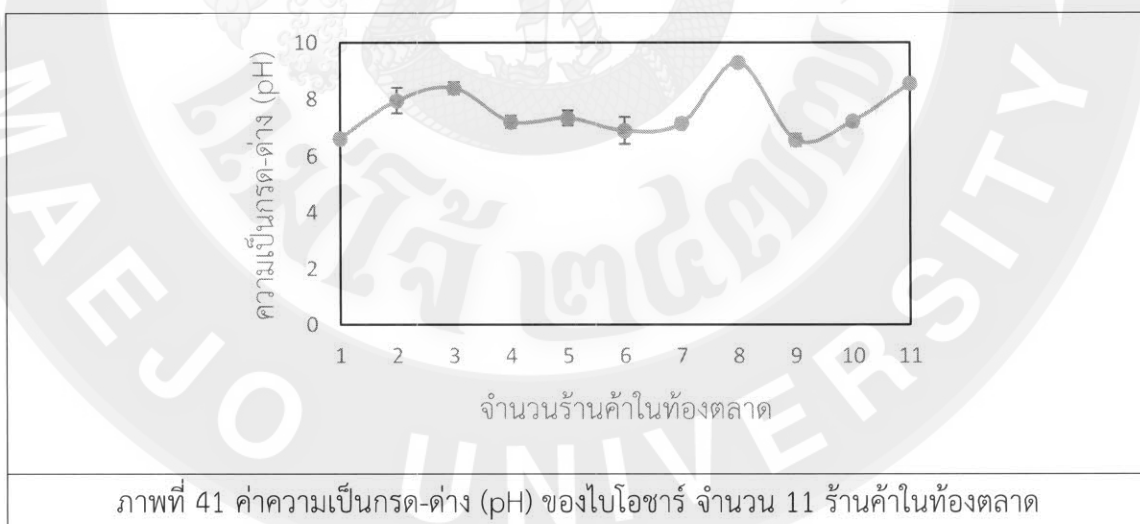
ตารางที่ 19 การเปรียบเทียบองค์ประกอบธาตุใบโอชาร์ในห้องทดลอง

ร้านค้าในห้องทดลอง	C	H	N	S	O
	%	%	%	%	%
sagacogen green	70.81	3.18	0.7081	0.0005	14.96
บ้านใบโอชาร์	47.26	2.15	0.5251	0.0006	8.89
คืนแคร์ (ไทยแลนด์)	39.22	2.12	0.3496	0.0003	10.95
โรงถ่านอัดแท่งพาวเวอร์ ชาร์โคล	20.43	1.6	0.5098	N/A	7.62
มูลนิธิอุ่นใจ	65.54	2.37	0.7496	0.0006	10.05

ร้านค้าในห้องตลาด	C	H	N	S	O
	%	%	%	%	%
พาร์มนบ้านบ้าน	75.78	3.4	0.8028	0.0003	10.85
ที.เค.ปุยอินทรีย์-ชีวภาพ จำกัด	74.62	2.45	0.5272	0.1991	13.58
สรษะตะ	46.53	2.5	1.2	0.1472	4.57
Groudup	71.01	3.1	0.659	0.1371	15.45
วังยางนา	67.31	3.86	1.55	0.0687	16.88
คืนดี	73.81	2.49	0.5012	0.1921	13.65

จากการทดสอบองค์ประกอบธาตุใบโ袖าร์ในห้องตลาด ดังตารางที่ 18-19 พบว่า ปริมาณสารระเหย ค่าคาร์บอนเคที่ และปริมาณเหล้า มีค่าใกล้เคียงกัน แต่จะแตกต่างกันที่ใบโ袖าร์จากแหล่งของงานวิจัยมีค่าสูงกว่าใบโ袖าร์จากห้องตลาด อีกทั้งองค์ประกอบแร่ธาตุ C H N O S ของงานวิจัยและใบโ袖าร์จากห้องตลาด ยังมีค่าใกล้เคียงกันอีกด้วย

#### 4.15.2 คุณสมบัติของความเป็นกรด-ด่าง (pH) ของใบโ袖าร์ในห้องตลาด



การศึกษาค่าความเป็นกรด-ด่าง (pH) ของใบโ袖าร์ในห้องตลาด ดังภาพที่ 40 พบว่า โดยรวมใบโ袖าร์ส่วนมากมีค่าความด่าง ซึ่งมีความเป็นด่างเล็กน้อยถึงค่าความเป็นกลาง (มีค่า  $pH \leq 7$ ) จำนวน 3 ร้านค้า มีค่าอยู่ในช่วง 6.57-6.90 เหมาะสมในการปรับปรุงดินที่ความเป็นด่างเล็กน้อย หรืออาจจะเหมาะสมในการปลูกพืชบางชนิด และมีค่าความเป็นด่างเล็กน้อยจนถึงความเป็นด่างสูง

จำนวน 9 ร้านค้า มีค่าอยู่ในช่วง 7.15-9.30 เหนาะสำหรับในการปรับปรุงที่มีความกรดเล็กน้อยจนถึงความเป็นกรดสูง ซึ่งอยู่ในช่วงใกล้เคียงกับงานวิจัย มีค่าอยู่ในช่วง 4.94-10.95

#### 4.15.3 คุณสมบัติการนำไฟฟ้า (Electrical conductivity: EC) ของใบโอลาร์ในห้องตลาด



การศึกษาการนำไฟฟ้า (EC) ของถ่านชีวภาพในห้องตลาด เป็นค่าที่บ่งบอกถึงปริมาณเกลือ หรือค่าความเค็มในถ่านชีวภาพ ดังภาพที่ 41 พบว่า ค่าการนำไฟฟ้ามีค่าอยู่ในช่วง 0.186-1.513  $\text{dS m}^{-1}$  มีความแตกต่างกันกับงานวิจัย มีค่าในช่วง 0.116-0.916  $\text{dS m}^{-1}$  อาจจะเกิดจากชนิดของถ่านชีวภาพหรือสภาพภูมิประเทศที่แตกต่างกัน โดยปริมาณเกลือที่ตรวจพบเป็นเกลือที่ละลายน้ำได้ เมื่อเจอน้ำและจะแตกตัวเป็นไอออนบวก ซึ่งผลของค่าเค็มที่มีสูงจะส่งผลต่อพืช ทำให้พืชขาดน้ำ เพราะพืชดูดน้ำไปใช้ไม่ได้ เกิดความเป็นพิษของโซเดียมและคลอริน การมีเกลือมากยังไปยับยั้งการดูดใช้โพแทสเซียมและแคลเซียมด้วย นอกจากนี้ยังทำให้ปริมาณคลอโรฟิลล์และอัตราการสังเคราะห์แสงลดลง

#### 4.15.4 คุณสมบัติองค์ประกอบแร่ธาตุหลักและแร่ธาตุโลหะหนักของใบโ袖าร์ในท้องตลาด

ตารางที่ 20 การเปรียบเทียบองค์ประกอบแร่ธาตุหลักของใบโ袖าร์ในท้องตลาด

ร้านค้าในท้องตลาด	Micro nutrients (%wt)		
	N	P	K
sagacogen green	0.63	0.38	1.85
บ้านใบโ袖าร์	0.63	1.32	2.10
คินแคร์ (ไทยแลนด์)	0.34	0.62	2.93
โรงถ่านอัดแท่งพาวเวอร์ ชาร์โคล	0.7	0.2	0.42
มูลนิธิอุ่นใจ	0.48	1.44	1.70
ฟาร์มบ้านบ้าน	0.53	0.33	0.88
ที.เค.ปุยอินทรีย์-ชีวภาพ จำกัด	0.26	0.15	0.31
สาระตะ	1.23	0.39	2.69
Groudup	0.59	0.51	1.83
วังยางนา	1.34	0.27	0.65
คืนดี	0.3	0.09	0.36

จากการศึกษาองค์ประกอบแร่ธาตุหลัก ดังตารางที่ 20 พบว่า ถ่านชีวภาพในท้องตลาดมีปริมาณในไตรเจน (N) มีค่าในช่วง 0.3-1.34 %wt ปริมาณฟอสฟอรัส (P) มีค่าอยู่ในช่วง 0.09-1.44 %wt และปริมาณโพแทสเซียม (K) มีค่าในช่วง 0.31-2.93 เปอร์เซ็นต์โดยน้ำหนัก มีเกล้าเดียงกับงานวิจัยของถ่านชีวภาพจากเชษวัสดุเกษตร 5 ชนิด โดยมีค่าอยู่ในช่วง N : 0.34-1.77 เปอร์เซ็นต์โดยน้ำหนัก P : 0.06-1.99 เปอร์เซ็นต์โดยน้ำหนัก และ K : 0.34-3.17 เปอร์เซ็นต์โดยน้ำหนัก ตามลำดับ ซึ่งคุณสมบัติของ N P K ส่งผลต่อการเจริญเติบโตของพืช โดยปริมาณในไตรเจน ช่วยในการสังเคราะห์แสงและทำให้พืชตั้งตัวได้อย่างสมบูรณ์แข็งแรง สำหรับปริมาณฟอสฟอรัส ช่วยในการเร่งดอกหรือผลและรากพืช มีการแผ่กระจาย ดูดซับน้ำและแร่ธาตุในดิน และปริมาณโพแทสเซียม ช่วยในการสร้างแป้ง น้ำตาล โปรตีน รวมถึงมีสีสดและรสชาติหวานขึ้น

ตารางที่ 21 การเปรียบเทียบแร่ธาตุโลหะหนักของถ่านชีวภาพในห้องทดลอง

ร้านค้า	Heavy metals (mg/kg)														
	Mg	Ca	Pb	Cd	Cu	Ni	Hg	Zn	Cr	Fe	Mn	As	Co	Se	B
1	681.60	647.20	1.98	N/A	31.38	11.49	4.55	48.10	15.50	5556.00	299.60	2.98	3.82	N/A	49.58
2	680.80	715.20	N/A	N/A	4.39	N/A	4.44	36.52	N/A	83.24	38.40	N/A	N/A	N/A	6.41
3	682.70	718.30	0.10	N/A	9.12	4.16	4.42	19.39	6.25	3128.00	143.20	1.41	1.49	N/A	18.46
4	692.40	745.20	2.00	N/A	5.35	2.37	6.02	36.59	6.68	2648.00	190.40	0.51	1.78	N/A	11.70
5	682.70	640.60	2.32	N/A	13.51	3.31	4.58	96.64	15.46	2354.00	134.40	1.96	1.09	N/A	5.59
6	689.30	727.40	0.46	N/A	17.59	0.49	5.07	27.94	0.98	183.70	19.06	0.35	0.20	N/A	17.43
7	695.70	764.90	1.57	0.80	15.41	2.70	5.12	32.85	2.41	559.00	234.50	1.55	2.07	0.95	10.93
8	683.40	718.80	0.84	N/A	8.01	1.13	4.54	64.99	1.99	1449.00	71.08	1.16	1.40	0.14	29.25
9	691.70	764.90	N/A	N/A	10.99	1.22	4.61	48.69	2.32	1455.00	82.23	0.17	0.26	N/A	5.18
10	689.30	736.30	0.88	N/A	9.33	2.02	4.58	94.24	0.22	349.40	317.70	N/A	N/A	N/A	30.97
11	380.30	747.40	N/A	N/A	15.58	4.85	4.48	28.27	0.07	402.60	178.20	0.17	N/A	N/A	9.62

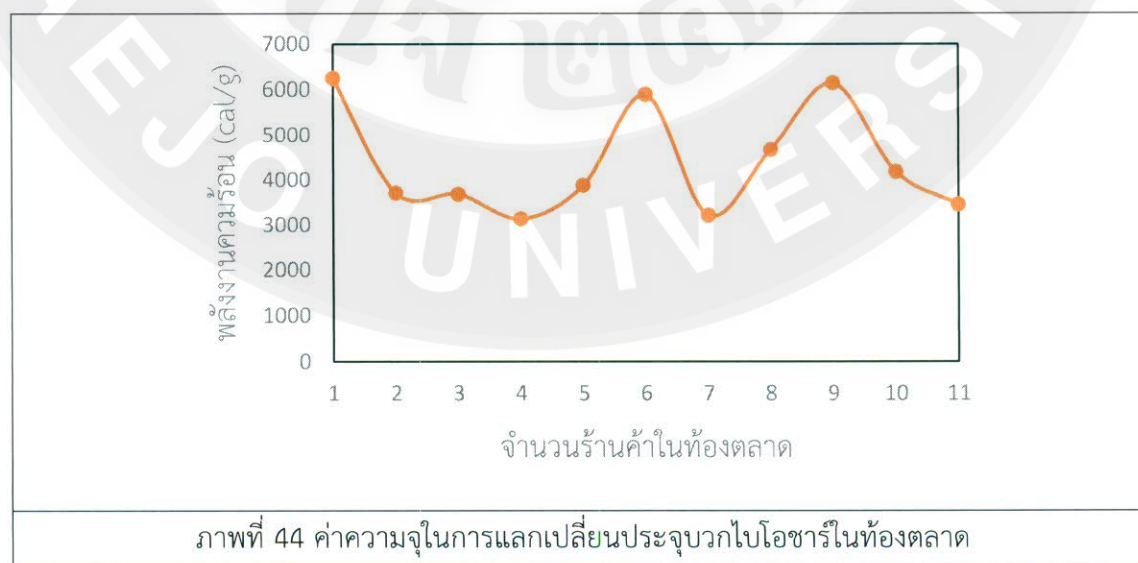
จากการศึกษาองค์ประกอบแร่ธาตุโลหะหนัก ดังตารางที่ 21 พบว่า ถ่านชีวภาพในห้องทดลอง มีค่าไกล์เดียงกับผลการทดสอบจากงานวิจัย ดังตารางที่ 13 สำหรับปริมาณแร่ธาตุโลหะหนักที่ไม่มีประโยชน์ต่อการเจริญเติบโตพืชและส่งผลต่อร่างกาย ถ้าหากรับประทานพืชต่างๆเข้าสู่ร่างกาย เช่น แอดเมียม (Cd) มากกว่า (Pb) ปรอท (Hg) และ นิกเกิล (Ni) ยังมีอยู่ต่ำกว่าในถ่านชีวภาพในห้องทดลอง ที่มีปริมาณค่อนข้างสูงกว่าถ่านชีวภาพจากงานวิจัย

#### 4.15.5 คุณสมบัติพลังงานความร้อน (Thermal energy) ของใบโ袖าร์ในท้องตลาด



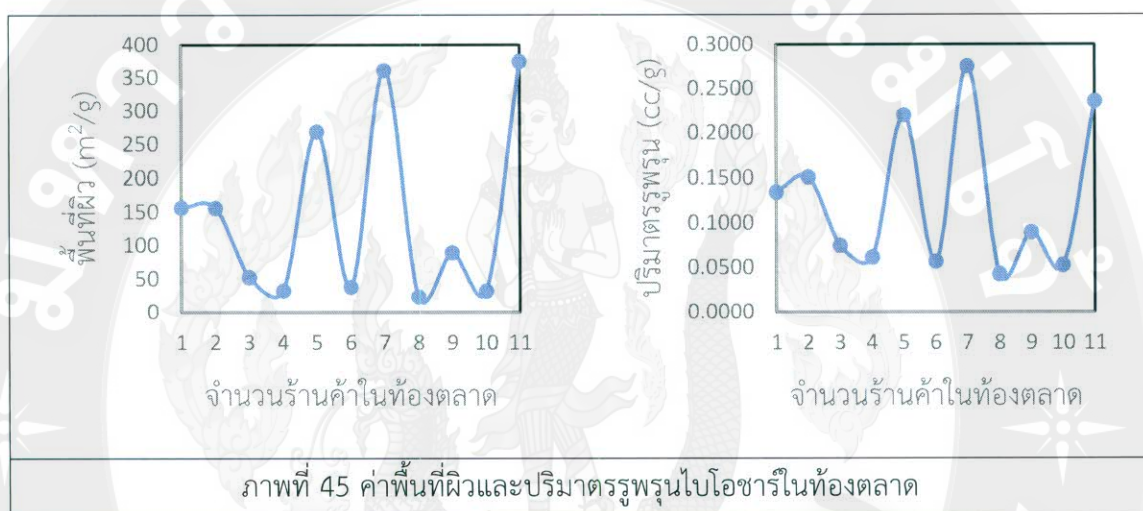
จากการทดสอบผลของค่าพลังงานความร้อนใบโ袖าร์ในท้องตลาด ดังภาพที่ 42 พบว่า ค่า พลังงานความร้อนที่เกิดขึ้น มีค่าใกล้เคียงกันกับงานวิจัย โดยค่าพลังงานความร้อนใบโ袖าร์ใน ท้องตลาด มีค่าอยู่ในช่วง 3135-6244 cal/g ซึ่งใบโ袖าร์จากงานวิจัยสูงกว่าเล็กน้อย มีค่าในช่วง 3904-7427 cal/g อาจจะเกิดจากชนิดและกระบวนการผลิตที่แตกต่างกัน

#### 4.15.6 คุณสมบัติของความสามารถในการแลกเปลี่ยนประจุบวก (Cation Exchange Capacity: CEC) ของใบโ袖าร์ในท้องตลาด



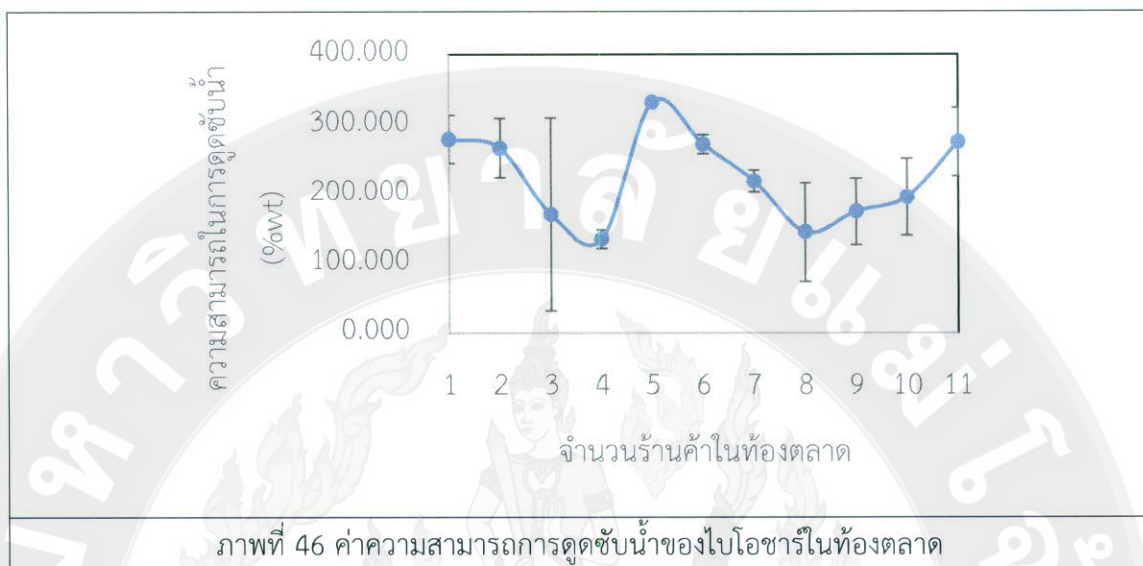
จากการทดสอบค่าความสามารถในการแลกเปลี่ยนประจุบวก (CEC) ดังภาพที่ 43 ของใบโอลาร์ในห้องตลาด พบร้า มีค่าอยู่ในช่วง 23.72-59.88 (cmol(+)/kg) แตกต่างจากถ่านชีวภาพจากงานวิจัย ที่มีค่าน้อยกว่า มีค่าอยู่ในช่วง 6.786-69.591 (cmol(+)/kg) อาจจะเกิดจากสภาพการผลิตและชนิดของชีมวลที่ต่างชนิดกัน ซึ่งค่า CEC ของใบโอลาร์จะส่งผลต่อการดึงดูดแร่ธาตุอาหารในดิน

#### 4.15.7 คุณสมบัติพื้นที่ผิว (Surface area) และปริมาตรรูพรุน (Pore volume) ของใบโอลาร์ในห้องตลาด



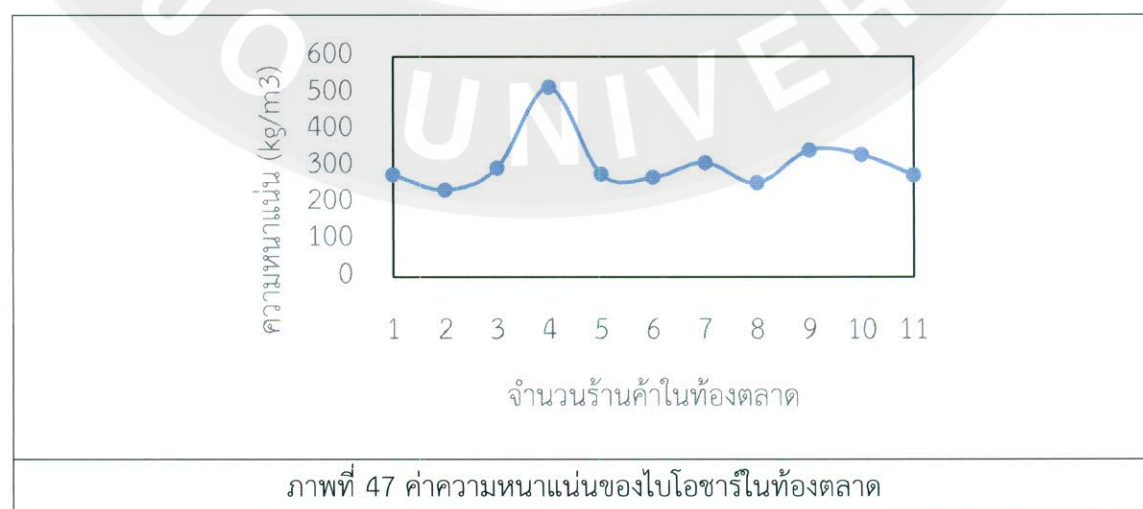
ผลจากการทดสอบพื้นที่ผิวและปริมาตรรูพรุนที่เกิดขึ้นในใบโอลาร์ ดังภาพที่ 44 พบร้าใบโอลาร์ในห้องตลาดแต่ละแห่ง มีพื้นที่ผิวและปริมาตรรูพรุนที่แตกต่างกัน โดยพื้นที่ผิวของใบโอลาร์ มีค่าอยู่ในช่วง  $31.73-374.39 m^2/g$  และปริมาตรรูพรุน มีค่าอยู่ในช่วง  $0.0426-0.2748 cc/g$  เมื่อทำการเปรียบเทียบกับผลการทดสอบของงานวิจัย มีความแตกต่างกัน โดยมีค่าของพื้นที่ผิว อยู่ในช่วง  $16.18-93.29 m^2/g$  และปริมาตรรูพรุน มีค่าในช่วง  $0.0315-0.1084 cc/g$  ซึ่งผลจากการทดสอบของงานวิจัยมีพื้นที่ผิวและปริมาตรรูพรุนของใบโอลาร์น้อยกว่าร้านต่างๆในห้องตลาด อาจจะเกิดจากชนิดของชีมวลและกระบวนการผลิตที่แตกต่างกัน

4.15.8 คุณสมบัติความสามารถในการดูดซับน้ำ (Water Holding Capacity: WHO) ของใบโอลาร์ในห้องตลาด



ผลจากการทดสอบความสามารถในการดูดซับน้ำของใบโอลาร์ พบว่า ใบโอลาร์ในห้องตลาด มีความสามารถในการดูดซับน้ำที่แตกต่างกันตามวิจัย โดยมีค่าอยู่ในช่วง 145.63 เปอร์เซ็นต์โดย น้ำหนัก ถึง 332.7 เปอร์เซ็นต์โดยน้ำหนัก เมื่อเทียบผลการทดสอบกับงานวิจัยพบว่า มีค่าอยู่ในช่วง 157.24-349.07 เปอร์เซ็นต์โดยน้ำหนัก ซึ่งถ้านำข่าวจากงานวิจัยมีความสามารถในการดูดซับน้ำได้ สูงกว่าถ้านำข่าวที่มีการจำแนยในห้องตลาด อาจจะเกิดจากกระบวนการผลิตหรือชนิดของ เชื้อราสตุที่นำมาใช้ในการผลิต

4.15.9 คุณสมบัติความหนาแน่น (Bulk density) ของใบโอลาร์ในห้องตลาด



ผลจากการทดสอบความหนาแน่นของใบโอชาร์ พบร้า ใบโอชาร์ในห้องทดลอง มีความหนาแน่นที่แตกต่างกับงานวิจัย โดยมีค่าอยู่ในช่วง  $237.11-518.37 \text{ kg/m}^3$  เมื่อเทียบผลการทดสอบกับงานวิจัยพบว่า มีค่าอยู่ในช่วง  $77.39-334.84 \text{ kg/m}^3$  ซึ่งความแตกต่างอาจจะเกิดจากลักษณะของโครงการขีมวลที่แตกต่างกัน รวมถึงกระบวนการผลิตอีกด้วย

#### 4.16 การนำไปใช้ประโยชน์

จากการศึกษาคุณสมบัติต่าง ๆ ของใบโอชาร์ที่ได้จากการผลิตด้วยกระบวนการไฟโรไลซิสแบบชา เพื่อนำไปใช้ประโยชน์ในการปรับปรุงดินได้อย่างเหมาะสม ดังตารางที่ 22

ตารางที่ 22 คุณสมบัติของใบโอชาร์ที่เป็นประโยชน์ในการปรับปรุงดิน

คุณสมบัติ	ผลงานวิจัย	การนำไปใช้ประโยชน์
ความเป็นกรด-ด่าง (pH)	5.8-10.95	การนำไปใช้ในการปรับปรุงดินโดยค่า pH ในช่วง 5-6 สามารถนำไปใช้กับดินประเภทที่มีค่าความเป็นเบสอ่อน และค่า pH ในช่วง 8-11 เหมาะสำหรับในการปรับปรุงดินกรดอ่อนจนถึงดินที่มีค่ากรดสูง เพื่อปรับปรุงให้ดินมีสภาพเป็นกลาง ซึ่งจะช่วยในการดึงดูดแร่ธาตุและสารอาหารที่เป็นประโยชน์ต่อการเจริญเติบโตของพืช
การนำไปไฟฟ้า (EC)	$0.109-2.064 \text{ dS m}^{-1}$	ค่าการนำไปไฟฟ้าที่เหมาะสมสำหรับในการปรับปรุงดิน ควรรักษาค่าการนำไปไฟฟ้าของสารอาหารระหว่าง $2.0-4.0 \text{ dS m}^{-1}$ ซึ่งถ้าหากมีค่าการนำไปไฟฟ้าสูงเกินไป ส่งผลให้พืชอาจถูกยับยั้งการเจริญเติบโต
การแลกเปลี่ยนไอออนประจุบวก (CEC)	$6.78-69.59 \text{ cmol}(+)/\text{g}$	การแลกเปลี่ยนไอออนประจุบวก ที่มีค่าสูง มีเป็นผลดีต่อการนำไปปรับปรุงดินอย่างมาก จะช่วยในการดึงดูดแร่ธาตุอาหารต่าง ๆ ให้ดินให้กับพืชได้เป็นอย่างดี
พื้นที่ผิวและปริมาตรรูพรุน	พื้นที่ผิว $16.18-41.46 \text{ m}^2/\text{g}$	พื้นที่ผิวและปริมาตรรูพรุน ที่มีค่าสูง ทำให้ใบโอชาร์สามารถเก็บกักน้ำและธาตุอาหาร

คุณสมบัติ	ผลงานวิจัย	การนำไปใช้ประโยชน์
	ปริมาณรูปพรรณ 0.0315-0.060 cc/g	รวมทั้งเป็นที่อยู่ของจุลินทรีย์ดินที่เป็นประโยชน์ ซึ่งเหมาะสมสำหรับปรับปรุงปรับดินให้มีความร่วนซุย รวมถึงดินที่แห้งแข็งอีกด้วย
องค์ประกอบแร่ธาตุหลัก	N: 0.34-1.77 (%wt) P: 0.06-1.99 (%wt) K: 0.34-3.17 (%wt)	เนื่องจาก 3 ธาตุนี้พืชต้องการใช้ในปริมาณมาก การนำไปใช้ในการปรับปรุงดิน จะช่วยให้ดินมีแร่ธาตุหลักเพิ่มมากขึ้น ส่งผลให้พืชผลมีการเจริญเติบโตอย่างดี
องค์ประกอบแร่ธาตุโลหะหนัก	Mg: 318-681 mg/kg Ca: 707-780 mg/kg Cu: 2-30 mg/kg Zn: 15-169 mg/kg Fe: 54-491 mg/kg Mn: 16-354 mg/kg B: 0.11-53 mg/kg Pb: 0.11-11.28 mg/kg Cd: 2.936 mg/kg Ni: 0.5-13 mg/kg Hg: 0.0006-4.35 mg/kg Cr: 0.3-23 mg/kg As: 0.005-0.73 mg/kg Co: 2.9 mg/kg Se: 0.22-0.76 mg/kg	แร่ธาตุโลหะหนัก ที่นำไปใช้ในการปรับปรุงดิน แบ่งออก 2 ประเภท คือ เป็นประโยชน์ต่อพืช ได้แก่ Mg Ca Cu Zn Fe Mn B และธาตุเหล่านี้มีผลต่อการเจริญเติบโตของพืชอย่างมาก ส่วนแร่ธาตุที่ไม่เป็นประโยชน์ต่อพืช เมื่อนำไปใช้ปรับปรุงดิน ได้แก่ Pb Cd Ni Hg Cr As Co Se และธาตุเหล่านี้เมื่อพืชดูดซับไว้ หากร่างกายของมนุษย์ได้รับจะมีผลเสียต่อสุขภาพ
การดูดซับน้ำ (WHC)	49-349 %wt	ความสามารถในการดูดซับน้ำของใบโอลาร์ ที่มีค่าสูง จะช่วยให้ดินอุ่นน้ำได้ดี สามารถปรับปรุงดินที่แห้งและแข็ง ให้เป็นดินที่ซึมน้ำได้ดี



## บทที่ 5

### สรุปและข้อเสนอแนะ

การศึกษากระบวนการผลิตใบโอชาร์ด้วยการไฟโรไลซิสแบบช้า จากเศษวัสดุเกษตร มีวัตถุประสงค์เพื่อศึกษาปัจจัยของการผลิตใบโอชาร์ ศึกษาคุณสมบัติของถ่านชีวภาพทางฟิสิกส์และทางเคมี อีกทั้งเปรียบเทียบคุณสมบัติของผลิตภัณฑ์ใบโอชาร์ที่ได้จากการวิจัยกับผลิตภัณฑ์ที่มีการศึกษาไว้มาแล้ว รวมถึงผลิตภัณฑ์ที่มีการจำหน่ายแล้วในท้องตลาด เพื่อเป็นประโยชน์ในการผลิตใบโอชาร์สำหรับนำไปเลือกใช้ในการปรับปรุงดินได้

#### 5.1 สรุปผลวิจัย

การทดสอบการผลิตใบโอชาร์ด้วยกระบวนการไฟโรไลซิสแบบช้า จากเศษวัสดุเกษตร 5 ชนิด ได้แก่ แกลบ ซังข้าวโพด เปลือกลำไย เม็ดลำไย และกะลากาแฟ ที่อุณหภูมิ 300 400 500 600 และ 700 องศาเซลเซียส การรักษาอุณหภูมิ 1 ชั่วโมง และ 2 ชั่วโมง ในอัตราการให้ความร้อน 10 องศาเซลเซียสต่อนาที ภายใต้สภาวะแก๊สไนโตรเจน ( $N_2$ ) ที่อัตราการไหล 100 มิลลิลิตรต่อนาที

การศึกษาการเพิ่มอุณหภูมิในกระบวนการไฟโรไลซิสแบบช้า ที่อุณหภูมิ 300-700 องศาเซลเซียส ส่งผลให้คุณสมบัติทางฟิสิกส์และเคมีในใบโอชาร์มีค่าแตกต่างกัน โดยปริมาณใบโอชาร์ที่ได้จากการผลิตมีปริมาณลดลง มีค่าอยู่ในช่วง 23.26-58.36 เปอร์เซ็นโดยน้ำหนัก เกิดการสลายตัวของสารระเหยและการเพิ่มปริมาณของคาร์บอน สำหรับค่าความเป็นกรดด่าง และค่าการนำไฟฟ้า ของใบโอชาร์มีปริมาณเพิ่มขึ้น มีค่าในช่วง 4.9-10.95 และ  $0.106-2.064 \text{ dS m}^{-1}$  เนื่องจากการเปลี่ยนแปลงโครงสร้างทางเคมีเมื่อได้รับความร้อน เกิดการสลายตัวของกลุ่mgrด  $-COOH$   $-OH$  และไออกอนลับด้วย สำหรับค่าความจุในการแลกเปลี่ยนประจุบวก มีปริมาณลดลงในช่วงอุณหภูมิ 300-500 องศาเซลเซียส มีค่าในช่วง 6.70-69.59 cmol(+)/g และมีค่าเพิ่มสูงขึ้นเมื่ออุณหภูมิ 700 องศาเซลเซียส มีค่าในช่วง 9.26-27.09 cmol(+)/g สำหรับค่าพื้นที่ผิวและปริมาตรรูพรุน มีขนาดใหญ่ขึ้น มีค่าในช่วง 16.18-24.21  $\text{m}^2/\text{g}$  และ  $0.031-0.060 \text{ cc/g}$  ซึ่งส่งผลค่าความสามารถในการดูดซับน้ำอีกด้วย มีค่าในช่วง 49.12-349.07 เปอร์เซ็นโดยน้ำหนัก เกิดจากการสลายตัวของปริมาณสารระเหยเมื่อได้รับความร้อนจากการไฟโรไลซิสแบบช้า สำหรับองค์ประกอบแร่ธาตุหลัก และแร่ธาตุโลหะที่มีประโยชน์ต่อการเจริญเติบโตของพืช มีปริมาณเพิ่มขึ้น ส่วนโลหะหนักที่ไม่มีประโยชน์ต่อพืช เช่น Pb Cd Ni เป็นต้น มีความเข้มข้นลดลง อีกทั้งมีผลการทดสอบไม่เกินค่ามาตรฐานตาม IBI และ EBC สำหรับผลการทดสอบปริมาณแก๊สที่ได้ มีปริมาณเพิ่มขึ้น เมื่อเพิ่มอุณหภูมิการให้ความร้อนและการรักษาอุณหภูมิ

การศึกษาการรักษาอุณหภูมิในผลิตไปโอชาร์ด้วยกระบวนการไฟโรไลซิส ที่ 1 ชั่วโมง และ 2 ชั่วโมง พบว่า การเพิ่มขึ้นเวลาในการรักษาอุณหภูมิ ส่งผลให้ปริมาณไปโอชาร์ ค่าความเป็นกรดด่างค่าการนำไฟฟ้า พื้นที่ผิวและปริมาตรรูพรุน ค่าความหนาแน่น รวมถึงความสามารถในการดูดซับน้ำของคุณสมบัติแร่ธาตุหลักและแร่ธาตุโลหะหนัก เช่น Mg Ca Pb Ni Zn Mn เป็นต้น และปริมาณแก๊สที่เกิด มีค่าสูงขึ้น แตกต่างจากค่าความจุในการแลกเปลี่ยนประจุบวก และองค์ประกอบแร่ธาตุโลหะหนัก เช่น Hg Zn Cu Cr Fe As เป็นต้น มีค่าลดลง

การศึกษาคุณสมบัติไปโอชาร์สำหรับนำไปใช้ในการปรับปรุงดิน โดยสภาพที่เหมาะสมโดยรวมมีการผลิตไปโอชาร์ ในช่วงอุณหภูมิ 300-400 องศาเซลเซียส ที่การรักษาอุณหภูมิ 1-2 ชั่วโมง ค่า pH มีสถานะเป็นกรดอ่อนถึงกลาง และมีค่า CEC สูง ซึ่งเหมาะสมในการปรับปรุงดินที่มีความเป็นเบสอ่อน เพื่อให้ดินมีค่า pH เป็นกลาง และมีความสามารถในการดูดแร่ธาตุต่าง ๆ ได้ดี ส่วนในช่วงอุณหภูมิ 500-700 องศาเซลเซียส ที่การรักษาอุณหภูมิ 1-2 ชั่วโมง มีค่า pH มีสถานะเป็นเบสอ่อนถึงเบสแก่ เหมาะสำหรับในการปรับปรุงดินที่มีสถานะเป็นกรดอ่อนถึงกรดแก่ อีกทั้งค่าการนำไฟฟ้า ค่าความสามารถในการอุ้มน้ำ ค่าพื้นที่ผิวและปริมาตรรูพรุน สูงกว่าอุณหภูมิ 300-400 องศาเซลเซียส ซึ่งเหมาะสมสำหรับในการปรับปรุงดิน ให้มีความชุ่มชื้น สามารถดึงดูดแร่ธาตุอาหารในดิน อีกทั้งยังเป็นที่อยู่อาศัยของจุลินทรีย์ ทำให้เพิ่มความเจริญเติบโตได้ดี โดยคุณสมบัติทั้งนี้จะต้องทำการตรวจสอบคุณภาพดินก่อน เพื่อให้คุณสมบัติของไปโอชาร์ เกิดประโยชน์สูงสุดเมื่อนำมาใช้ในการปรับปรุงดิน

การเปรียบเทียบผลงานทดสอบของงานวิจัยและบทความวิจัยอื่น ๆ รวมถึงไปโอชาร์ในท้องตลาด พบว่า คุณสมบัติต่าง ๆ มีค่าแตกต่างกัน โดยผลกระทบทดสอบงานวิจัยมีค่าความเป็นกรดด่างการนำไฟฟ้า พลังงานความร้อน ความสามารถในการดูดซับ มีแนวโน้มสูงกว่าบทความวิจัยอื่น ๆ แตกต่างจาก ผลปริมาณแร่ธาตุโลหะหนักของไปโอชาร์ในท้องตลาด มีความเข้มข้นสูงมากกว่า รวมถึงพื้นที่ผิวและปริมาตรรูพรุน มีค่าแนวโน้มสูงกว่าผลการทดสอบงานวิจัย

## 5.2 ข้อเสนอแนะ

5.2.1 การศึกษาเวลาในการรักษาอุณหภูมิ โดยอาจจะศึกษาในช่วง 4-6 และ 8 ชั่วโมง เพื่อดูคุณสมบัติของไปโอชาร์ ซึ่งอาจจะมีคุณสมบัติที่ดีกว่าการรักษาอุณหภูมิ 1 ชั่วโมงและ 2 ชั่วโมง รวมถึงการนำเศษวัสดุเกษตรอื่น ๆ มาใช้ในการผลิตไปโอชาร์

5.2.2 จากผลการศึกษาการผลิตไปโอชาร์ในครั้งนี้ จะเห็นได้ว่า การผลิตไปโอชาร์จากเศษวัสดุเกษตร ยังมีประเด็นสำคัญบางส่วนที่นำเสนอให้ทราบแก่การศึกษาเพิ่มเติม เพื่อพัฒนากระบวนการผลิตไปโอชาร์ ให้มีคุณสมบัติที่เหมาะสมสำหรับการนำไปใช้ประโยชน์ปรับปรุงดินยิ่งขึ้น โดยใช้

กระบวนการผลิตอื่น ๆ เช่น กระบวนการไฟโรไลซิส ภายใต้การจำกัดอากาศ กระบวนการหอริเฟคชั่น กระบวนการคาร์บอนไนเซชั่น เป็นต้น

5.2.3 ความมีการใช้เตาปฏิกรณ์ที่มีขนาดใหญ่และมีประสิทธิในการทำงานสูง สามารถควบคุม อุณหภูมิและอัตราการป้อนอากาศได้อย่างแม่นยำ เพื่อที่จะให้ได้ปริมาณผลผลิตใบโอชาร์มากพอก สำหรับนำไปวิเคราะห์คุณสมบัติต่าง ๆ เนื่องจากเตาปฏิกรณ์ขนาดเล็ก จะต้องมีการผลิตใบโอชาร์ จำนวนครั้งการทดสอบอย่างมาก จะได้ประหยัดค่าไฟฟ้าและแก๊สในโตรเจนที่ใช้ในการผลิตใบโอชาร์ อีกด้วย

5.2.4 มีการศึกษาองค์ประกอบแก๊สเพิ่มเติม เช่น  $\text{CH}_4 \text{ H}_2 \text{ O}_2$  เป็นต้น เพื่อดูคุณภาพของแก๊ส เชือเพลิง สำหรับการนำไปใช้ประโยชน์ทางด้านพลังงาน

5.2.5 เนื่องจากปัญหาเศรษฐกิจเกษตรยังมีอิทธิพลอย่างมาก ทำให้ต้องนำมาศึกษาคุณสมบัติ เมื่อนำมาใช้ในการผลิตใบโอชาร์ ควรจะมีการเลือกใช้เศรษฐกิจเกษตรชนิดอื่น ๆ เพื่อลดปริมาณและ ลดการกำจัดอย่างผิดวิธี อีกทั้งเปรียบเทียบคุณสมบัติต่าง ๆ ให้มีทางเลือกในการผลิตใบโอชาร์ที่ หลากหลายชนิดจากเศรษฐกิจเกษตร

5.2.6 ควรที่จะมีการศึกษาคุณสมบัติอื่น ๆ ในเชิงลึก เช่น ความสามารถในการดูดซับแร่ธาตุ หลัก หรือแร่ธาตุโลหะหนัก ที่เป็นประโยชน์ต่อการพืช เพื่อนำมาใช้ในการปรับปรุงดิน เป็นต้น

### 5.3 ปัญหาที่พบในการศึกษา

5.3.1 การผลิตใบโอชาร์ในระดับห้องปฏิบัติการ ในแต่ละครั้งการทดสอบได้ปริมาณใบโอชาร์ น้อย ทำให้ปริมาณไม่เพียงพอต่อการส่งวิเคราะห์คุณสมบัติ จึงทำให้ใช้เวลาในการผลิตใบโอชาร์นาน ส่งผลให้งานวิจัยเกิดการล่าช้าขึ้น

5.3.2 สภาพอากาศ ถ้าหากเกิดมีฝนตกหรือลมแรง มักจะเกิดปัญหาไฟฟ้าดับ ทำให้ไม่ สามารถดำเนินงานทดสอบได้ ซึ่งในบางครั้งเกิดขึ้นในระหว่างการทดสอบ ส่งผลให้การดำเนินงานใน ครั้งนั้น ต้องทำการทดสอบใหม่ จึงอยากให้มีการติดตั้งเครื่องสำรองไฟ



MUU iThesis 6103309007 thesis / recv: 04062564 14:21:20 / seq: 11  
3337906250

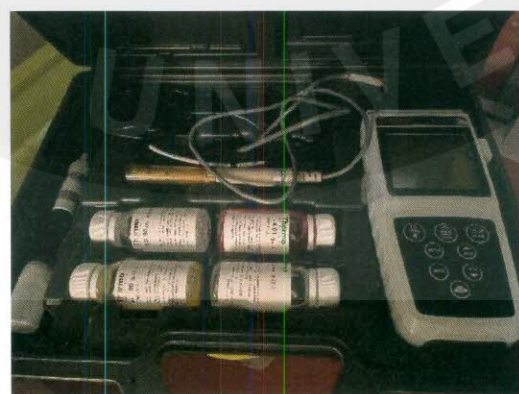
ก. เครื่องมือและอุปกรณ์ที่ใช้ในการวิเคราะห์คุณสมบัติใบโอะชาร์



ภาคผนวกที่ 1 ตู้อบลมร้อน (Hot air oven) เพื่อใช้ในการลดความชื้นชีมวลและใบโอะชาร์



ภาคผนวกที่ 2 เครื่องเขย่า สำหรับเขย่าตัวอย่าง เพื่อวัดค่าความเป็นกรด-ด่าง (pH) และค่าการนำไฟฟ้า (Electrical Conductivity: EC)



ภาคผนวกที่ 3 เครื่องวัดค่าความเป็นกรด-ด่าง (pH) และค่าการนำไฟฟ้า (Electrical Conductivity)





ภาคผนวกที่ 4  $\text{CaCl}_2 \cdot 2\text{H}_2\text{O}$  ใช้สำหรับผสมกับน้ำกลั่น เพื่อเขย่าตัวอย่างในการวิเคราะห์ pH และ EC



ภาคผนวกที่ 5 อุปกรณ์สำหรับการวิเคราะห์ค่าความหนาแน่น



ภาคผนวกที่ 6 อุปกรณ์สำหรับการวัดค่าความสามารถในการดูดซับน้ำ





ภาคผนวกที่ 7 เครื่องย่อยตัวอย่าง สำหรับวิเคราะห์แร่ร้าตุโลหะหนัก



ภาคผนวกที่ 8 เครื่องวิเคราะห์แร่ร้าตุโลหะหนัก ICP-OES



ภาคผนวกที่ 9 กล้องจุลทรรศน์แบบส่องกราด เพื่อใช้ในการศึกษาลักษณะสัณฐาน  
และโครงสร้างภายในของใบโอชา



## ข. การนำเสนอผลงานวิชาการ

การประชุมงานวิชาการ ระดับนานาชาติ “International Conference on Sustainable Energy and Green Technology 2019” หรือ SEGT ซึ่งงานประชุมได้จัดขึ้น ณ Millennium Hilton Bangkok, Bangkok Thailand ในระหว่างวันที่ 11-14 ธันวาคม 2562

เรื่องที่นำเสนอในงานประชุมวิชาการ “Effect of process on properties of biochar from agricultural residues”



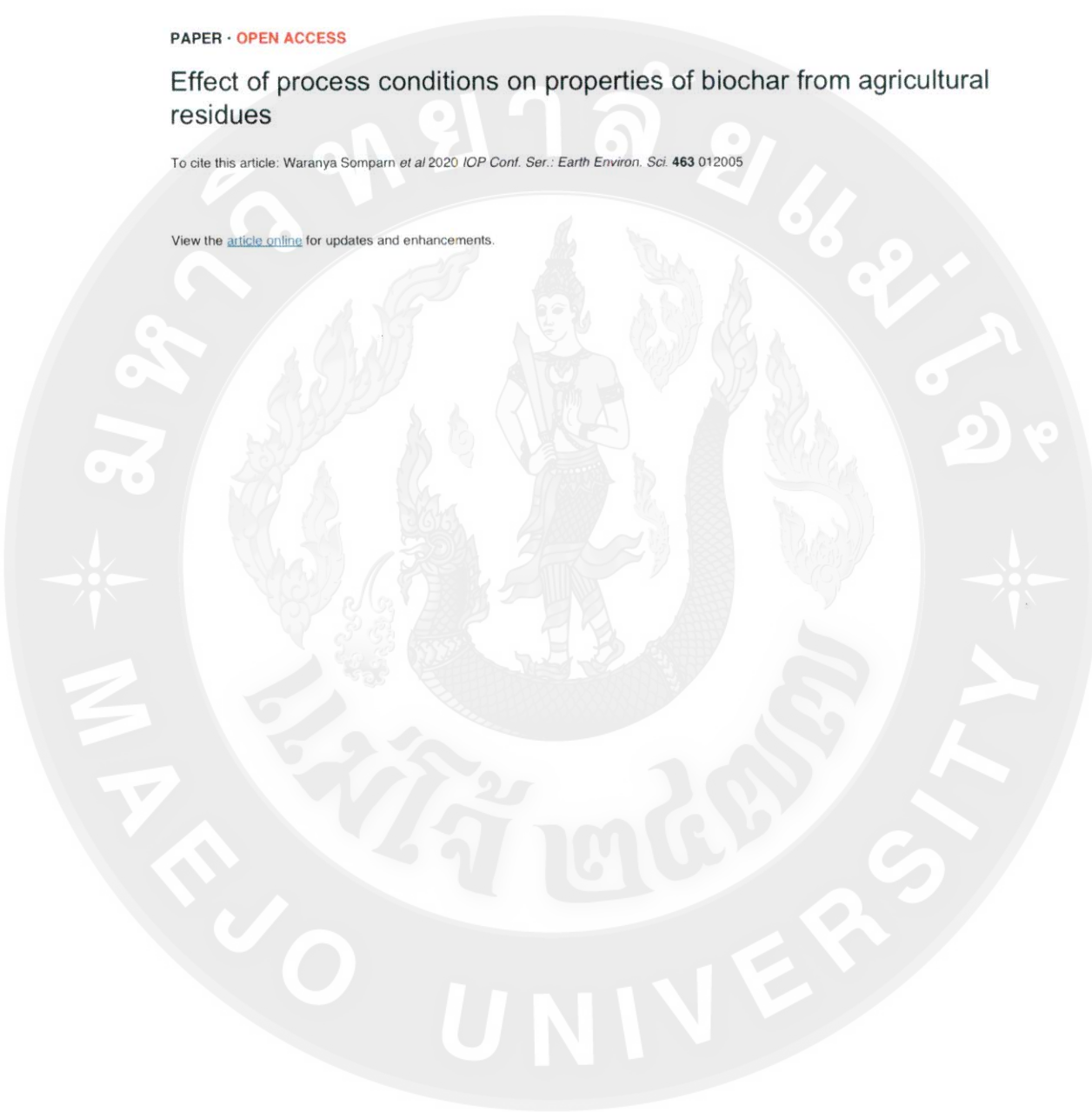
ภาคผนวกที่ 10 ได้รับรางวัล “BEST PAPER AWARD” และใบบันธึกการเข้าร่วมประชุมงานวิชาการ  
 ระดับนานาชาติ

PAPER · OPEN ACCESS

## Effect of process conditions on properties of biochar from agricultural residues

To cite this article: Waranya Somparn *et al* 2020 *IOP Conf. Ser.: Earth Environ. Sci.* **463** 012005

View the [article online](#) for updates and enhancements.



## Effect of process conditions on properties of biochar from agricultural residues

Waranya Somparn<sup>1</sup>, Numpon Panyoyai<sup>1</sup>, Tipapon Khamdaeng<sup>1</sup>, Nakorn Tippayawong<sup>2</sup>, Samerkhwan Tantikul<sup>1</sup> and Thanasit Wongsiriamnuay<sup>1\*</sup>

<sup>1</sup> Division of Agricultural Engineering, Faculty of Engineering and Agro-Industry, Maejo University, 63 Chiangmai-Phrao Road, Nonghan, Sansai, Chiang Mai, 50290, Thailand.

<sup>2</sup> Department of Mechanical Engineering, Faculty of Engineering, Chiang Mai University, Chiang Mai, 50200, Thailand.

\*E-mail: [t.wongsiriamnuay@gmail.com](mailto:t.wongsiriamnuay@gmail.com)

**Abstract.** In northern Thailand, there are a great amount of agricultural residues generated after the harvest, most of which are burned as a means of disposal, affecting the soil for agriculture, wild animals, as well as causing air pollution. One of the solutions that may be beneficial in terms of carbon credit is to turn these agricultural residues into biochar using slow pyrolysis. Biochar is widely accepted biologically derived matter with the ability to contain carbon, large amount of nutrients, adding biodiversity in soils. The attribute of biochar is varied depending on its production process. This research aims to study biochar production conditions and possible attributes with slow pyrolysis process under 100 ml/min nitrogen condition. Two types of agricultural residues including rice husk and corn cob were used, at the process temperature of 300-700 °C. The results indicated that when the temperature was increased, the produced biochar decreased, but different amounts of carbon, electrical conductivity, amounts of inorganic minerals (N, P, K, Mg, Ca, Fe), and alkalinity increased. This enabled the produced biochar to add more carbon to the soil when used, reduce acidity or alkalinity, as well as help the soil to contain more water and other required nutrients for plants better and become a home to microbe. More air ventilation was allowed in the soil, improving its quality.

### 1. Introduction

Biochar is a porous material that contains a high amount of carbon which could be directly used and could be naturally dissolved [1]. Biochar could be produced from biomass such as agricultural residues and some leftover slivers [2] through slow pyrolysis at 300-800 °C [2, 3] under vacuum or nitrogen condition [4]. Its attributes that could be used to improve soil quality are affected by many factors such as temperature, time of heat, and the type of biomass [5].

Currently, there are many studies on biochar production and its many uses. Production conditions such as temperature during the slow pyrolysis could affect the physical and chemical structures of the biochar such as the change in volume [3], carbon [6], acidity [7], and ion exchange ability, surface and holes [8, 9]. From these studies, it was revealed that each attribute is dependent on the composition of biomass [10]. Each biomass has different chemical reaction [11] when receiving heat at different amount of time such as corn cob [7], bamboo [12], rice husk and rice straw [13].

 Content from this work may be used under the terms of the Creative Commons Attribution 3.0 licence. Any further distribution of this work must maintain attribution to the author(s) and the title of the work, journal citation and DOI.  
 Published under licence by IOP Publishing Ltd

Studies on the effect of temperature on biochar properties such as pH and electrical conductivity (EC), CEC, BET, and SEM of biochar. It was found that pH was increasing with temperature. In the range between 300-800 °C, pH of most biochar from corn cob and rice husk were around 8-10 which was suitable for medium to strong acid soil. EC of biochar were around 0-1 which was suitable for improving soil with strong alkalinity. To the authors' knowledge, there remains a lack of study on biochar that may be applied to low-acidic to low-to-medium or weak alkalinity soil [1, 9, 10, 13-15].

Biochar could be produced from various reactors such as fixed bed, fluidized bed, and microwave reactors. Each reactor has different functionality. However, fixed bed reactors are still widely accepted and easy for slow pyrolysis, different from other reactors as they are commonly used for fast pyrolysis instead [16-18].

The objective of this work were to study the production factors affecting the attribute of produced biochar as well as to study physical and chemical changes such as its volume, acidity, electrical conductivity, number of elements, surface, and holes in order to find the most appropriate attributes suitable for improving soil.

## 2. Materials and methods

### 2.1 Biochar feedstocks

There were two types of materials used to convert into biochar. They were rice husk (RH) and corn cob (CC). These materials were obtained locally from Chiang Mai in Northern Thailand.

### 2.2 Production of biochar

Before pyrolysis, the raw materials must have their moisture reduced to lower than 10% of their weight [19]. In each experiment, 20 g of the biomass sample was loaded into the test cup, then brought into the operational fixed-bed reactor. Slow pyrolysis was done under nitrogen ( $N_2$ ) condition with 100 ml/min flow rate. The temperature used in the experiment was 300, 400, 500, 600, and 700 °C with a heating rate of 10 °C/min [20]. Once reaching the set value, the temperature was stabilized in the set time before reducing the temperature under nitrogen condition. During the cooling process, physical and chemical changes were expected to be ongoing.

### 2.3 Characterization of biochar

The amount of biochar could be determined from overall mass balance where  $W_f$  and  $W_o$  were obtained from dry mass of biochar products and dry mass of biomass used in the experiment [21].

$$\text{Biochar yield (\%)} = (W_f/W_o) * 100 \quad (1)$$

The moisture content of the biochar was analyzed according to the ASTM D1762-84 standard at 105 °C temperature for 2 h [19], then pH value was measured using the analysis according to DIN ISO 10390 with 1:5 (W:V) biochar to 0.01 M  $CaCl_2$ -solution, 60 min shaking, measuring directly in the suspension and EC analysis by DIN ISO 11265, adding 1:10 (W:V)  $H_2O$  to the sample, shaking for 60 min, followed by filtration of the solution. (According to EBC standard). Morphology study of biochar was done using a scanning electron microscope (SEM) with 15 kV of electron beam where they would react with the beam and biomass sample with 10  $\mu m$  or 2,000x microscope and using energy-dispersive X-ray spectroscopy (EDX) with random scan on the surface of the biochar, which would result in the micron level.

## 3. Results and discussions

### 3.1 Mass yield of pyrolysis product

The amount of biochar produced was dependent on the pyrolysis process. High temperature was used during pyrolysis, resulting in decreasing the amount of produced biochar, as shown in Table 1. At the temperature between 300-400 °C, the biochar produced from rice husk and corn cob were quickly decreased from 54.81% to 46.95% and 36.49% to 32.91%, respectively. In this temperature range,



cellulose and hemicellulose were dissolved. When temperature higher than 400 °C was used, the produced biochar from rice husk was decreased by about 2%, similar to the biochar produced from corn cob. They were continuously dissolved exponentially, resulting in continuous reduction in the produced biochar. The temperature in this range caused cellulose and lignin to dissolve, as shown in Figure 1. [6], and they showed complex and different structures. Therefore, the amount of the produced biochar would depend on the reaction temperature that caused hemicellulose, cellulose, and lignin to decompose. The amount of the three components could indicate the temperature. If the amount of hemicellulose and cellulose was low, they would decompose at 300-400 °C. They would decompose less in higher temperature like rice husk. If the amount of cellulose and lignin was high, they would decompose in higher temperature of 400-500 °C and the produced biochar would continuously decrease with increasing temperature. Biomass with different proportion of lignocellulosic components would decompose differently, causing the differences in the amount of the produced biochar.

**Table 1.** Comparison of biochemical properties at different temperatures in the pyrolysis process

Feedstock	Temperature (°C)	Yield (%)	Water content (%wt)	pH	EC (ds m <sup>-1</sup> )
RH	-	-	2.51	5.81	2.44
	300	54.81	0.379	5.82	2.57
	400	46.96	0.54	6.14	2.58
	500	46.18	0.346	8.97	2.50
	600	44.19	0.307	9.61	2.60
	700	44.01	0.308	10.79	2.62
CC	-	-	5.30	5.18	0.15
	300	36.49	3.785	5.38	0.16
	400	32.91	3.416	6.14	0.26
	500	30.23	2.894	7.74	0.27
	600	24.95	2.381	8.18	0.27
	700	22.90	2.208	10.15	0.37

### 3.2 pH and EC

Higher temperature in the pyrolysis process caused the pH to increase [1] as shown in Figure 2. pH was correlated to volatile matter and O/C ratio that related organic function groups of material which value were different between each material composition [22]. When increasing temperature, total acidity of the functional groups increased while the amount of functional groups decreased [15]. At 300-700 °C, it was found that the pH in both types of biomass char were different at 5.82 to 10.79 and 5.39 to 10.15, respectively. At 300-400 °C, the biochar would become acidic with the pH between 5.38 to 6.14, which was suitable to be nutrients for microorganisms in the soil. At a temperature higher than 400-700 °C, the pH was shown to be alkaline, which can adversely affect microorganisms in the soil when used. It can also change the absorption of required nutrients, affecting the growth of plants.

Electrical conductivity (EC) is an important factor that indicated saltiness when used to improve soils. Increasing temperature in pyrolysis also increased the electrical conductivity, as shown in Figure 3 [19]. Both types of biochar appeared to have different electrical conductivity. The biochar produced from rice husk had higher conductivity than that from corn cob at 2.57 ds m<sup>-1</sup> to 2.62 ds m<sup>-1</sup> and 0.16 ds m<sup>-1</sup> to 0.37 ds m<sup>-1</sup>, respectively. The biochar from rice husk had higher electrical conductivity than that from corn cob by about 10 times. Therefore, rice husk (RH) was suitable for improving soils with weak alkalinity, while corn cob (CC) was suitable for improving soils with strong alkalinity.

### 3.3 SEM analysis

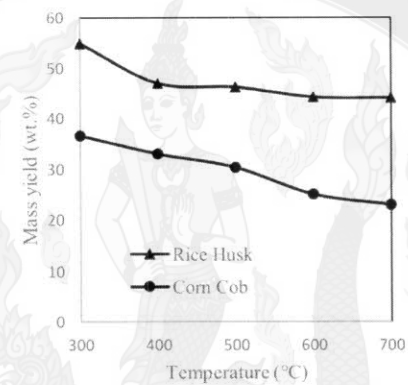
From the morphology of the biochar at 2,000x, it was found that increase in temperature also increased holes found in the biochar, as shown in Figure 4, [23]. Holes in the biochar from rice husk and corn cob were different for each temperature. At low temperatures, the holes were small, while increasing



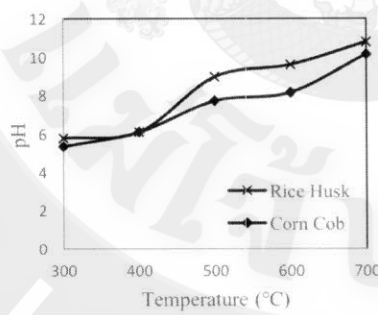
temperature appeared to increase the size of the holes with uniform dispersion [15]. Holes in the biochar would help absorbing water or other nutrients in soils.

### 3.4 Energy dispersive X-ray spectrometry

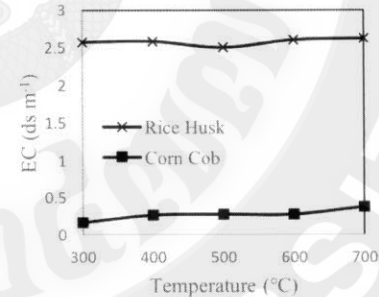
In the analysis of elements in the biochar shown in Table 2, it was found that temperature affected the changes in elements. Increasing temperature increased the amount of C, Mg, N, O, P, and K while decreased the amount of Fe and Si. When the temperature was increased, the number of elements in rice husk and corn cob were different. In corn cob, the amount of carbon was high, in the form of  $\text{CaCO}_3$  while in rice husk, the amount of silicon and oxygen were high, in the form of  $\text{SiO}_2$ , while N was only found in rice husk and Si was also high while they could not be found in corn cob.



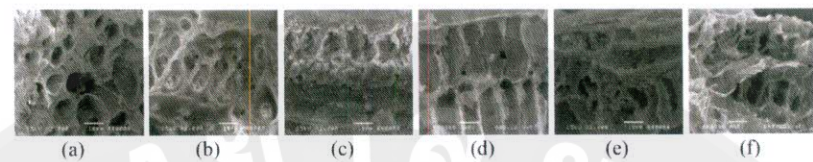
**Figure 1.** Effect of pyrolysis temperature on the biochar yield.



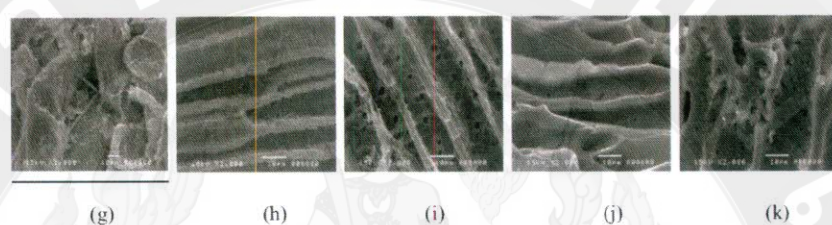
**Figure 2.** Comparison of the biochar pH



**Figure 3.** The difference of biochar feedstock



**Figure 4.** SEM image of biochar from rice husk (a) RH, (b) RH300, (c) RH400, (d) RH500, (e) RH600 and (f) RH700



**Figure 5.** SEM image of biochar from corn cob (g) CC, (h) CC400, (i) CC500, (j) CC600 and (k) CC700

**Table 2.** Elements in the biochar with EDX

Sample	Element composition (% wt)									
	C	N	O	P	K	Mg	Ca	Fe	Si	
Feedstock										
RH	18.97	12.77	55.43	-	0.09	-	0.03	0.27	12.25	
CC	55.46	-	44.54	-	-	-	-	-	-	
Biochar										
RH300	14.91	6.69	76.38	0.84	-	0.02	-	0.14	-	
RH400	11.62	10.76	64.62	0.1	0.4	-	0.2	-	11.67	
RH500	19.3	6.69	62.51	0.03	0.22	0.07	-	-	10.76	
RH600	13.62	7.22	77.99	0.31	0.38	0.31	-	-	-	
RH700	22.01	7.42	69.68	0.34	0.31	-	-	-	-	
CC400	38.37	-	13.98	0.1	44.89	-	-	-	-	
CC500	89.85	-	8.85	0.13	0.59	-	0.19	0.03	-	
CC600	80.93	-	11.31	0.15	6.45	0.02	-	-	0.27	
CC700	66.73	28.46	3.95	0.04	0.42	0.08	0.01	0.07	-	

#### 4. Conclusions

Reaction temperature appeared to affect the attributes of the biochar produced. It was found that increasing temperature during slow pyrolysis increased pH and alkalinity. The type of biomass affected the amount of EC, while SEM showed larger holes and EDX caused changes in elements differently from the amount of the produced biochar and decrement of moisture. Biochar from rice husk had higher EC than corn cob around 10 times. It was suitable for improving soils with weak alkalinity while corn cob was suitable for improving soils with strong alkalinity.

#### Acknowledgements

We would like to thank Maejo University's Graduate school Scholarship, Faculty of Engineering and Agro-Industry, This research was financially supported by the Thailand Research Fund (Contract no. RDG6250016) and Supreme Renewable Energy Co., Ltd.

#### References

- [1] Park, J., et al. 2014. Slow pyrolysis of rice straw: analysis of products properties, carbon and energy yields. *Bioresource Technology*. **155**: p. 63-70.
- [2] Lee, Y., et al. 2013. Comparison of biochar properties from biomass residues produced by slow pyrolysis at 500 C. *Bioresource technology*. **148**: p. 196-201.
- [3] Jung, K.-W., et al. 2016. Influence of pyrolysis temperature on characteristics and phosphate adsorption capability of biochar derived from waste-marine macroalgae (*Undaria pinnatifida* roots). *Bioresource technology*. **200**: p. 1024-1028.
- [4] Luo, L., et al. 2015. Properties of biomass-derived biochars: Combined effects of operating conditions and biomass types. *Bioresource Technology*. **192**: p. 83-89.
- [5] Zhang, J., J. Liu, and R. Liu. 2015. Effects of pyrolysis temperature and heating time on biochar obtained from the pyrolysis of straw and lignosulfonate. *Bioresource Technology*. **176**: p. 288-291.
- [6] Chen, D., et al. 2016. Effect of pyrolysis temperature on the chemical oxidation stability of bamboo biochar. *Bioresource technology*. **218**: p. 1303-1306.
- [7] Budai, A., et al. 2014. Surface properties and chemical composition of corncobs and miscanthus biochars: effects of production temperature and method. *Journal of agricultural and food chemistry*. **62**(17): p. 3791-3799.
- [8] Yuan, J.-H., R.-K. Xu, and H. Zhang. 2011. The forms of alkalis in the biochar produced from crop residues at different temperatures. *Bioresource technology*. **102**(3): p. 3488-3497.
- [9] Wang, Y., et al. 2013. Comparisons of biochar properties from wood material and crop residues at different temperatures and residence times. *Energy & fuels*. **27**(10): p. 5890-5899.
- [10] Liu, X., et al. 2014. Characterization of corncob-derived biochar and pyrolysis kinetics in comparison with corn stalk and sawdust. *Bioresource technology*. **170**: p. 76-82.
- [11] Bardalai, M. and D. Mahanta. 2018. Characterisation of Biochar Produced by Pyrolysis from Areca Catechu Dust. *Materials Today: Proceedings*. **5**(1): p. 2089-2097.
- [12] Sun, Y., et al. 2014. Effects of feedstock type, production method, and pyrolysis temperature on biochar and hydrochar properties. *Chemical Engineering Journal*. **240**: p. 574-578.
- [13] Jindo, K., et al. 2014. Physical and chemical characterization of biochars derived from different agricultural residues. *Biogeosciences*. **11**(23): p. 6613-6621.
- [14] Biswas, B., et al. 2017. Pyrolysis of agricultural biomass residues: Comparative study of corn cob, wheat straw, rice straw and rice husk. *Bioresource technology*. **237**: p. 57-63.
- [15] Claoston, N., et al. 2014. Effects of pyrolysis temperature on the physicochemical properties of empty fruit bunch and rice husk biochars. *Waste Management & Research*. **32**(4): p. 331-339.
- [16] Chen, D., J. Zhou, and Q. Zhang. 2014. Effects of heating rate on slow pyrolysis behavior, kinetic parameters and products properties of moso bamboo. *Bioresource Technology*. **169**: p. 313-319.
- [17] Li, J., et al. 2016. Biochar from microwave pyrolysis of biomass: A review. *Biomass and Bioenergy*. **94**: p. 228-244.
- [18] Wang, K., et al. 2013. Fast pyrolysis of microalgae remnants in a fluidized bed reactor for bio-oil and biochar production. *Bioresource technology*. **127**: p. 494-499.
- [19] Enders, A., et al. 2012. Characterization of biochars to evaluate recalcitrance and agronomic performance. *Bioresource technology*. **114**: p. 644-653.
- [20] Intani, K., et al. 2016. Effect of self-purging pyrolysis on yield of biochar from maize cobs, husks and leaves. *Bioresource technology*. **218**: p. 541-551.
- [21] Arami-Niya, A., et al. 2012. Optimization of synthesis and characterization of palm shell-based bio-char as a by-product of bio-oil production process. *BioResources*. **7**(1): p. 0246-0264.

International Conference on Sustainable Energy and Green Technology 2019  
IOP Publishing  
IOP Conf. Series: Earth and Environmental Science **463** (2020) 012005 doi:10.1088/1755-1315/463/1/012005

- [22] Budai, A., et al. 2014. Surface Properties and Chemical Composition of Corncob and Miscanthus Biochars: Effects of Production Temperature and Method. *Journal of Agricultural and Food Chemistry*. **62**(17): p. 3791-3799.
- [23] Ahiduzzaman, M. and A.S. Islam. 2016. Preparation of porous bio-char and activated carbon from rice husk by leaching ash and chemical activation. *SpringerPlus*. **5**(1): p. 1248.



MJU iThesis 6103309007 thesis / recv: 04062564 14:21:20 / seq: 11  
3337906250

## បរទេសាណក្រម

Batista, Estela MCC., et al. (2018). "Effect of surface and porosity of biochar on water holding capacity aiming indirectly at preservation of the Amazon biome." *Scientific Reports* 8(1): 1–9.

Biswas, Bijoy., et al. (2017). "Pyrolysis of agricultural biomass residues: Comparative study of corn cob, wheat straw, rice straw and rice husk." *Bioresource Technology* 237: 57–63.

Brewer, Catherine E., et al. (2014). "New approaches to measuring biochar density and porosity." *Biomass and Bioenergy* 66: 176–185.

Budai, Alice., et al. (2014). "Surface properties and chemical composition of corncob and miscanthus biochars: effects of production temperature and method." *Journal of agricultural and food chemistry* 62(17): 3791–3799.

Burrell, Leigh D., et al. (2016). "Long-term effects of biochar on soil physical properties." *Geoderma* 282: 96–102.

Chen, Dengyu., et al. (2016). "Effect of pyrolysis temperature on the chemical oxidation stability of bamboo biochar." *Bioresource Technology* 218: 1303–1306.

Chen, Dengyu., et al. (2014). "Effects of heating rate on slow pyrolysis behavior, kinetic parameters and products properties of moso bamboo." *Bioresource Technology* 169: 313–319.

Claoston, N., et al. (2014). "Effects of pyrolysis temperature on the physicochemical properties of empty fruit bunch and rice husk biochars." *Waste Management & Research* 32(4): 331–339.

Das, Oisik and Sarmah, Ajit K. (2015). "The love–hate relationship of pyrolysis biochar and water: a perspective." *Science of the Total Environment* 512: 682–685.

Domingues, Rimena R., et al. (2017). "Properties of biochar derived from wood and high-nutrient biomasses with the aim of agronomic and environmental benefits." *PloS one*

- 12(5): e0176884.
- EnergyGuru (2560). "ຄົນສມບັດທີ່ສໍາຄັງຕອບຊື່ມວລ." 2564, from <https://ienergylife.com/2015/09/properties-of-biomass-sources/>.
- Hernandez-Mena, Laidy E., et al. (2014). "Slow pyrolysis of bamboo biomass: analysis of biochar properties." *Chemical Engineering* 37.
- Holmgren, George GS., et al. (1977). "A mechanically controlled variable rate leaching device." *Soil Science Society of America Journal* 41(6): 1207-1208.
- Ippolito, James A., et al. (2020). "Feedstock choice, pyrolysis temperature and type influence biochar characteristics: a comprehensive meta-data analysis review." *Biochar*: 1-18.
- Jindo, Keiji., et al. (2014). "Physical and chemical characterization of biochars derived from different agricultural residues." *Biogeosciences* 11(23): 6613-6621.
- Jung, Kyung-Won., et al. (2016). "Influence of pyrolysis temperature on characteristics and phosphate adsorption capability of biochar derived from waste-marine macroalgae (*Undaria pinnatifida* roots)." *Bioresource Technology* 200: 1024-1028.
- Lee, Yongwoon., et al. (2013). "Comparison of biochar properties from biomass residues produced by slow pyrolysis at 500 C." *Bioresource Technology* 148: 196-201.
- Lee, Yongwoon., et al. (2013). "Characteristics of biochar produced from slow pyrolysis of Geodae-Uksae 1." *Bioresource Technology* 130: 345-350.
- Li, Jing., et al. (2016). "Biochar from microwave pyrolysis of biomass: A review." *Biomass and Bioenergy* 94: 228-244.
- Luo, Lei., et al. (2015). "Properties of biomass-derived biochars: Combined effects of operating conditions and biomass types." *Bioresource Technology* 192: 83-89.
- Manolikaki, Ioanna I., et al. (2016). "The impact of biochars prepared from agricultural residues on phosphorus release and availability in two fertile soils." *Journal of environmental management* 181: 536-543.
- Mukherjee, A., et al. (2011). "Surface chemistry variations among a series of laboratory-

3337906250

MJU iThesis 6103309007 thesis / recv: 04062564 14:21:20 / seq: 11

- produced biochars." *Geoderma* 163(3–4): 247–255.
- Munera-Echeverri, Jose L., et al. (2018). "Cation exchange capacity of biochar: An urgent method modification." *Science of the Total Environment* 642: 190–197.
- Nagel, Kurt., et al. (2019). "Physicochemical characteristics of biochars derived from corn, hardwood, miscanthus, and horse manure biomasses." *Communications in Soil Science and Plant Analysis* 50(8): 987–1002.
- Orisaleye, Jl., et al. (2018). "Parametric analysis and design of a screw extruder for slightly non-Newtonian (pseudoplastic) materials." *Engineering science and technology, an international journal* 21(2): 229–237.
- Phuong, Ho Thi., et al. (2014). "Slow pyrolysis of rice straw: analysis of products properties, carbon and energy yields." *Bioresource Technology* 155: 63–70.
- Phuong, Ho Thi., et al. (2015). "Characterization of biochar from pyrolysis of rice husk and rice straw." *Journal of Biobased Materials and Bioenergy* 9(4): 439–446.
- Plaster, Edward. (2013). *Soil science and management*, Cengage learning.
- Prakongkep, Nattaporn., et al. (2013). "The effects of pyrolysis conditions on the chemical and physical properties of rice husk biochar." *Int. J. Mater. Sci* 3(3): 97–103.
- Sahoo, Diptiprakash and Remya, Neelancherry. (2020). "Influence of operating parameters on the microwave pyrolysis of rice husk: biochar yield, energy yield, and property of biochar." *Biomass Conversion and Biorefinery*: 1–10.
- Shariff, Adilah., et al. (2016). "Corn cob as a potential feedstock for slow pyrolysis of biomass." *Journal of Physical Science* 27(2): 123.
- Siamchemi (2561). "ໄທ່ມ່ອງແຮ້າຕຸລະຫະນັກ." 2564, from <https://www.siamchemi.com>.
- Singh, Balwant., et al. (2017). *Biochar: a guide to analytical methods*, Csiro Publishing.
- Sun, Yining., et al. (2014). "Effects of feedstock type, production method, and pyrolysis temperature on biochar and hydrochar properties." *Chemical Engineering Journal*

240: 574–578.

SVGroup (2019). "แรคตุอาหาร." 2564, from <https://www.svgroup.co.th/blog/>.

Tomczyk, Agnieszka., et al. (2020). "Biochar physicochemical properties: pyrolysis temperature and feedstock kind effects." *Reviews in Environmental Science and Bio/Technology*: 1–25.

Central Lab Science TU. (2558, 10 เมษายน 2563). "หลักการวิเคราะห์ BET." Retrieved มีนาคม, 2563, from <https://sites.google.com/site/csicscitu/instrument/kheruxngwikheraahkhunlaksnaphunthiphisurfaceareaanalyzer>.

Uddin, Md., et al. (2012). "Design and construction of fixed bed pyrolysis system and plum seed pyrolysis for bio-oil production." *International Journal of Advanced Renewable Energy Research* 1(7): 405–409.

Varela Milla, O., et al. (2013). "Agronomic properties and characterization of rice husk and wood biochars and their effect on the growth of water spinach in a field test." *Journal of soil science and plant nutrition* 13(2): 251–266.

Wang, Kaige., et al. (2013). "Fast pyrolysis of microalgae remnants in a fluidized bed reactor for bio-oil and biochar production." *Bioresource Technology* 127: 494–499.

Wang, MJ., et al. (2012). "Microwave-induced torrefaction of rice husk and sugarcane residues." *Energy* 37(1): 177–184.

Wang, Yu., et al. (2013). "Comparisons of biochar properties from wood material and crop residues at different temperatures and residence times." *Energy & fuels* 27(10): 5890–5899.

Weber, Kathrin and Quicker, Peter. (2018). "Properties of biochar." *Fuel* 217: 240–261.

Wu, Weixiang., et al. (2012). "Chemical characterization of rice straw-derived biochar for soil amendment." *Biomass and Bioenergy* 47: 268–276.

Yuan, Jin-Hua., et al. (2011). "The forms of alkalis in the biochar produced from crop residues

at different temperatures." *Bioresource Technology* 102(3): 3488–3497.

Zhang, Jie., et al. (2015). "Effects of pyrolysis temperature and heating time on biochar obtained from the pyrolysis of straw and lignosulfonate." *Bioresource Technology* 176: 288–291.

กรมพัฒนาพาลังงานทดแทนและอนุรักษ์พลังงานกระทรวงพลังงาน (2554). "พลังงานชีวมวล." 2562, from <http://webkc.dedu.go.th/testmax/sites/default/files/>.

กองวิจัย (มปพ). "<20190801155209\_1\_file.pdf>."

ปรารภนา แก้วเพชร. (2560). การเตรียมสารดูดซึบจากการแยกสลายกาบใบชาด้วยความร้อน. สาขาวิชามีอุตสาหกรรม คณะวิทยาศาสตร์, มหาวิทยาลัยเชียงใหม่. วิทยาศาสตร์ มหาบัณฑิต

จิระพงษ์ คุหากัญจน์. (2552). การผลิตถ่านและน้ำมันสมุนไพร (Charcoal & Wood Vinegar). บริษัทออฟเช็ท ครีเอชั่นจำกัด กรุงเทพฯ. 2562.

อรดา เจ้าจง. (2560). "ทรัพยากรดิน." Retrieved 14 มกราคม, 2562, from <https://sites.google.com/site/arada591110115/home/thraphyakr-din>.

สุนทรีย์ ยิ่งชัวลาลย์. (2553). "ค่าการนำไฟฟ้าของสารละลายน้ำ."

กันยา พรไซยวงศ์ และ สิทธิบูรณ์ ศิริพรอัครชัย (2558). "การ วิเคราะห์ พารามิเตอร์ การ ผลิตถ่าน ชีวภาพ จาก ชั้ง ข้าวโพด ด้วย กระบวนการ ไฟ โอล ซิ ส แบบ ชา."

วิกิพีเดีย สารานุกรมเสรี. (2564). "สารอาหารสำหรับพืช." from <https://th.wikipedia.org/wiki/>.

ศิริลักษณ์ ศิริสิงห์ และ รศ.ดร.พิทยา บรรพัฒนา. (2015). "การ ประยุกต์ ถ่าน ชีวภาพ ใน การ ปรับปรุง ดิน เพื่อ การเกษตร." วารสาร สังคมศาสตร์ และ มนุษยศาสตร์ (Journal of Social Sciences and Humanities) 4(2): 212.

อรสา สุกสว่าง. (2554). ""ยุทธศาสตร์ทำหนึ่งได้สาม: ใบโอchar เพื่อเพิ่มความสมมูลน้ำให้ดิน ลดโลกร้อนและลดความยากจน."" 2563, from

<http://www3.rdi.ku.ac.th/exhibition/54/GroupSocial/18-Orasa-su/18-Orasa-su.html>.

จิราพร หอมพยอม. (2554). ดีออกซิเจนของใบโอดอกอยล์ที่ได้จากไฟโรไลซิสของกระถินยักษ์ Leucaena leucocephala โดยใช้แพลเม็นทรองรับบนตะลูมินา. ภาควิชาเคมีเทคนิค.

ดร.อมรชัย อาจารณ์วิชานพ และ กุลนันทน์ วีรอนวงศ์กร. (2558). "ไฟโรไเลซิส (Pyrolysis)." 2562,

from [http://www.tpa.or.th/publisher/pdfFileDownloadS/tn241\\_p61-64.pdf](http://www.tpa.or.th/publisher/pdfFileDownloadS/tn241_p61-64.pdf).





## ประวัติผู้จัย

ชื่อ-สกุล

วรรัญญา สมการ

เกิดเมื่อ

5 กันยายน 2539

ประวัติการศึกษา

พ.ศ. 2560 ระดับปริญญาตรี สาขาวิชากรรมเกษตร มหาวิทยาลัยแม่โจ้  
เชียงใหม่

พ.ศ. 2556 ระดับมัธยมศึกษาปัลัย โรงเรียนวัดโนนทัยพายัพ เชียงใหม่

พ.ศ. 2553 ระดับมัธยมศึกษาต้น โรงเรียนวัดโนนทัยพายัพ เชียงใหม่

ประวัติการทำงาน

-

